



# 인공지능

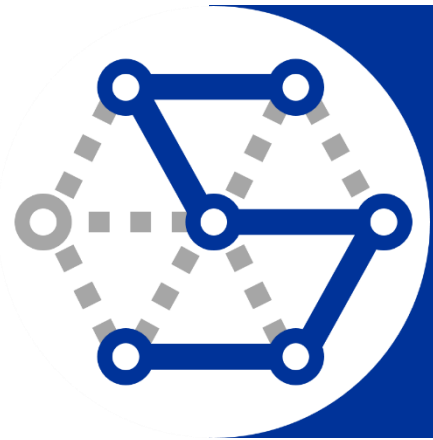
## Artificial Intelligence

# 09

# 컴퓨터 비전

suanlab

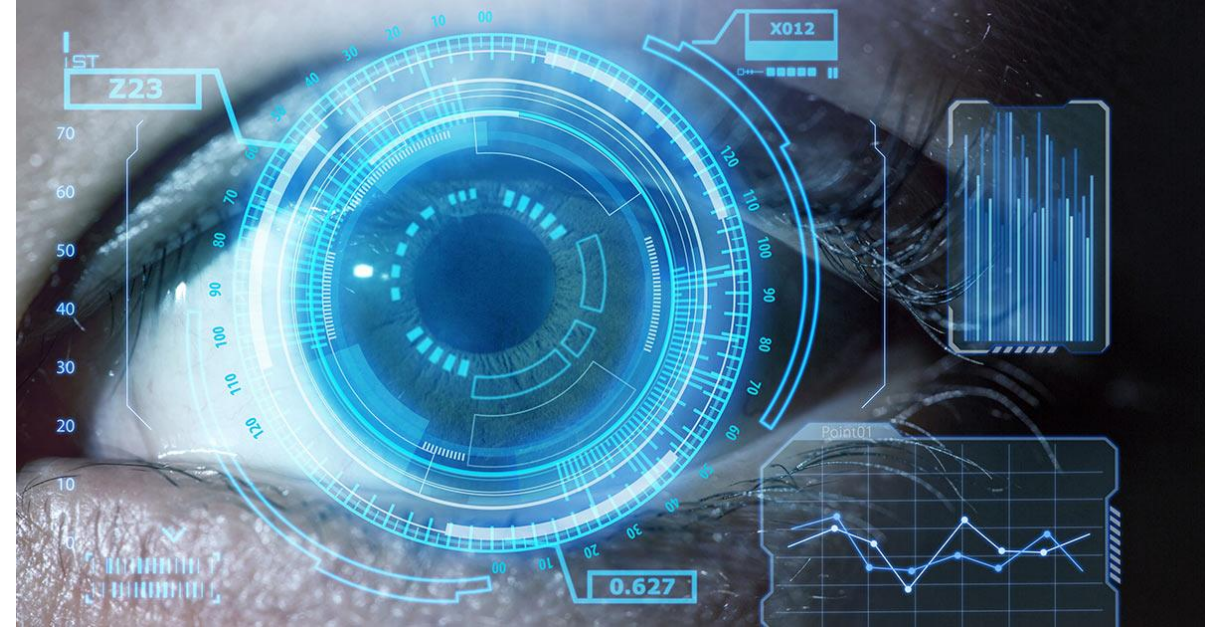
Suan Computer Laboratory



# 1 컴퓨터 비전 문제와 대상

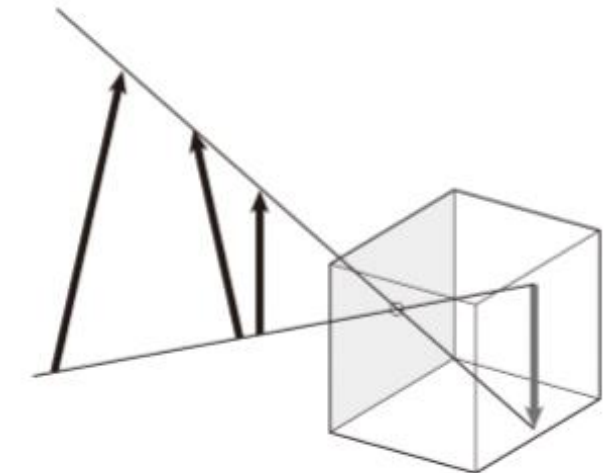
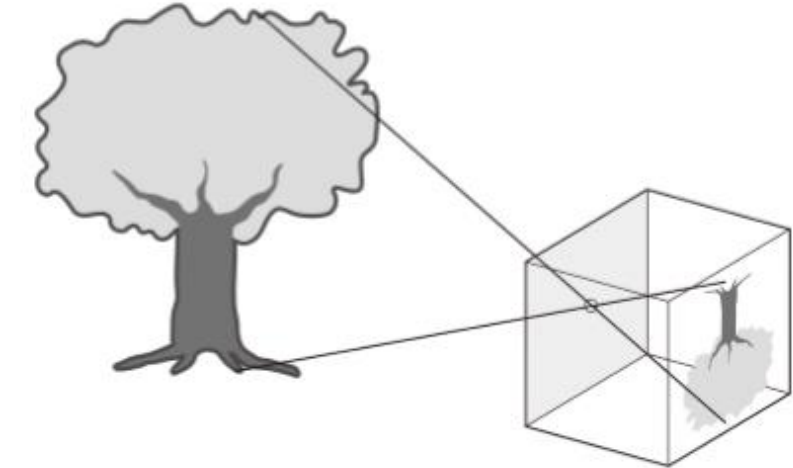
# 컴퓨터 비전(Computer Vision)

- 2차원 영상으로부터 3차원 장면을 재구성하여, 해석하고, 이해하는 것을 연구하는 분야
- 궁극적인 목적
  - 컴퓨터 소프트웨어와 하드웨어를 사용하여 인간의 시각을 모델링하여 복제해 내는 것
- 인간 시각에 비하면 아직 전체적으로 초보적인 수준
  - 얼굴인식, 물체 감지 등의 특정 문제에서는 인간 이상의 성능 달성



# 컴퓨터 비전의 본질적 어려움

- 역문제(inverse problem): 2차원 영상에서 3차원 정보 재구성 필요
- 불량 문제(ill-posed problem): 대부분의 컴퓨터 비전 문제는 답이 유일하지 않음
- 영상 생성과정에 기하학적 변환(회전, 크기 변경, 투영 등), 광도 변환(조명, 그림자 등), 광학적 잡음 발생



# 컴퓨터 비전 적용 사례

- 손글씨로 쓴 우편번호 인식 및 자동차 번호판 **인식**
- 품질 보증을 위한 **기계 검사**
- 사진을 보고 **3차원 모델**을 만드는 **기술**
- 항공 사진을 이용한 **3차원 모델**의 자동 **생성**
- 의료 **영상 판독**
- 보행자 보호 및 안전 운전을 위한 자동차 **안전 보조 장치**
- 모션 캡처
- 경계 및 감시
- 지문 등 생체 **신호분석**
- 여러 사진을 자연스럽게 이어 붙이는 **파노라마 사진 제작**
- 여러 영상을 합성하는 방법
- **3차원 모델링**
- 형태를 점진적으로 바꿔가는 **모핑** (morphing)
- 얼굴 **인식**
- 시각적 **인증**
- ...

# 컴퓨터 비전 관련 분야

---

영상처리

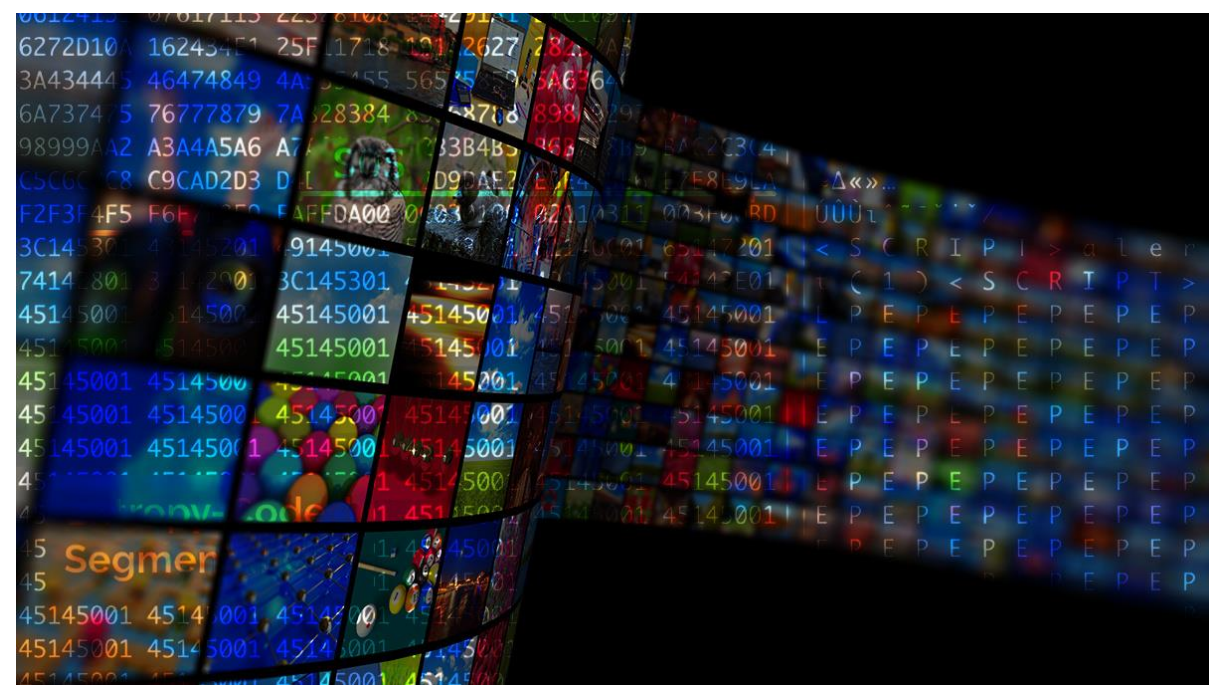
패턴인식

기계학습

컴퓨터  
그래픽스

# 영상처리(image processing)

- 입력 받은 영상을 사용 목적에 맞게 적절하게 처리하여 보다 **개선된 영상을 생성**하는 것
- 입력 영상에 있는 **잡음(noise) 제거**, 영상의 **대비(contrast) 개선**, **관심영역(region of interest) 강조**, **영역 분할(segmentation)**, **압축 및 저장** 등
- 영상처리와 컴퓨터 비전은 많은 부분 중첩
- **영상처리는 주로 전처리 등 저수준 처리**에 활용, **컴퓨터 비전은 고수준 처리**



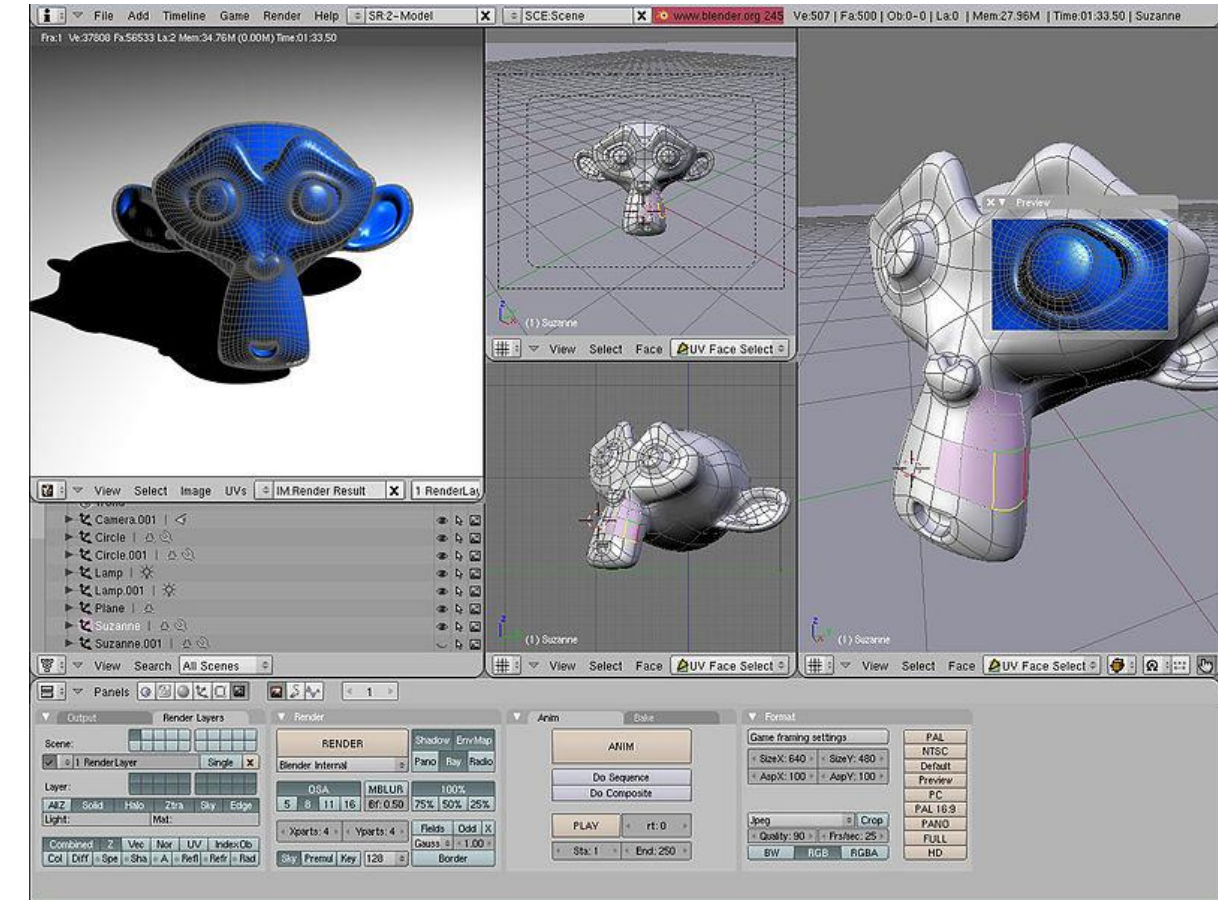
# 패턴인식(pattern recognition)

- 다양한 데이터에 대해서 **패턴을 추출**하고 이를 이용하여 입력 데이터를 **특정 부류** (class)로 **분류**하는 방법
- 영상, 비즈니스 데이터, 음성 신호, 과학실험 데이터 등 다양한 데이터에 관심
- 다양한 **기계학습 기술** 활용
- 컴퓨터 비전에서 **개체 식별**, **범주 인식** 등 인식에 관련된 부분에 사용

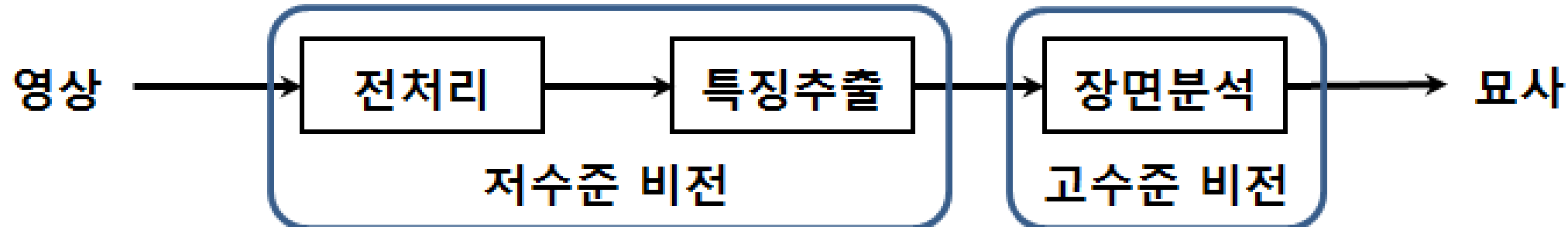


# 컴퓨터 그래픽스(computer graphics)

- 데이터 형태로 3차원 모델을 만들고 3차원 모델을 사용하여 2차원 영상생성
- 영상으로부터 3차원 모델을 생성하고, 이를 바탕으로 컴퓨터 그래픽스 기술을 이용하여 원래 영상에 대응하는 영상을 만들어 합성하는 기술



# 컴퓨터 비전의 처리 단계

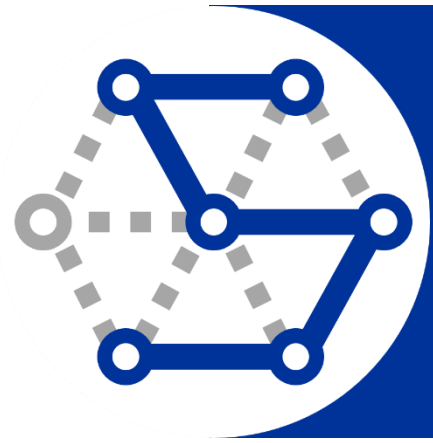


## ■ 전처리 단계

- 주로 영상처리 기술 사용
- 다양한 **특징 추출**
  - 에지(edge), 선분, 영역, SIFT(Scale-Invariant Feature Transform) 등

## ■ 고수준 처리

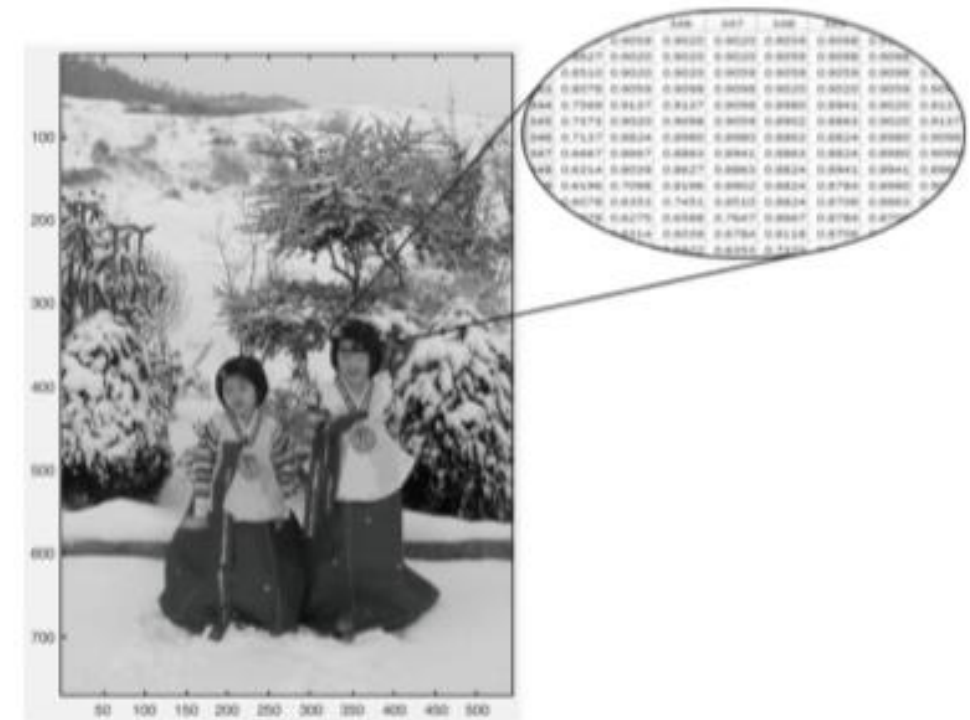
- 특징정보를 사용하여 영상을 **해석, 분류, 상황묘사** 등 정보 생성



## 2 영상 표현 및 처리

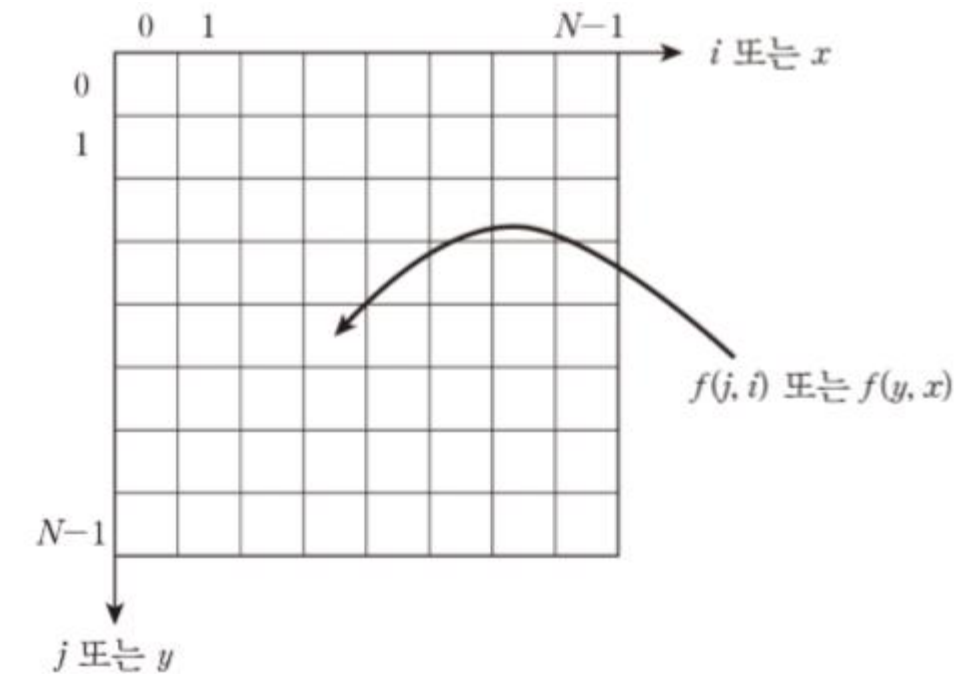
# 화소(pixel, 畵素)

- 디지털 영상을 표현하는 2차원 배열에서 각 원소
- 해당 위치에서 빛의 세기에 대응하는 값
  - 0은 검은색을 나타내고, 화소값이 커질수록 밝은 색
- 칼러 영상
  - **R**(red), **G**(green), **B**(blue) 세 가지 색상에 대한 정보 화소 정보 표현
  - 2차원 행렬 3개로 표현



# 영상의 좌표계

- 첨자(index)
  - 원점 (0,) : 좌측상단 끝
  - $(j, i)$  : 행번호는  $y$ 축 첨자, 열번호는  $x$ 축의 첨자 사용
  - 첨자는 대개 0부터 시작
- 영상의 해상도(resolution)
  - 행렬의 크기



# 영상 표현 방법

---

- 이진 영상(binary image)
  - 화소값이 0 또는 1
- 그레이 영상(grey image, 명암영상)
  - 일정 범위의 화소값
- 컬러 영상(color image)
  - 각 컬러 채널별로 그레이 영상과 같이 일정 범위의 값
- 압축 저장
  - 데이터량이 크기 때문에 일반적으로 압축해서 저장
  - 압축을 해제한 상태에서 화소의 값을 접근하여 영상처리 작업
  - 다양한 표준으로 jpeg, mpeg 등이 존재

# 영상처리(image processing)

---

- 영상을 입력으로 받아 영상의 화소값을 변환하는 작업을 수행하여 새로운 영상 출력
- **점 연산**(point operation)
  - 현재 화소값을 기준으로 출력 영상에 해당 위치의 화소값 결정
  - **이진화**, 히스토그램 **평활화**, 여러 영상의 **평균**, 영상 간의 **차연산**, **디졸브** 연산 등
- **영역 연산**(area operation)
  - 주변 화소의 값을 참고하여 화소의 값 변경
  - **컨볼루션**(convolution, **회선**)을 이용한 연산
- **기하 연산**(geometric operation)
  - 기하학적 규칙에 따라 멀리 떨어진 화소의 값을 참고하여 값 변경
  - 영상의 **회전**, **이동**, **확대** 등 **어파인 변환**(affine transformation)

# 이진화(binarization)

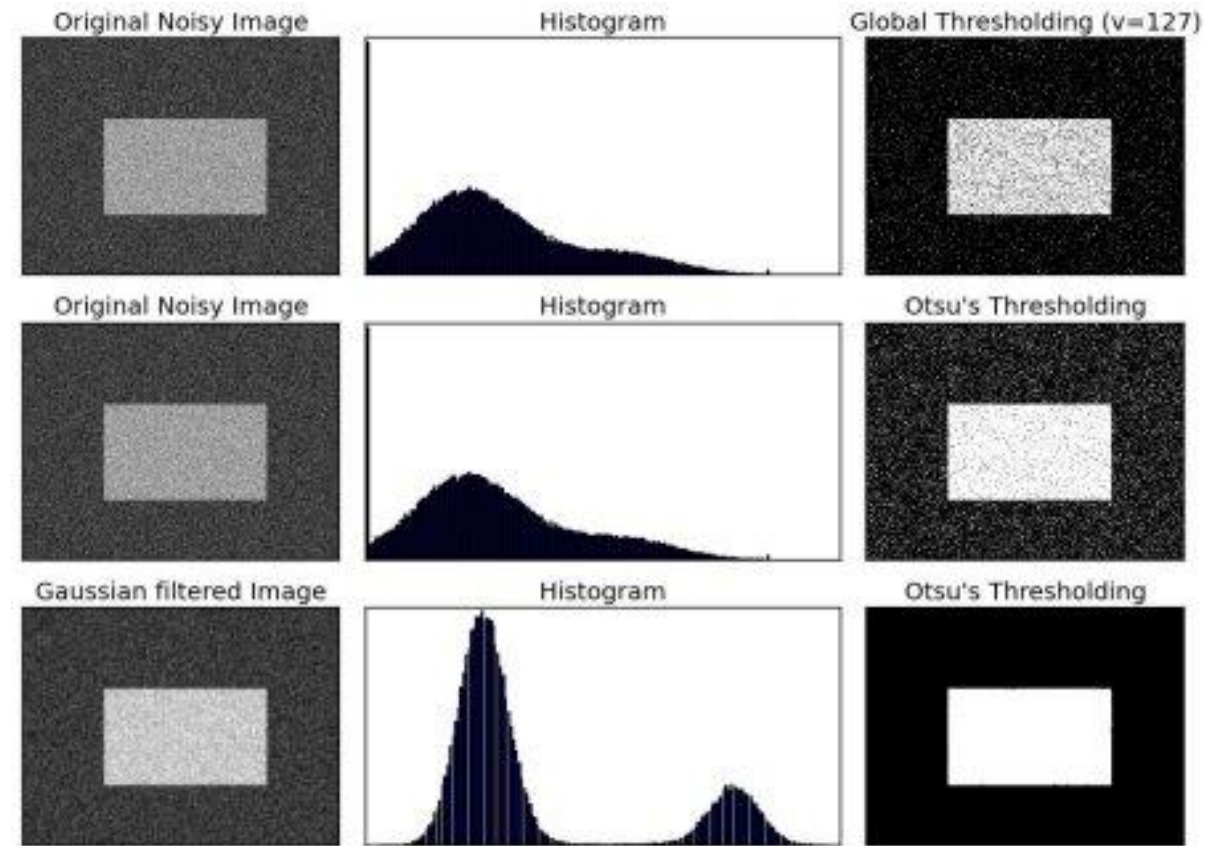
- 그레이 영상을 이진 영상으로 바꾸는 것
- 적합한 임계값을 정하는 것이 핵심

$$f_o(j,i) = \begin{cases} 1 & \text{if } f(j,i) \geq \theta \\ 0 & \text{if } f(j,i) < \theta \end{cases} \quad \begin{array}{l} f_o(j,i) : \text{변환후의 화소값} \\ f(j,i) : \text{원본 영상의 화소값} \end{array}$$



# 오츄의 알고리즘(Otsu's algorithm)

- 임계값을 효과적으로 결정하는 방법
- 임계값보다 큰 화소값들의 집단과 임계값보다 작은 화소값들의 집단에 대해서, 두 집단의 분산이 최소가 되도록 하는 임계값 탐색



# 히스토그램 평활화(histogram equalization)

- 영상의 히스토그램이 전체 영역에 균등하게 분포하도록 변환하여 영상의 대비가 커지도록 해 영상을 선명하게 하는 것

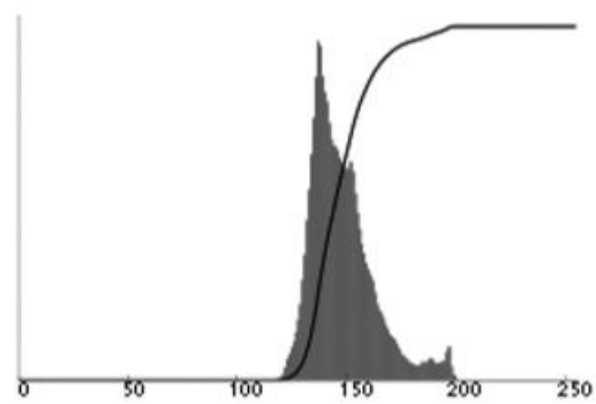


(a)

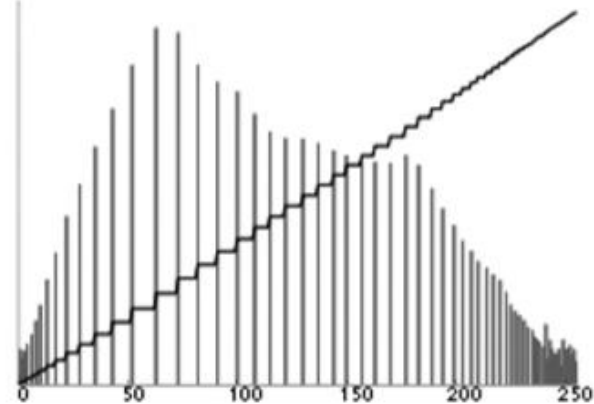


(b)

명암값  $i$ 까지 누적 빈도값  
 $acc[i] = \sum_{j=0}^i hist[j] \quad i = 0, \dots, L-1$



(c)



(d)

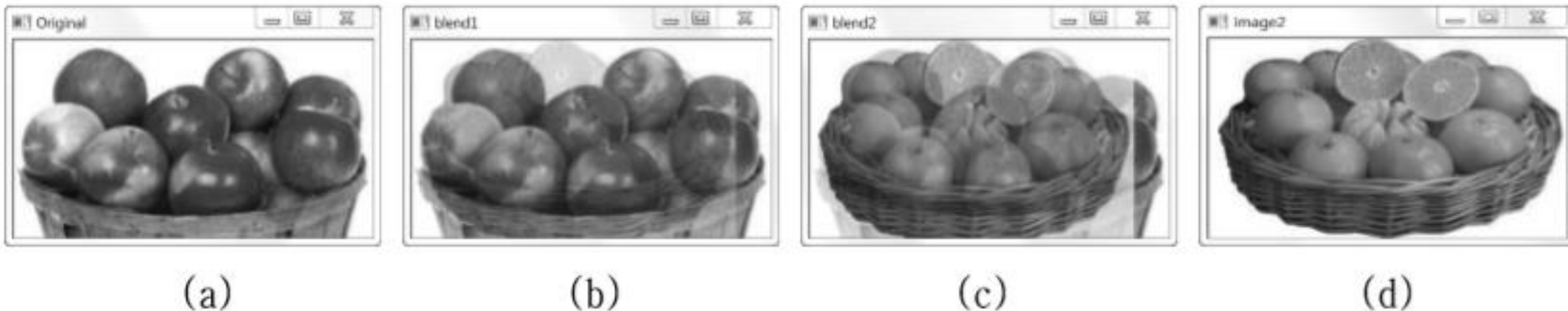
$$n[i] = acc[i]/N \times (L-1)$$

# 장면 디졸브(scene dissolve)

- 두 개의 장면을 합성하는 연산

$$f_o(j,i) = \alpha f_1(j,i) + (1 - \alpha) f_2(j,i)$$

- $\alpha$  : 앞 장면이 반영되는 비율인데, 1에서 시작하여 0으로 변화



# 컨볼루션(convolution, 회선)

$$f_o[i] = u[0] \cdot f[i] + u[1] \cdot f[i-1] + \dots + u[k-1] \cdot f[i-k+1]$$

$$= \sum_{j=0}^{k-1} u[j] \cdot f[i-j]$$

	$f[0]$	$f[1]$	$f[2]$	$f[3]$
$f$	1	4	2	5
$u$	3	4	1	

$$f_o = f^* u$$

$f_o = f^* u$   
입력      윈도우

(1)	<table border="1"><tr><td>1</td><td>4</td><td>3</td></tr><tr><td>1</td><td>4</td><td>2</td><td>5</td></tr></table>	1	4	3	1	4	2	5	$f_o[0] = u[0] \cdot f[0] = 3 \cdot 1 = 3$
1	4	3							
1	4	2	5						
(2)	<table border="1"><tr><td>1</td><td>4</td><td>3</td></tr><tr><td>1</td><td>4</td><td>2</td><td>5</td></tr></table>	1	4	3	1	4	2	5	$f_o[1] = u[0] \cdot f[1] + u[1] \cdot f[0] = 3 \cdot 4 + 4 \cdot 1 = 16$
1	4	3							
1	4	2	5						
(3)	<table border="1"><tr><td>1</td><td>4</td><td>3</td></tr><tr><td>1</td><td>4</td><td>2</td><td>5</td></tr></table>	1	4	3	1	4	2	5	$f_o[2] = u[0] \cdot f[2] + u[1] \cdot f[1] + u[2] \cdot f[0] = 3 \cdot 2 + 4 \cdot 4 + 1 \cdot 1 = 23$
1	4	3							
1	4	2	5						
(4)	<table border="1"><tr><td>1</td><td>4</td><td>3</td></tr><tr><td>1</td><td>4</td><td>2</td><td>5</td></tr></table>	1	4	3	1	4	2	5	$f_o[3] = 3 \cdot 5 + 4 \cdot 2 + 1 \cdot 4 = 27$
1	4	3							
1	4	2	5						
(5)	<table border="1"><tr><td>1</td><td>4</td><td>3</td></tr><tr><td>1</td><td>4</td><td>2</td><td>5</td></tr></table>	1	4	3	1	4	2	5	$f_o[4] = 4 \cdot 5 + 1 \cdot 2 = 22$
1	4	3							
1	4	2	5						
(6)	<table border="1"><tr><td>1</td><td>4</td><td>3</td></tr><tr><td>1</td><td>4</td><td>2</td><td>5</td></tr></table>	1	4	3	1	4	2	5	$f_o[5] = 1 \cdot 5 = 5$
1	4	3							
1	4	2	5						

$f_o$	3	16	23	27	22	5
-------	---	----	----	----	----	---

# 2차원 영상에 대한 컨볼루션 연산

- 윈도우: 마스크(mask), 커널(kernel), 필터(filter), 템플릿(template)

$$f_o(j, i) = \sum_{y=-\frac{(k-1)}{2}}^{\frac{(k-1)}{2}} \sum_{x=-\frac{(k-1)}{2}}^{\frac{(k-1)}{2}} u(y, x) f(j - y, i - x)$$

*u*

1	-1	-1
1	2	-1
1	1	1

180°  
회전

1	1	1
-1	2	1
-1	-1	1

적용

1	1	1		
-1	2	1	2	3
-1	-1	1	1	3
			3	2
2	1	4	5	
1	2	3	1	

*f*

$$f_o = f * u$$

2	?	?	?
?	?	?	?
?	?	?	?
?	?	?	?

# 에지(edge)

- 영상의 명암, 색상, 또는 텍스쳐가 급격하게 변하는 위치로서 경계선이 나타나는 부분



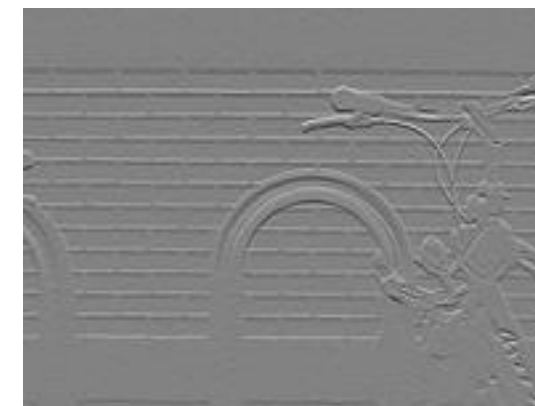
# Sobel 연산자



$$f_1(j, i)$$



$$f_2(j, i)$$



-1	0	1
-2	0	2
-1	0	1

$$m_x$$

-1	-2	-1
0	0	0
1	2	1

$$m_y$$

$$\sqrt{f_1^2(j, i) + f_2^2(j, i)}$$

# Prewitt 연산자(Prewitt operator)



-1	0	1
-1	0	1
-1	0	1

 $m_x$ 

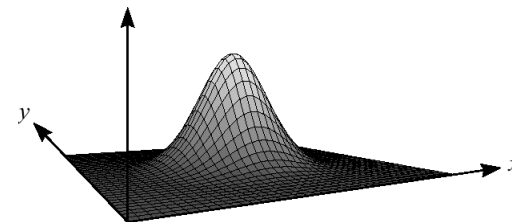
-1	-1	-1
0	0	0
1	1	1

 $m_y$ 

# 가우시안 필터(Gaussian filter)

- 영상에 있는 잡음(noise) 제거
- 가우시안 함수(Gaussian function)

$$G(y, x, \sigma) = \frac{1}{2\pi\sigma^2} e^{\frac{-x^2 + y^2}{2\sigma^2}}$$



$\frac{1}{273}$

1	4	7	4	1
4	16	26	16	4
7	26	41	26	7
4	16	26	16	4
1	4	7	4	1



3×3필터

5×5필터

7×7필터

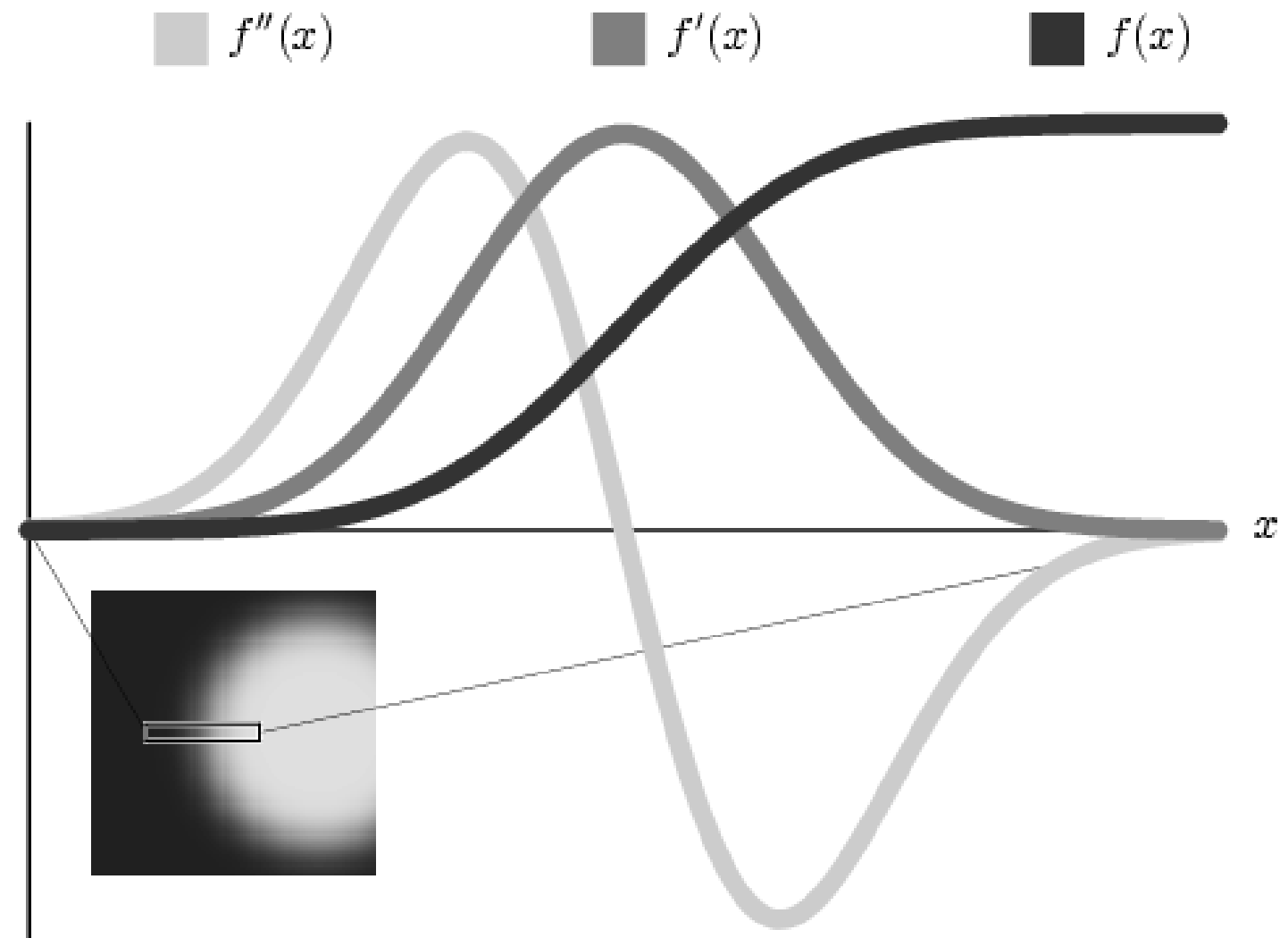
# Canny 연산자(Canny operator)

- 가장 널리 사용되는 에지 검출 방법
- 과정
  1. 영상에 주어진 크기의 **가우시안 필터**를 적용
  2. **Sobel 연산자**를 적용하여, **에지의 강도와 방향**을 구함
  3. 자신의 **이웃보다 작은 강도**를 갖는 **화소들을 제거**
  4. 남은 화소들 중에서 **임계값 이상**의 값을 갖는 **화소**에서 시작하여 연결된 **이웃들을** 찾아 **연결**하여 **에지**를 구성



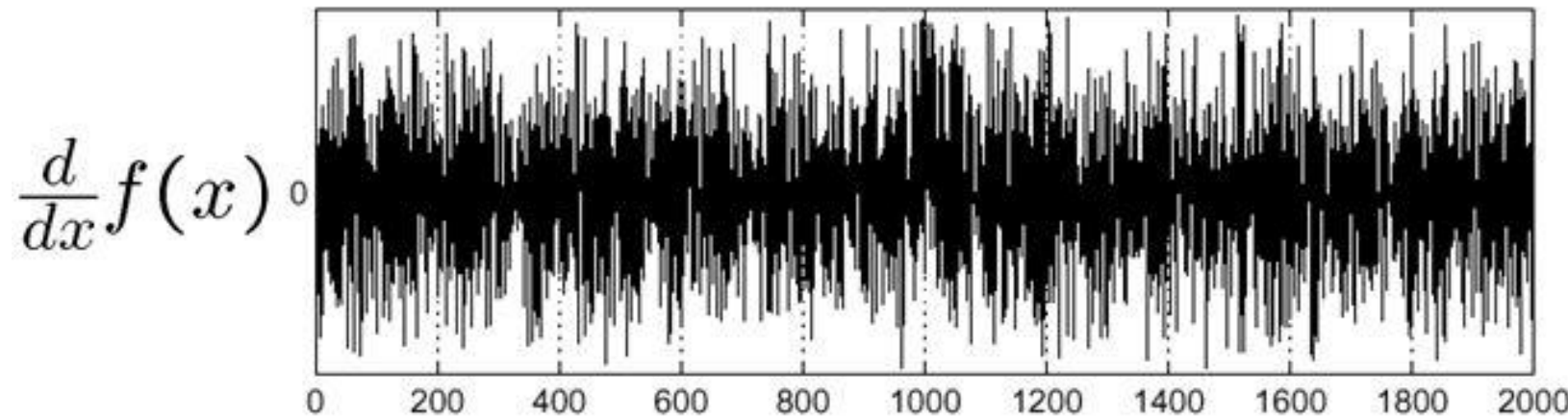
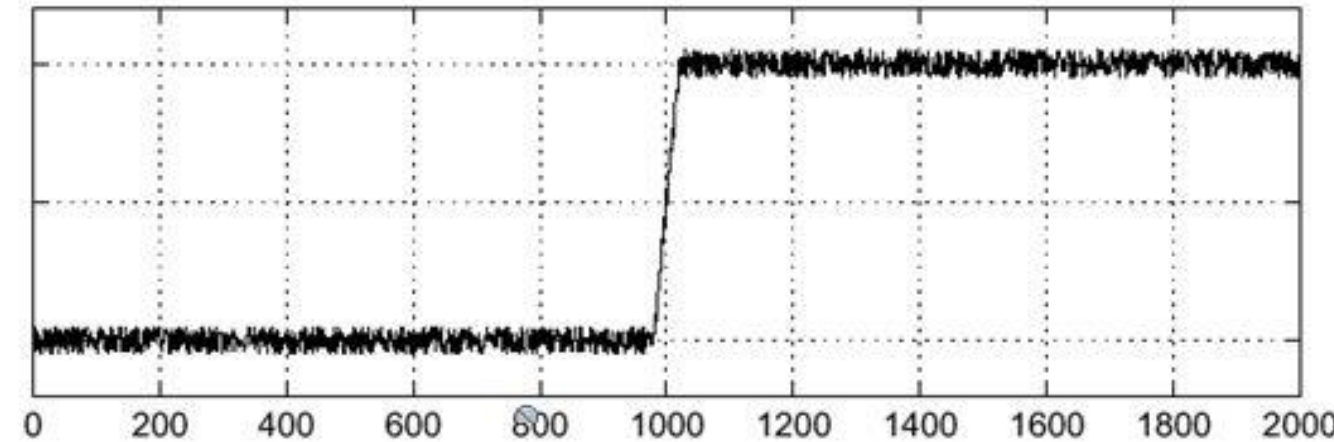
# LOG 필터

- 영상의 1차 미분과 2차 미분
  - 에지(edge, 경계선)의 위치



# LOG 필터

## ■ 오차 신호에 대한 미분



# LOG(Laplacian of Gaussian) 필터

- 영상에 **가우시안 필터**를 적용한 다음, **라플라시안 연산자**(Laplacian operator)를 적용하는 것
- 함수  $f(y, x)$ 의 라플라시안  $\nabla^2 f$** 
  - 함수  $f(y, x)$ 에 대한  $x$ 와  $y$ 에 대한 2차 편도함수의 합

$$\nabla^2 f(y, x) = \frac{\partial^2 f}{\partial y^2} + \frac{\partial^2 f}{\partial x^2}$$

- 라플라시안 필터(Laplacian Filter)**

$$\begin{aligned}\nabla^2 f(y, x) &= \frac{\partial^2 f}{\partial y^2} + \frac{\partial^2 f}{\partial x^2} \\&= f(y+1, x) + f(y-1, x) - 2f(y, x) + f(y, x+1) + f(y, x-1) - 2f(y, x) \\&= f(y+1, x) + f(y-1, x) + f(y, x+1) + f(y, x-1) - 4f(y, x)\end{aligned}$$

0	1	0
1	-4	1
0	1	0

# LOG(Laplacian of Gaussian) 필터

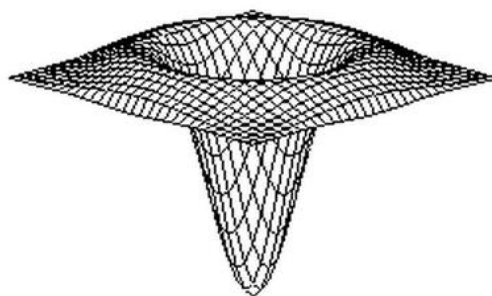
- 영상  $f(y, x)$ 에 가우시안 필터  $G(y, x)$ 와 라플라스 필터  $L(y, x)$ 를 적용

$$LOG(y, x) = L(y, x) * (G(y, x) * f(y, x))$$

- 2번의 컨볼루션 연산에 따른 시간 비용
- 컨볼루션은 결합법칙 성립

$$LOG(y, x) = (L(y, x) * G(y, x)) * f(y, x)$$

- 가우시안 함수에 대한 라플라시안  $\nabla^2 G(y, x) = L(y, x) * G(y, x)$



멕시코 모자 함수  
(Mexican hat function)

$$\nabla^2 G(y, x) = \left( \frac{y^2 + x^2 - 2\sigma^2}{\sigma^2} \right) G(y, x)$$

0.4038	0.8021	0.4038
0.8021	-4.8233	0.8021
0.4038	0.8021	0.4038

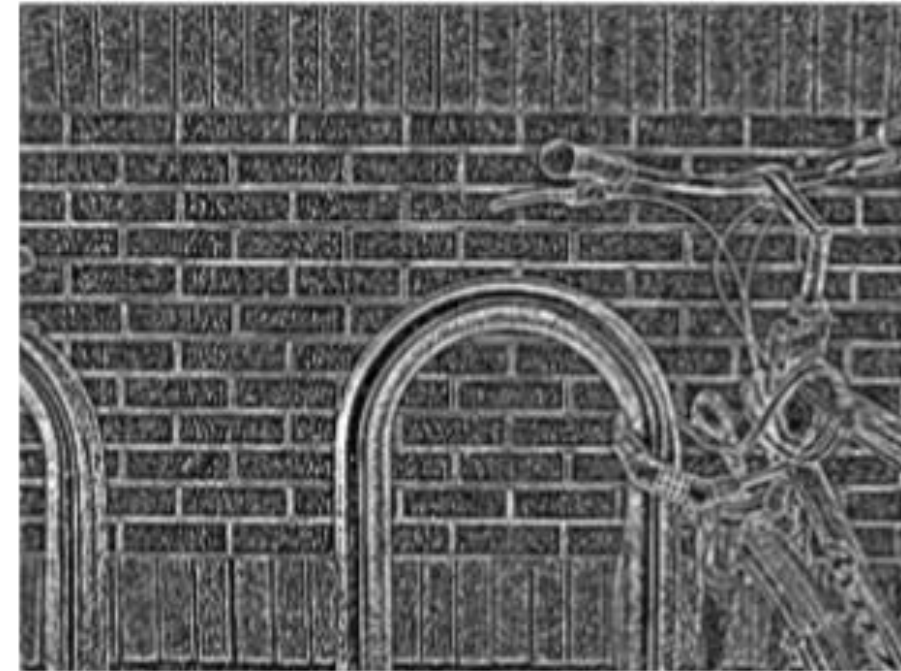
3×3필터

0.0239	0.0460	0.0499	0.0460	0.0239
0.0460	0.0061	-0.0923	0.0061	0.0460
0.0499	-0.0923	-0.3182	-0.0923	0.0499
0.0460	0.0061	-0.0923	0.0061	0.0460
0.0239	0.0460	0.0499	0.0460	0.0239

5×5필터

# LOG 필터 적용 결과

- 에지에 해당되는 부분에서 **영교차**(zero crossing, 양수에서 음수, 또는 음수에서 양수로 변화) 발생
- LOG 필터 적용 결과에 대해서 영교차 위치를 찾으면 **에지 검출**



# DOG(Difference of Gaussian) 연산

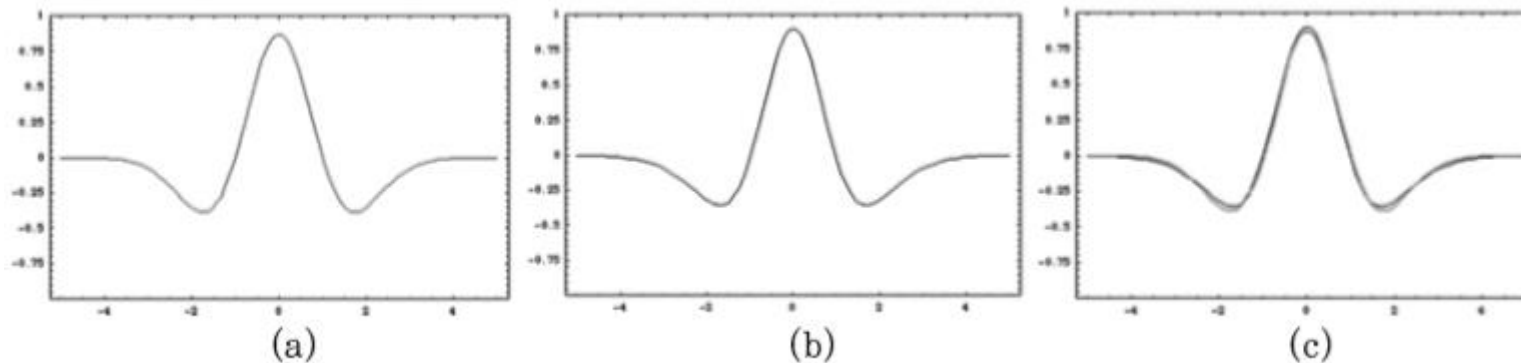
- 서로 다른  $\sigma$ 값을 갖는 가우시안 필터를 적용한 두 영상의 차이를 구하는 것

$$DOG(\sigma) = G(k\sigma)^*f - G(\sigma)^*f = (G(k\sigma) - G(\sigma))^*f$$

- LOG과 DOG의 관계

$$G(k\sigma) - G(\sigma) \approx (k-1)\sigma^2 \nabla^2 G$$

- LOG대신에 DOG 사용 가능



# DOG(Difference of Gaussian) 연산

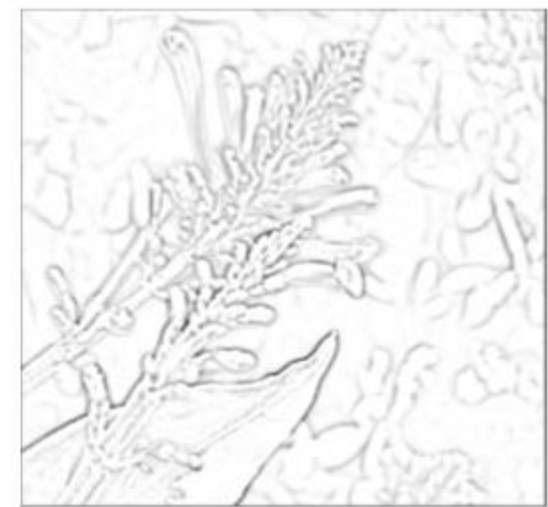
## ■ 영교차를 사용하는 에지 검출

$$G(k\sigma) - G(\sigma) \approx (k-1)\sigma^2 \nabla^2 G$$

- $(k-1)\sigma^2$  항은 무시하고  $G(k\sigma) - G(\sigma)$ 에서 영교차 탐색

## ■ 일정 주파수 범위의 특징 추출

- 가우시안 필터는 신호에서 고주파 성분을 제거하는 효과
- 서로 다른  $\sigma$  값의 가우시안 필터를 적용한 영상의 차 (difference)
- **블롭**(blob, 주변과 구별되는 밝기, 색상과 같은 성질을 갖는 영역) 검출에 사용



# 영상 분할(image segmentation)

- 영상을 겹치지 않으면서 전체 영상을 덮는 영역들을 찾아내는데, 각 영역이 유사한 특징을 갖도록 하는 것
- 물체 추적, 영상 검색, 동작 인식, 얼굴 인식 등의 전처리에 필요



# 영상 분할 방법

## ■ 분할후 합병(split-and-merge) 방법

- 영상을 4등분하는 일을 분할된 조작이 비슷해질 때까지 계속하다가 더 이상 분할이 되지 않으면 유사한 인접 조건을 결합

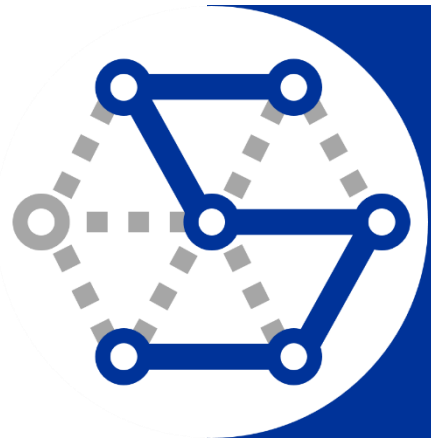
## ■ k-means 알고리즘을 적용하는 군집화 방법

## ■ 민쉬프트(mean-shift) 군집화 알고리즘

## ■ 그래프 절단(graph-cut) 문제로 푸는 그래프 기반 알고리즘

- 영상의 화소를 노드로 간주하고, 이웃의 유사한 것들 사이에는 연결선을 부여하여, 영상을 그래프로 표현한 다음에, 그래프 절단 문제로 해결

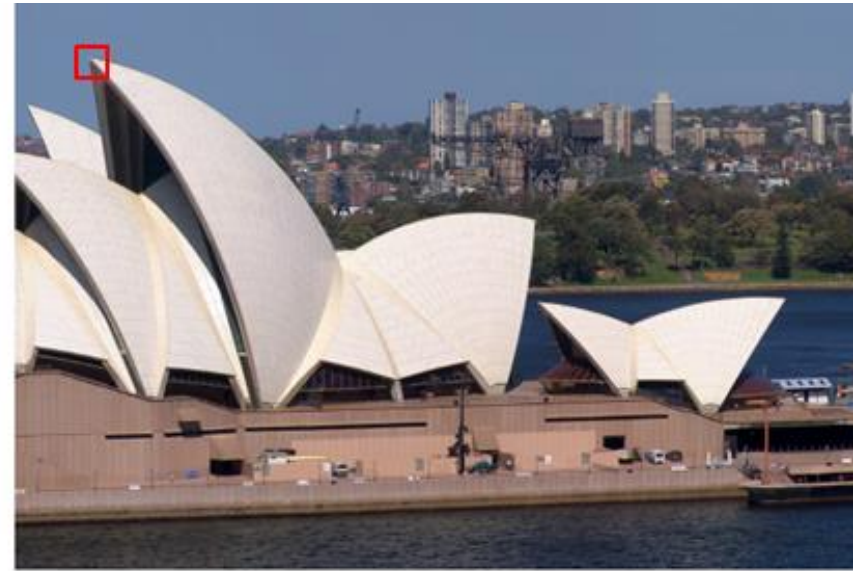




## 3 특징 추출

# 대응점(correspondence point) 찾기 문제

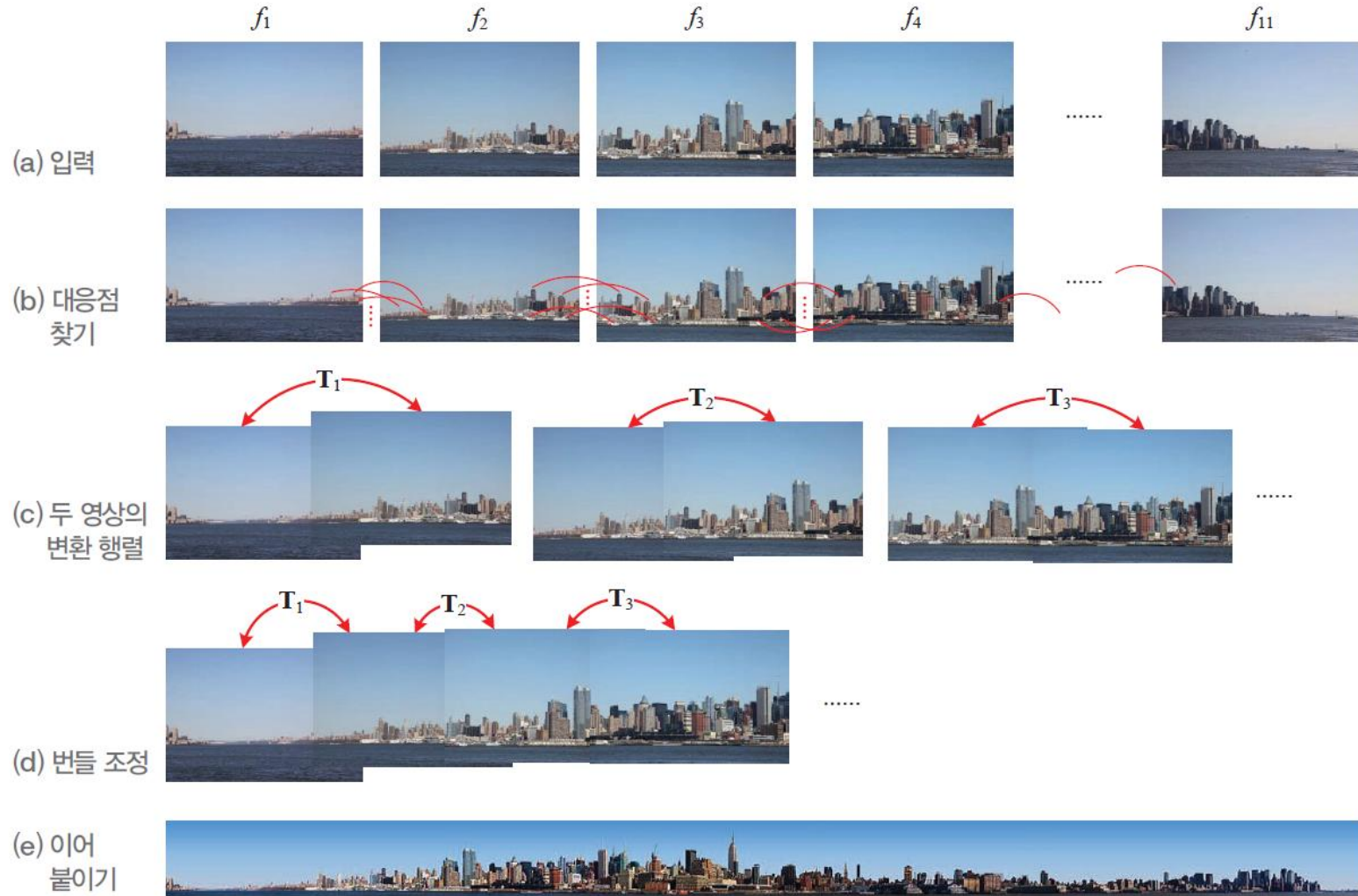
- 두 영상에서 서로 일치하는 점들의 쌍을 찾는 문제



- 영상에서 특징점들을 검출하고, 특징점들의 주변정보를 참고하여 속성을 기술한 다음, 기술된 정보를 비교하여 일치하는 것을 찾는 과정을 통해 해결
- **파노라마 영상 제작, 물체 인식, 물체 추적, 스테레오 비전, 영상 정합**의 문제 해결에서 필요

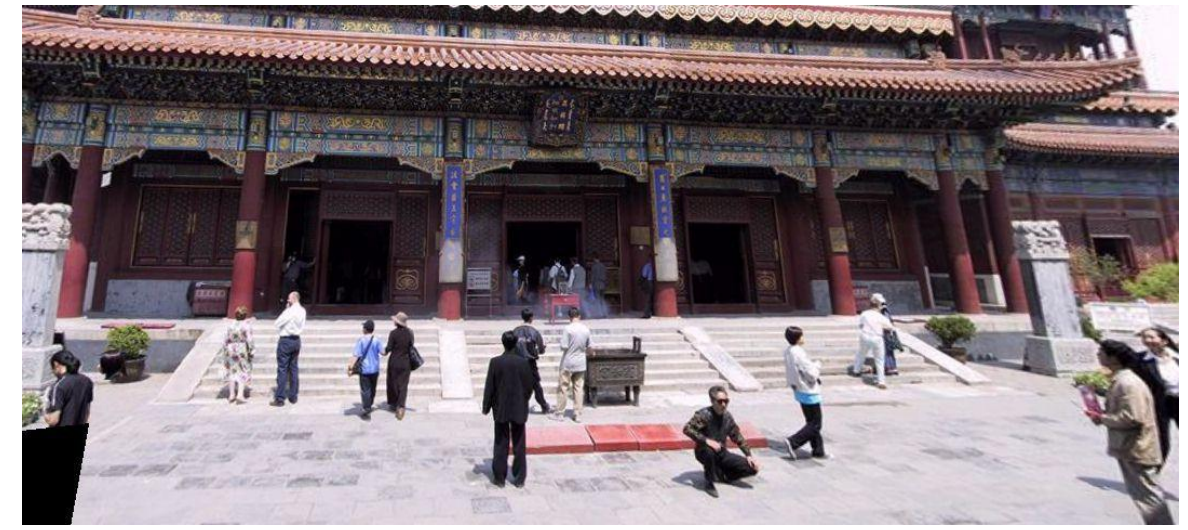
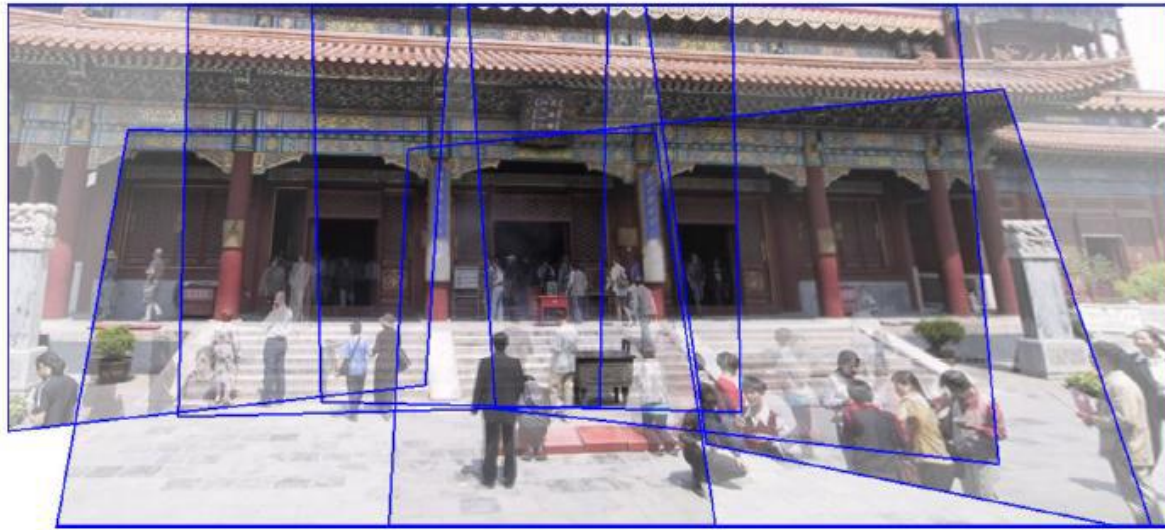
# 파노라마 영상(panorama image)

- 중첩해서 찍은 인접한 두 사진에서 대응점을 찾아 두 사진의 대응점들이 겹치도록 합성



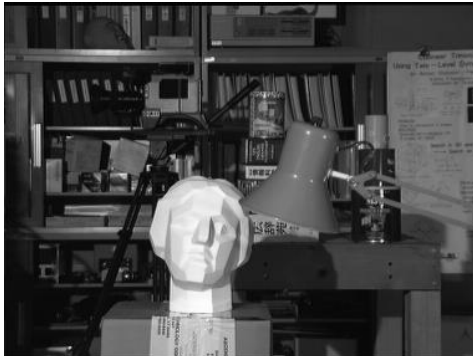
# 파노라마 이어붙이기(panoramic stitching)

- 중첩해서 찍은 인접한 두 사진에서 대응점을 찾아 두 사진의 대응점들이 겹치도록 합성



# 스테레오 비전(stereo vision)

- 같은 장면을 다른 각도에서 찍은 두 영상으로부터 물체까지의 거리 계산
- 삼각형의 닮은비로 계산



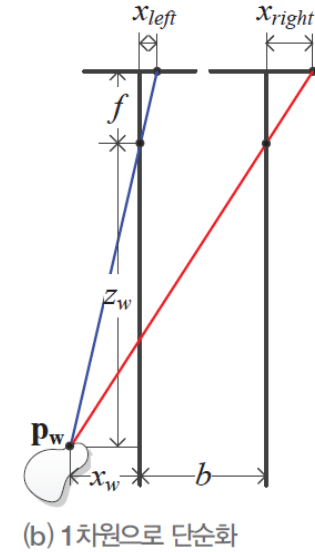
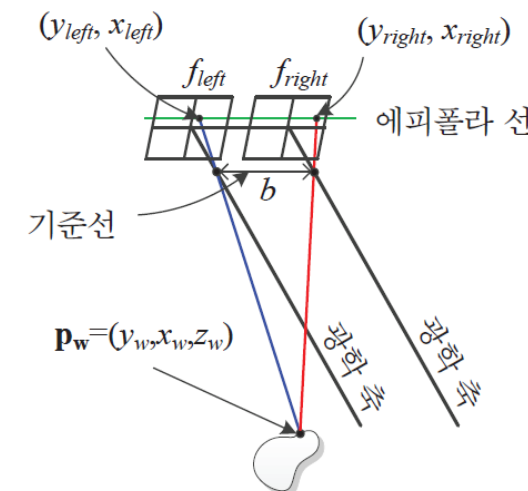
좌측 영상



우측 영상



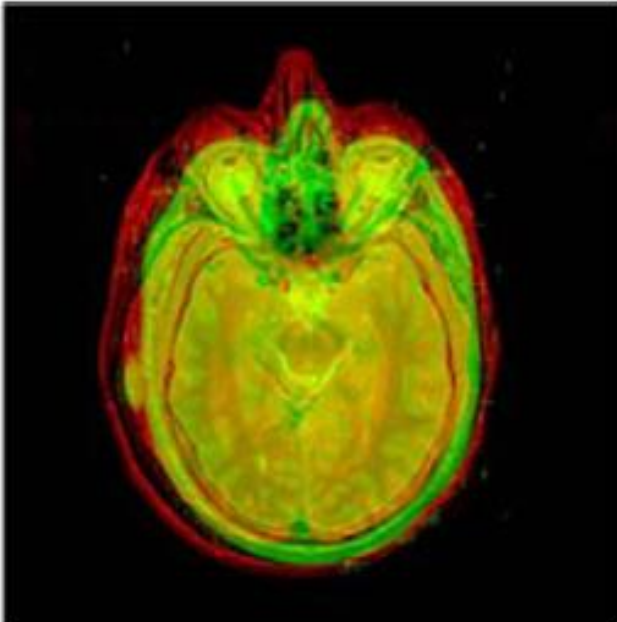
실체 차이 지도



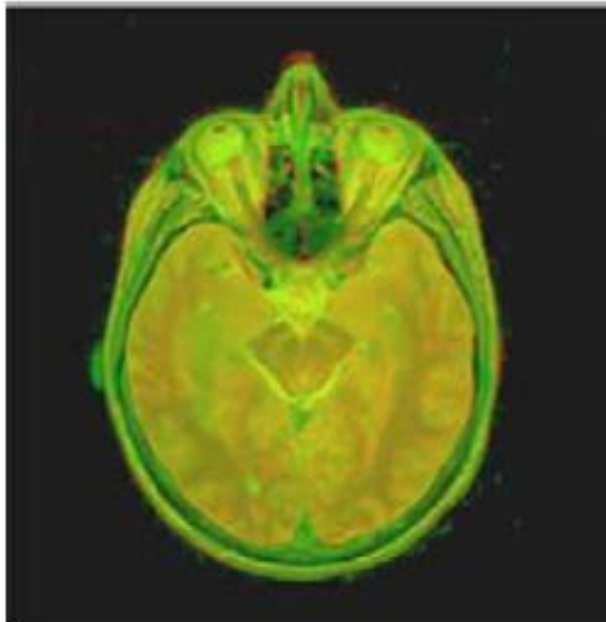
$$\text{왼쪽 영상에서 } \frac{x_{left}}{f} = \frac{x_w}{z_w}$$
$$\text{오른쪽 영상에서 } \frac{x_{right}}{f} = \frac{b + x_w}{z_w}$$
$$z_w = \frac{bf}{x_{right} - x_{left}} = \frac{bf}{d}$$

# 영상 정합(image registration)

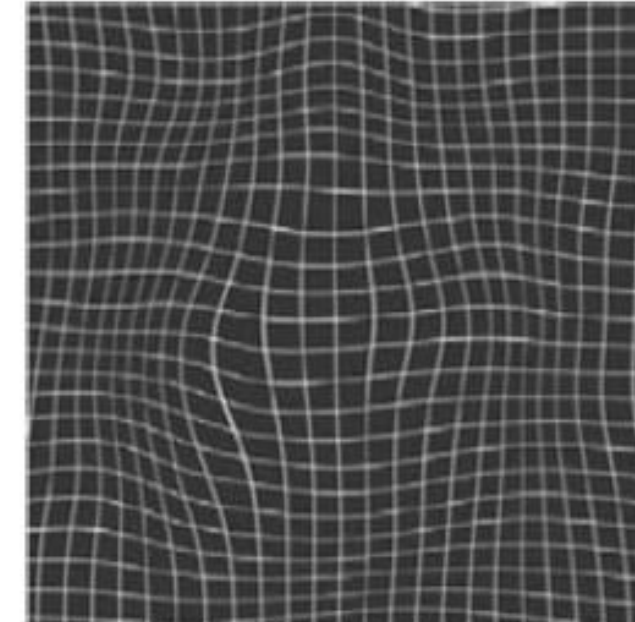
- 하나의 장면을 다른 시점에서 촬영한 **두 개의 영상**이 있을 때,  
하나의 영상을 다른 영상의 **좌표계**로 **변환**시켜 나타내는 것
- 두 영상에서 대응하는 위치 쌍들을 찾아내고, 이들 위치를 대응시키는 **기하학적 변환 행렬 탐색**



두뇌 모델/  
환자 MRI



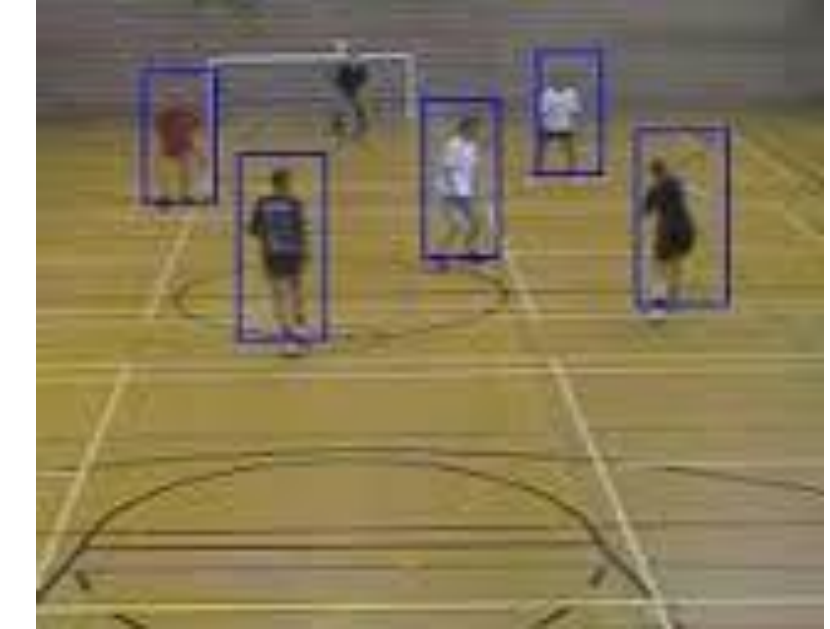
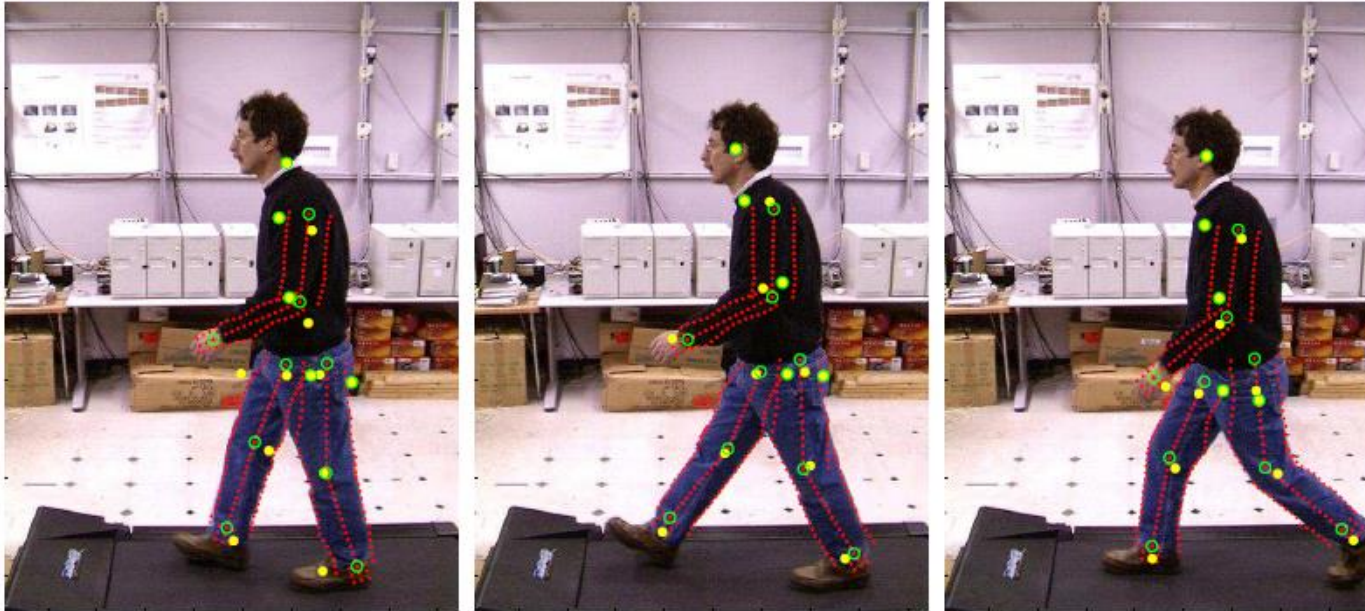
정합 후 모양



왜곡 필드

# 물체 추적(object tracking)

- 시간적으로 인접한 두 영상에서 대응점을 찾아 추적 대상의 위치 확인



# 특징점

---

- **특징점**(feature point)

- 영상의 다른 곳과 **현저하게 다른 곳**

- **기술자**(descriptor)

- **특징점의 주변 정보**를 뽑아내어 **표현하는 알고리즘 및 표현 결과**
  - 대표적인 기술자: SIFT

- **매칭**(matching)

- 특징점의 기술자로 표현된 값들을 비교하여 **유사도를 계산해** 비슷한 것을 찾아내는 과정
  - 비교할 대상이 많은 경우에는 효율적인 비교 알고리즘 필요

# 지역특징(local feature)

- 그레이 영상에서 직접 검출하는데, 다른 곳과 현저하게 차이가 나는 **특징 정보가 풍부한 곳**을 찾는 것
- 지역 특징점의 요구조건
  - **반복성**(repeatability) : 한 영상에서 특징점으로 검출된 것은 다른 영상들에서도 유사한 특성을 갖는 특징점으로 검출
  - **분별력**(distinctiveness) : 물체의 다른 곳과 충분히 구별
  - **지역성**(locality) : 특징점 주변의 작은 영역에서 특징 정보가 충분
  - **정확성**(accuracy) : 특징점의 위치를 정확히 결정 가능
  - **효율성** : 특징점이 너무 많이 검출되지 않으면서 짧은 계산 시간

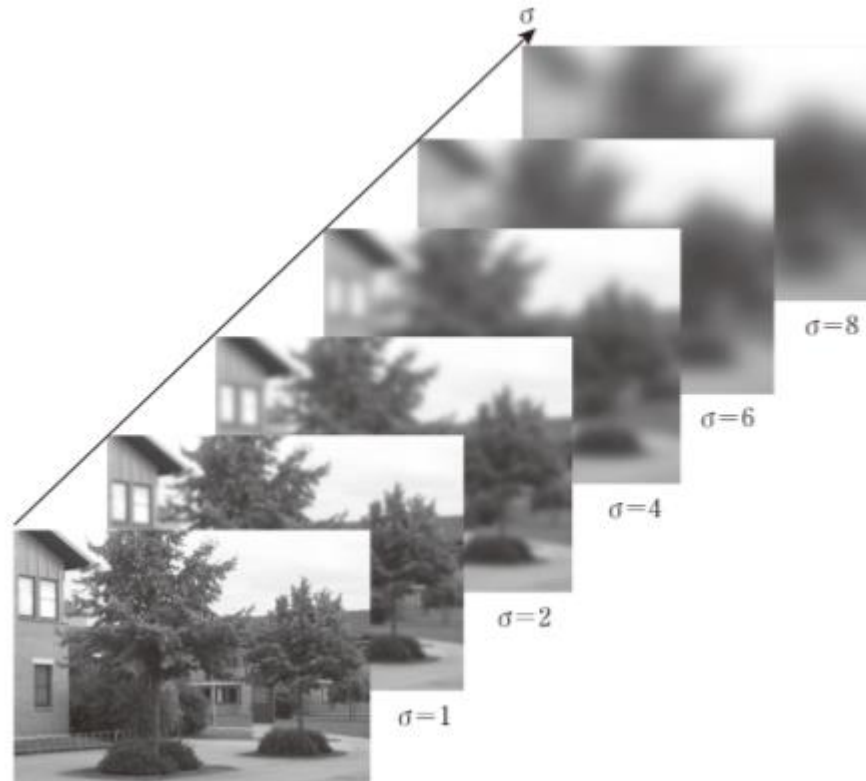
# 영상 피라미드(image pyramid)

- 영상의 가로, 세로 **길이**를 각각  $1/2$ 로 줄여가면서 생성한 일련의 이미지
- **크기 변화에 대응할 수 있는 특징점 검출 가능**
- 영상의 크기가  $1/4$ 로만 줄어드는 제약



# 스케일 공간(scale space)

- 멀리 떨어져 있는 물체가 희미하게 보인다는 점에 착안
- 영상의 크기를 줄이는 것이 아니라 **가우시안 필터의 표준편차  $\sigma$ 값을 점점 키워가면서 여러 개의 영상을 만드는 것**



- 스케일 공간  $\sigma$ 는 적용한 가우시안 필터의 표준편차
- $\sigma$ 값이 큰 영상에서 검출되는 특징은 크기가 큰 특징에 해당
- $\sigma$ 값이 작은 영상에서 검출되는 특징은 크기가 작은 특징에 해당

# 블롭 검출(blob detection)

- 라플라시안 필터는 블롭(위치, 크기)을 검출하는 역할

$$LOG(y, x, \sigma) = \nabla^2 G(y, x, \sigma) = \frac{1}{\pi\sigma^2} \left( \frac{x^2 + y^2 - 2\sigma^2}{2\sigma^2} \right) e^{\frac{-x^2 + y^2}{2\sigma^2}}$$

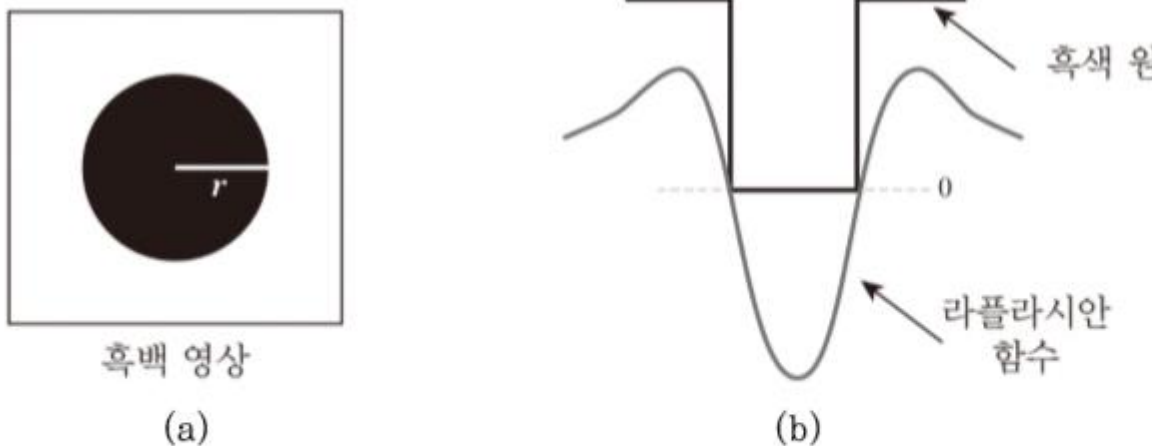
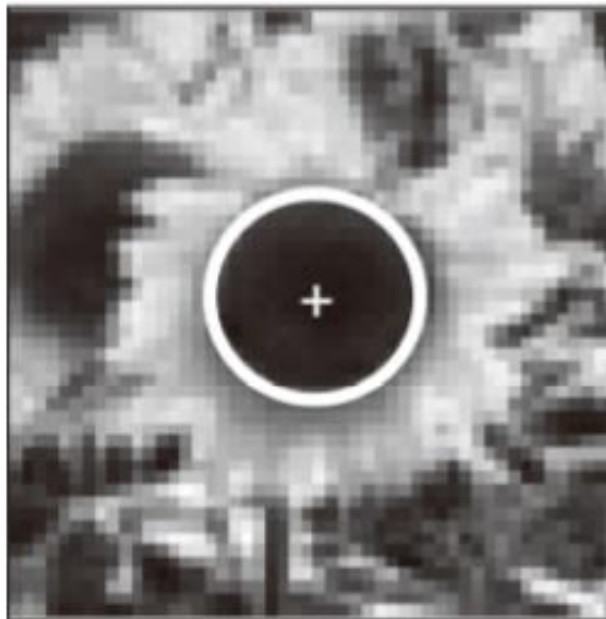


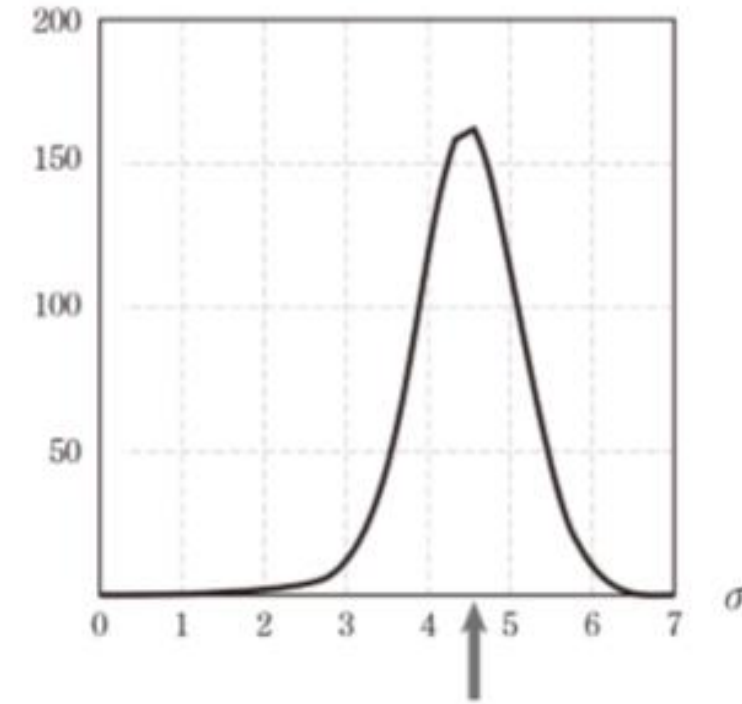
그림 9.28 라플라시안 함수의 효과

(a) 원의 중심에 라플라시안 함수의 필터를 썩워 컨볼루션을 할 때, 가장 큰 값을 얻기 위해서는 (b)와 같이 라플라시안 함수의 값이 0이 되는 부분이 흑색원의 경계가 된다.

# 블롭 검출(blob detection)

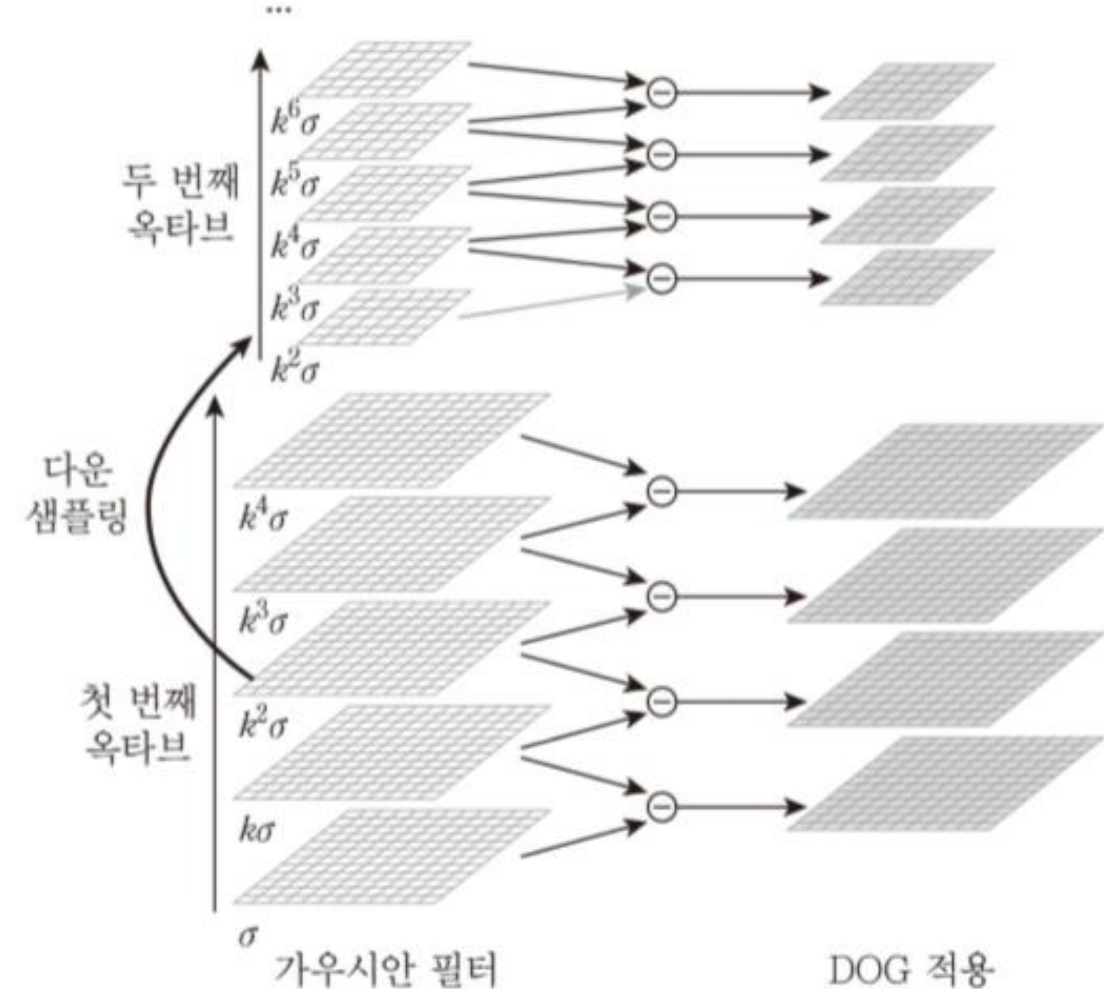


Log 컨볼루션 값



# SIFT(Scale-Invariant Feature Transform)

- 1999년 로우(David G. Lowe)가 개발한 대표적인 지역특징 추출 방법
- **키포인트**(keypoint)
  - SIFT에서 특징점
- 스케일 공간과 피라미드 구조 사용
  - **옥타브**(octave)
    - 같은 크기의 스케일 공간
    - 보통 5~6개의 영상 포함
  - 인접 영상과의  $\sigma$ 값의 차이  $k$  비율
    - $2^{1/3} \approx 1.26$
    - $\sigma = 1.6$
  - 다음 옥타브의 첫번째 영상
    - $k^2\sigma$ 의 영상에서 다운샘플링(downsampling)
      - 하나 건너 하나 선택
  - 영상 크기가  $4 \times 4$ 가 될때 까지 반복



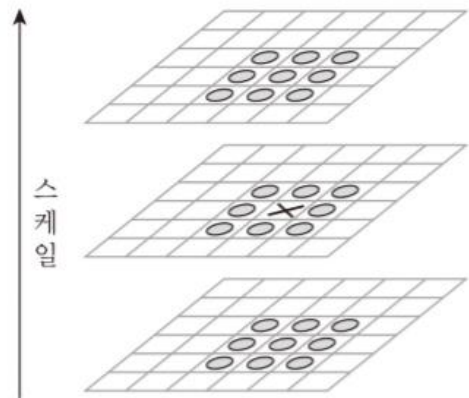
# SIFT 특징점 검출

- 옥타브 내의 인접 영상에 대해서 DOG 계산

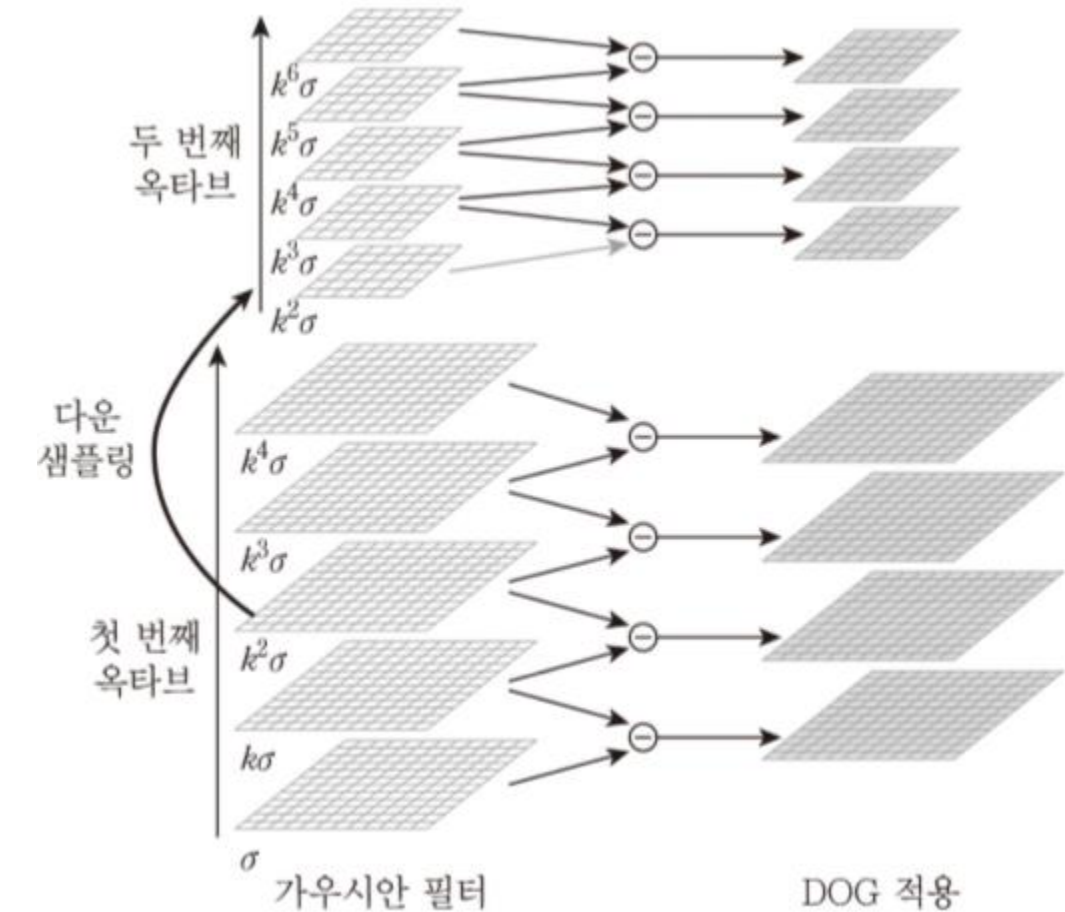
- LOG를 하는 효과
- 피라미드 구축과정에서 가우시안 필터 적용

- 키포인트 선택

- 위와 아래 DOG 영상들을 포함해서 이웃한 26개의 값과 비교
- 'x' 위치의 값이 최소나 최대가 되면 극점으로 선택

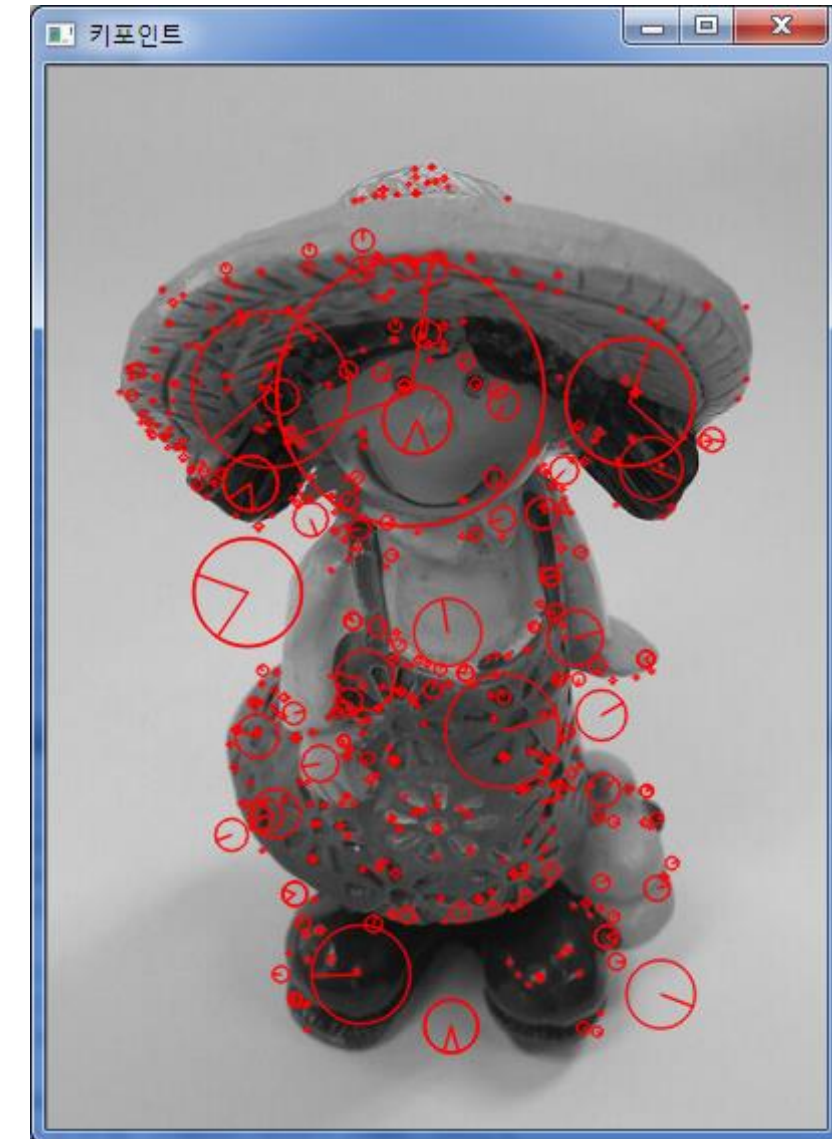


- 다양한 크기의 블롭을 찾는 특징점 검출



# SIFT 키포인트(특징점) 검출결과

- 특징점 위치 : 원의 중심
- 특징점 크기 : 원의 크기



# 특징점 추출 방법

---

- SIFT
- 해리스-라플라스(Harris-Laplace)
- SURF(Speeded-Up Robust Features)
- FAST
- ORB
- BRISK
- ...

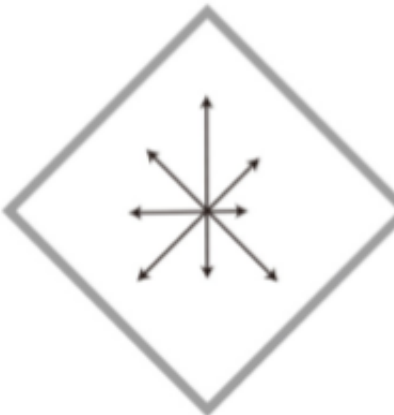
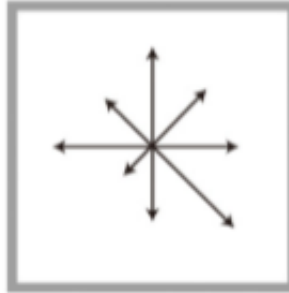
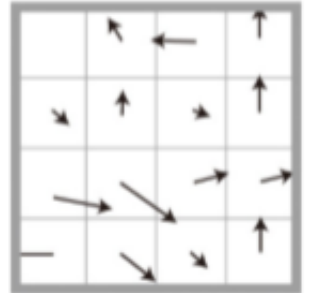
# 특징 기술자

---

- 관심점(interest point, 특징점)의 특징을 추출한 정보를 기술한 것 또는 이러한 정보를 추출하는 알고리즘
- 기술자의 요구 조건
  - 관심점들을 잘 구별할 있는 **분별력**(discriminating power)
  - 회전, 크기변화, 이동과 같은 기하학적 변화에 대해서 영향을 받지 않는 **불변**(invariant)
  - 조명변화, 잡음, 가림에 대해서도 **강건**(robust)
- 기술자의 종류
  - **SIFT의 기술자**
  - SIFT의 변형인 **PCA-SIFT**와 **GLOH**
  - **모양 콘텍스트(shape context)**
  - **BRIEF**
  - **ORB**
  - **BRISK** 등

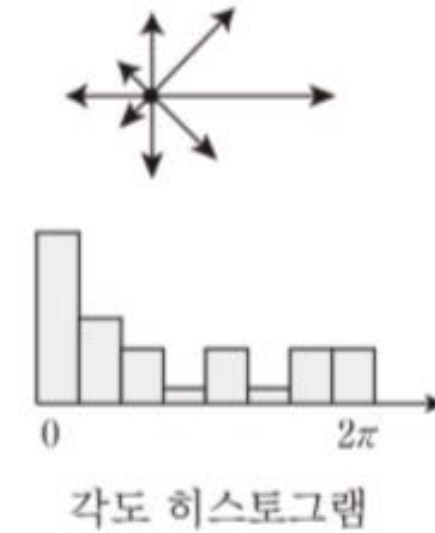
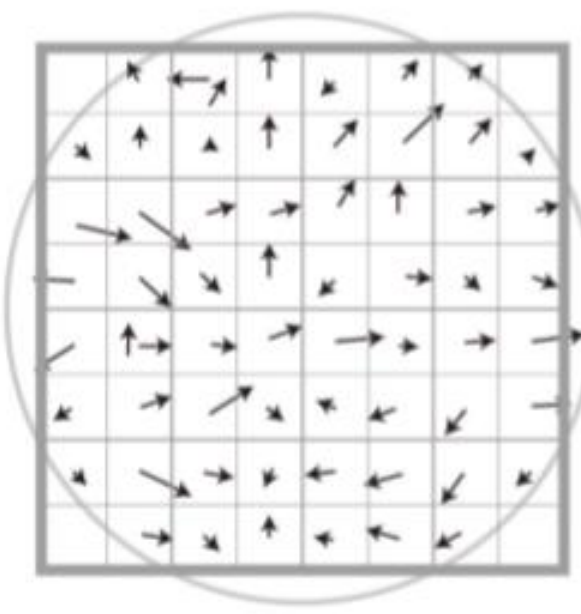
# SIFT 특징 기술자

- 회전변환에 불변인 기술자 생성
- 키포인트(관심점)의 위치와 크기가 주어지면 **지배적 방향**(dominant direction) 결정
- 키포인트를 중심에 두고 키포인트의 크기에 비례하는 크기의 가우시안 윈도우 적용
- 윈도우와 중첩되는 위치의 각 화소에 대해 **그레디언트**(gradient)를 계산 해당 위치의 가우시안 필터값을 곱함
- 그레디언트를 10도 구간으로 분할, 히스토그램 작성
- 지배적 방향으로 회전



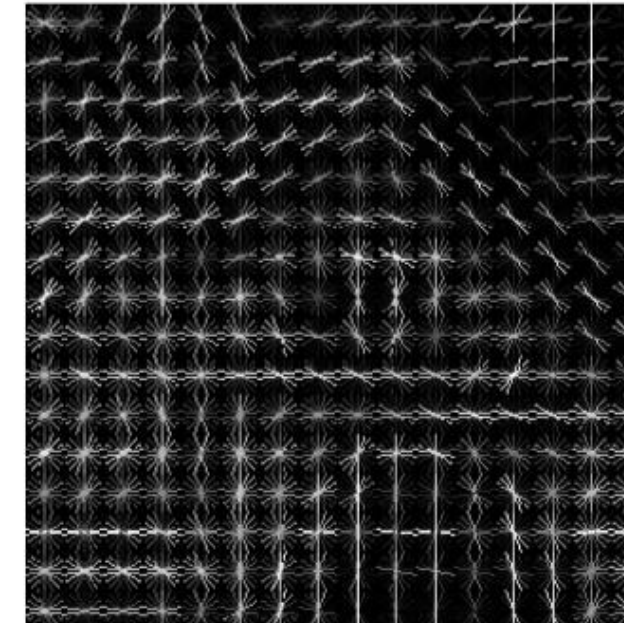
# SIFT 기술자의 특징 기술

- 전체 윈도우를  $4 \times 4$  블록으로 나누고, 각 블록에 대해서 8단계로 양자화하여 히스토그램 계산
- 각 블록의 히스토그램을 모아둔 형태로  $4 \times 4 \times 8 = 128$  차원의 벡터
- 크기, 방향, 광도 변화에 불변성 특성 추출



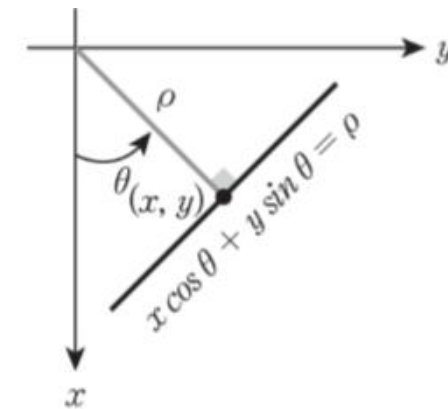
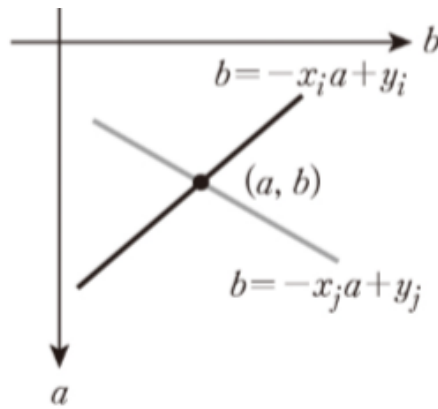
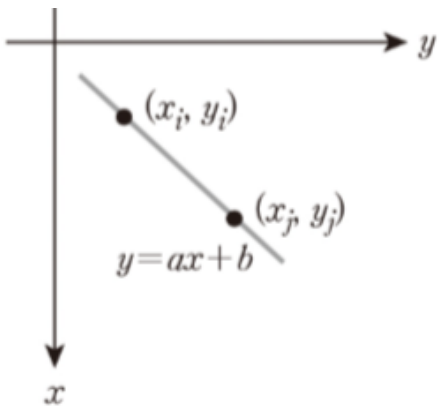
# HOG 기술자

- HOG(Histogram of Oriented Gradients, 방향성 그레이언트의 히스토그램)
- 사람의 형태나 보행자를 검출하는 데 주로 사용되는 영상의 기술자
- 영상을 일정 크기의 **블록**으로 나누어 그레디언트를 계산한 다음,  
그레디언트를 이용하여 해당 블록의 **지역적 히스토그램**을 생성하고,  
지역적 히스토그램을 이어붙여 1차원 벡터로 된 기술자 생성



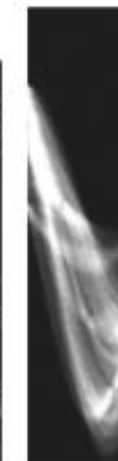
# 허프 변환 (Hough transform)

- 영상에서 직선이나 곡선을 찾는데 사용되는 기법
- 칼러 영상이라면 그레이 영상으로 변환한 다음,  
Canny 연산자 등을 통해서 윤곽선에 해당하는 위치들이 점으로 표시된 이진 영상으로  
변환한다고 전제



# 허프 변환 (Hough transform)

- 영상에서 직선을 찾는 방법
  - 특징공간을 일정간격의 격자로 나누고 해당 격자에 지나가는 것들은 동일한 교차점을 갖는다고 간주
  - 많은 곡선이 지나간 격자들 만을 선택해서 해당 격자에 해당하는 직선을 추출
- 방정식으로 표현되는 다른 곡선들을 찾는 데도 사용 가능



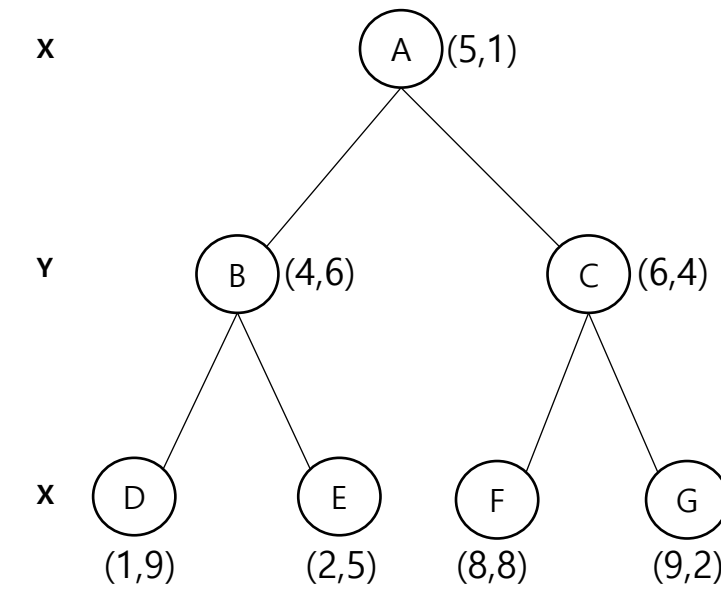
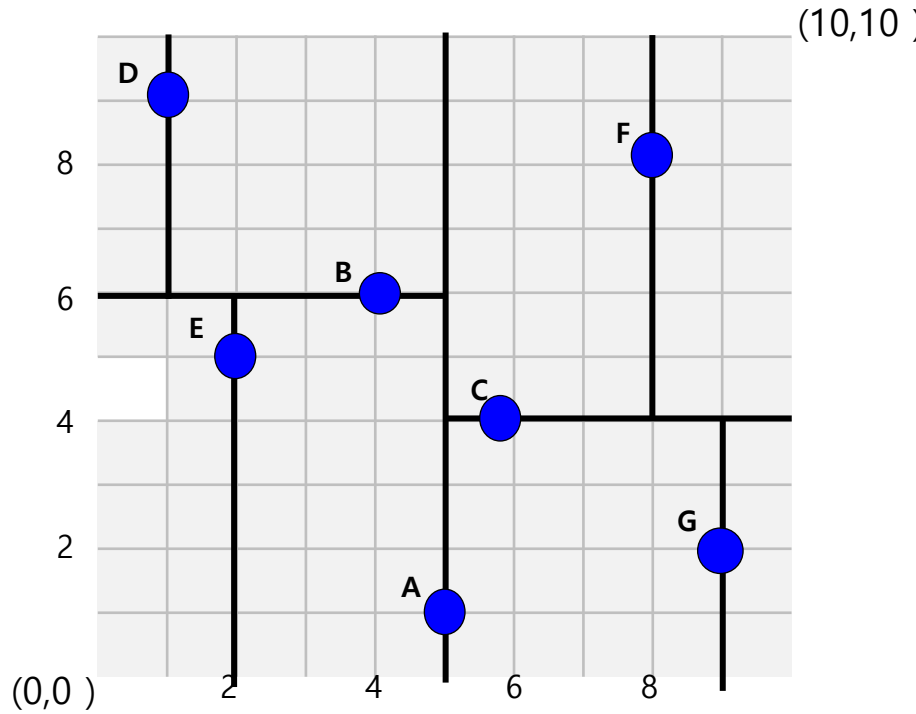
# 매칭(matching)

---

- 대상들을 비교하여 유사한 것들을 찾아내는 것
- 특징점이 추출되고 이에 대한 기술자가 벡터로 주어지면, 특징점들은 고차원 공간에 있는 점에 대응
- 인덱싱 구조 사용
  - k-d 트리(k-d tree)
    - 공간을 각 차원에 직교하는 공간으로 분할하여 공간을 쉽게 찾도록 도와주는 자료구조
    - 비교적 낮은 차원(10차원 이내)에는 효과적
  - 지역민감 해싱(locality sensitive hashing) 방법
    - 고차원 데이터에 대해 빠른 근사적 검색이 가능한 기법
    - 유사한 데이터가 같은 버킷(bucket)으로 대응될 확률이 큰 해시 함수(hash function)를 사용

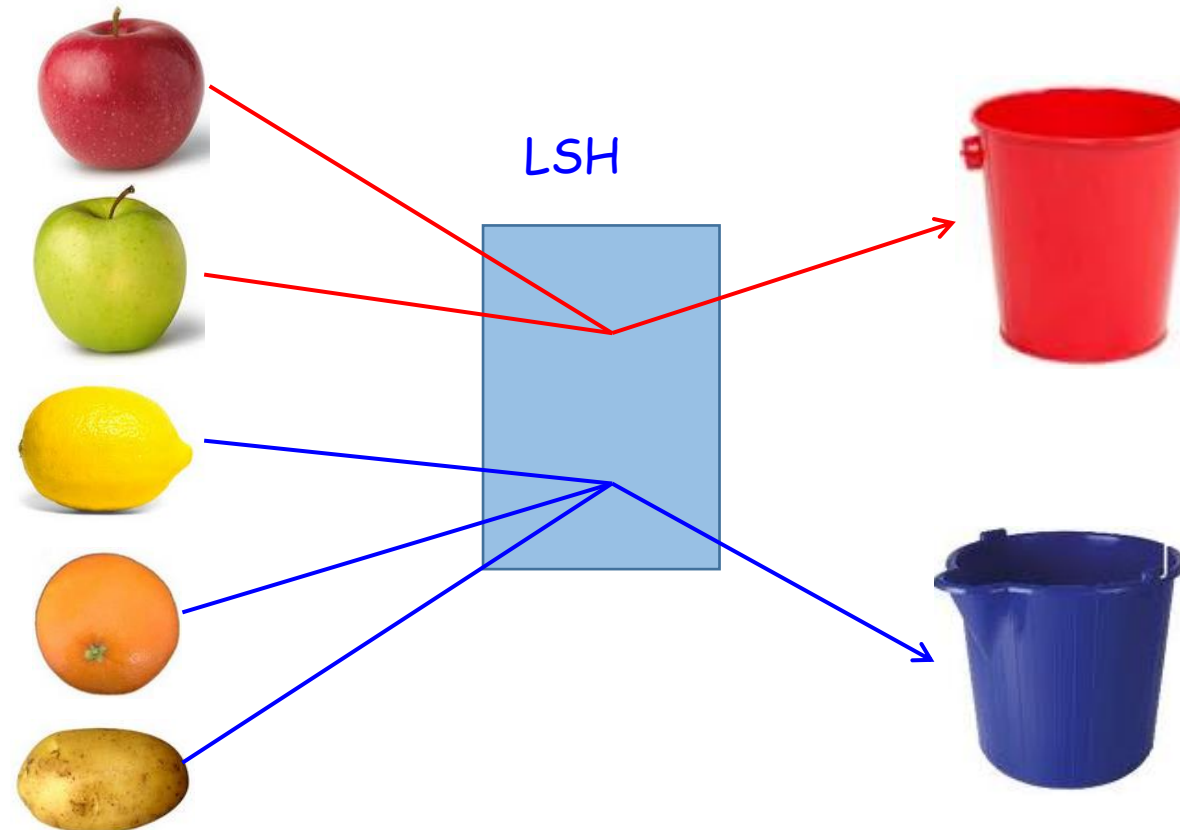
# k-d 트리(k-d tree)

- [Bently, 1975]
- 고차원 데이터인 경우 전체 데이터에 대한 비교를 할 만큼 느림



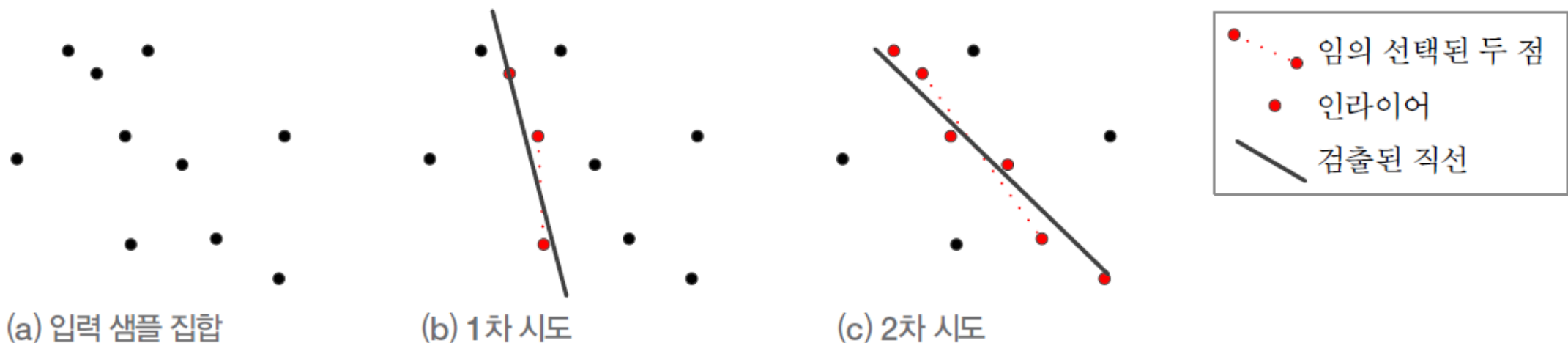
# 지역민감 해싱(locality sensitive hashing)

- 유사한 데이터는 같은 버킷(bucket)으로 높은 확률로 해싱
- 차이가 큰 데이터는 같은 버킷으로 낮은 확률로 해싱



# 기하정렬과 RANSAC

- 동일 장면을 다른 시점에서 획득된 두 영상에서 대응되는 객체의 기하학적 변환 관계
- 한 영상을 기하학적 변환 행렬에 곱하면 다른 영상이 근사하게 만드는 변환 찾기
- RANSAC(Random Sample Consensus) 알고리즘**
  - 주어진 여러 데이터들 중에서 임의로 몇 개를 선택하여 함수를 근사한 다음, 해당 함수와 부합하는 데이터들을 확인
  - 해당 함수가 얼마나 바람직한지 평가하거나, 부합하는 데이터들을 포함시켜 함수를 개선



# 대응점 문제에 대한 RANSAC 적용

---

- 두 영상에 대한 대응점의 쌍들의 데이터를 입력으로 사용
- **대응점 쌍들** 중에서 무작위로 세 쌍을 선택
- 세 대응점에서 한 영상의 좌표값은 입력으로 다른 영상의 좌표값은 출력으로 만들어주는 **변환 행렬  $T$  계산**
  - 최소제곱법(least mean square method), 최소제곱중간값법(least median square method) 등 사용
- 나머지 대응점 쌍의 변환행렬  $T$ 의 변환관계를 만족하는지 평가
- 다시 무작위로 세 쌍의 대응점들을 선택한 다음에 위의 과정 **반복**
- 여러 번 반복하여 **가장 좋은 것을 변환행렬 사용**
- 영상들에 대해서 대응점의 쌍들과 변환 행렬을 찾으면, 영상들의 이어붙이기(stitching) 가능

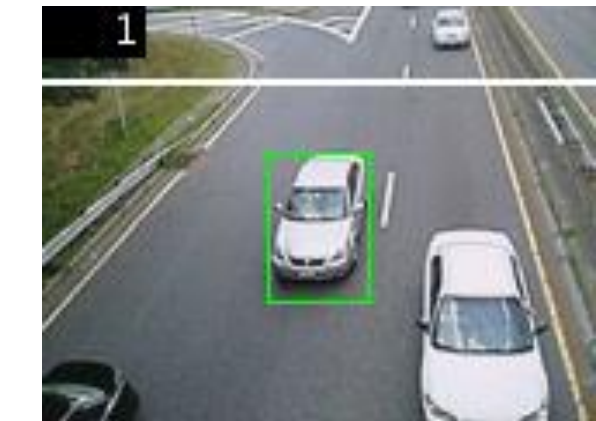
# 영상 이어붙이기

- 대응점 찾기
- 변환행렬 찾기



# 동영상 처리 기술

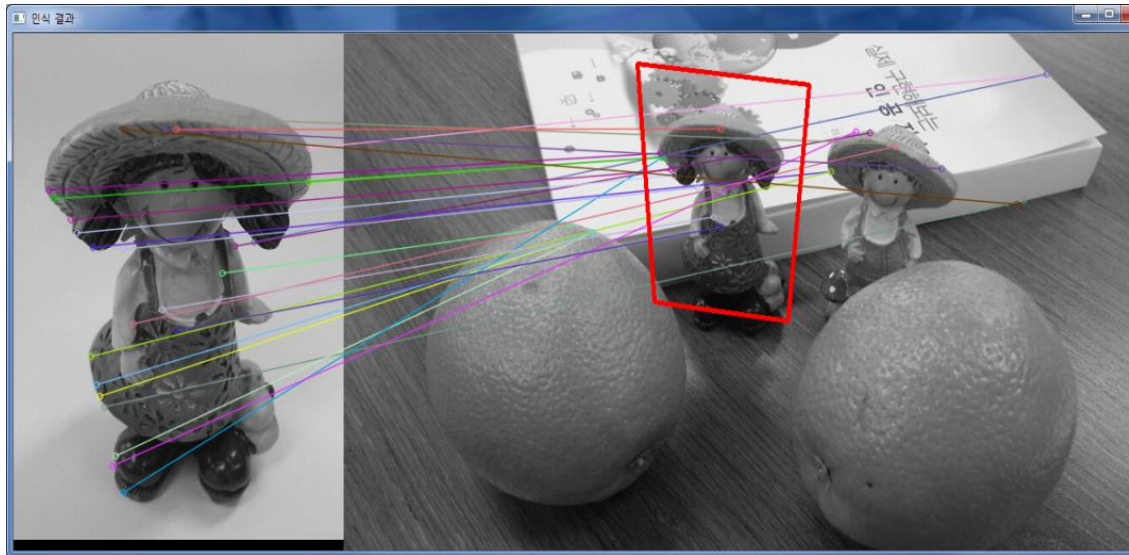
- 정지영상이 연속해서 있는 것으로 보고 처리
- 물체의 움직임 추적
  - 인접한 두 장의 영상에서 움직임을 검출하는 **광류(optical flow)** 관련 기술
  - 예측 모델을 사용하여 움직임을 추적하는 기술
- 광류(optical flow)
  - 영상의 물체들의 속도 분포



# 인식문제

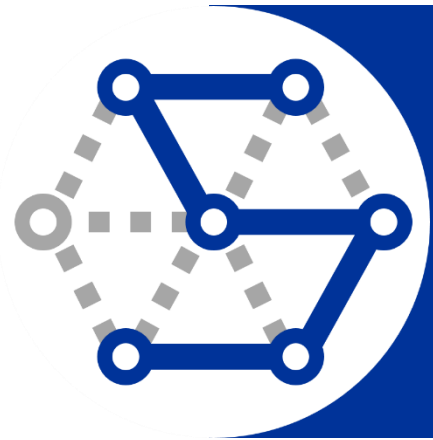
## ■ 사례 인식(instance recognition)

- 특정 물체가 영상에 있는지 찾는 것
- SIFT와 같은 우수한 지역특징이 개발되면서 높은 성능 구현



## ■ 범주 인식(category recognition)

- 영상 속에 나타나는 물체가 어떤 범주에 속하는지 결정하는 문제
- 범주 내의 변화가 매우 크기 때문에 아직 만족스러운 결과를 얻지 못함



# 4 딥러닝 컴퓨터 비전



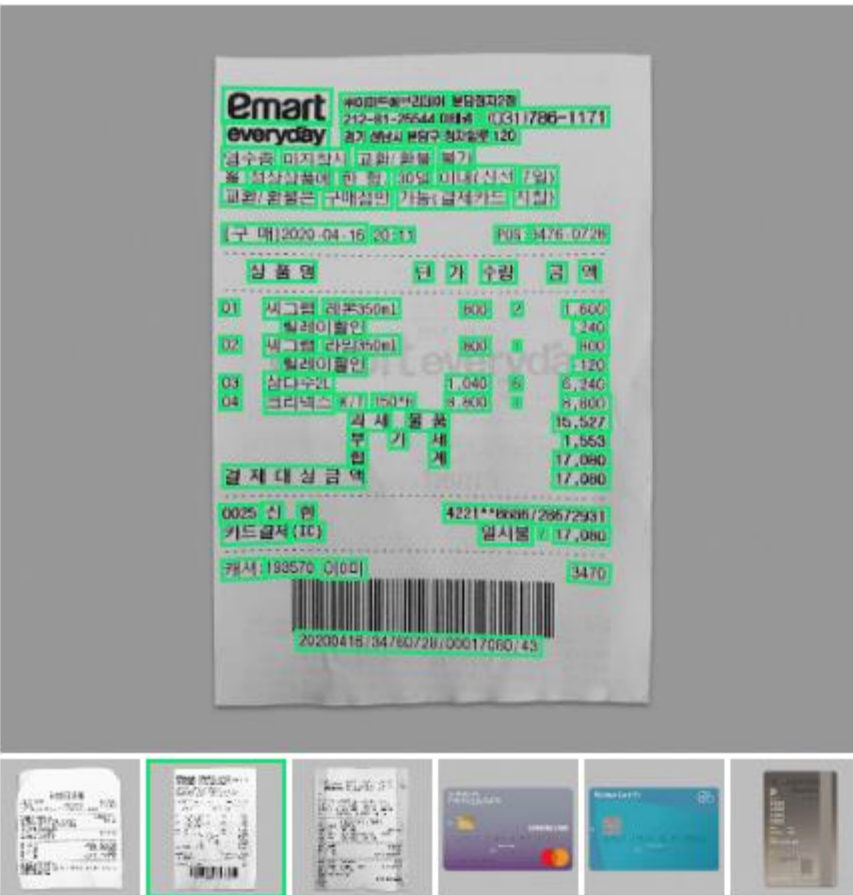
Text json

소화전(호스릴) 사용방법  
HOW to use Hose reel Fire hydrant.  
소화전함을 열고 관창(노즐)을 잡고 적재된  
1 호스릴을 함 밖으로 꺼낸다.  
Open the Fire wall cabinet and take out the hose  
and grab the Nozzle  
2 소화전 밸브를 왼쪽으로 돌려서 개방한다.  
Open the valve by turning left hand side  
두 손으로 관창을 잡고 화재지역으로  
3 호스를 전개하여 불을 끈다.

Upload

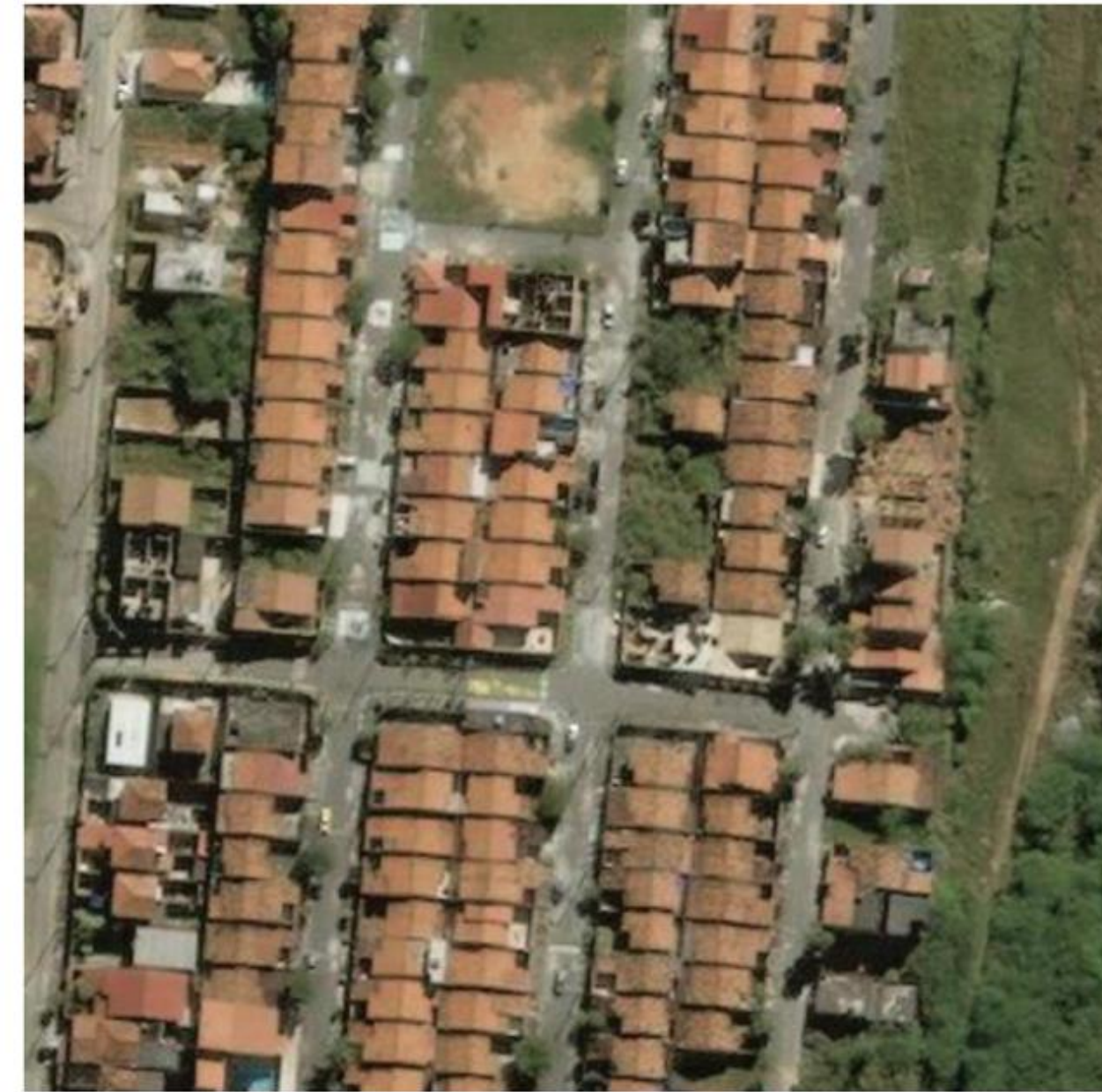
## Model type: Document Understanding OCR

Recognizes receipts by type, and extracts all items on the receipt, such as store information, payment history, and payment method.



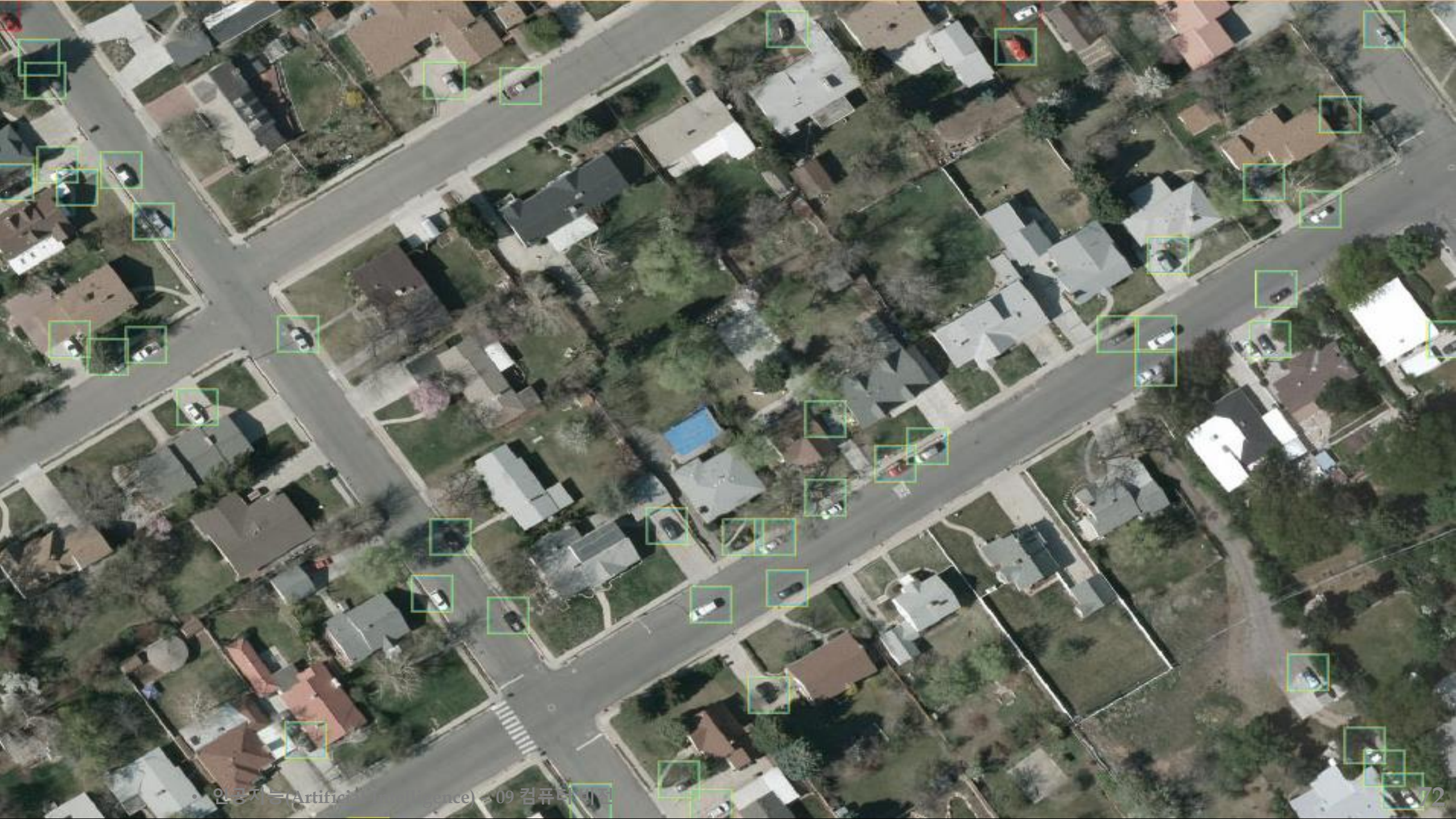
Text		json	
Store name	emart		
Store address	경기 성남시 분당구 정자동로 120		
Store phone number	(031)786-1171		
Item	Quantity	Unit price	Price
씨그램 레몬350ml	2	800	1600
씨그램 라임350ml	1	800	800

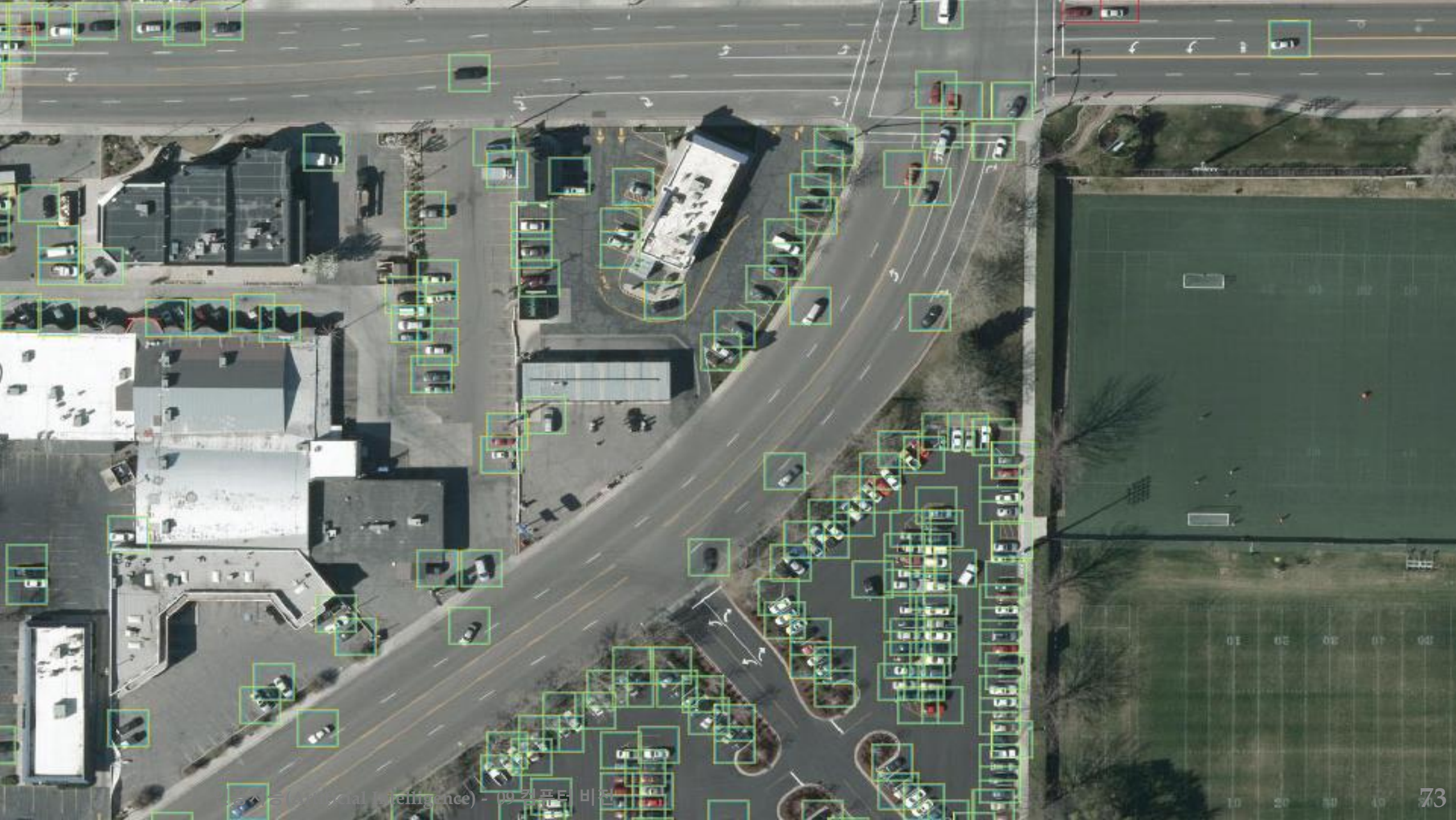
Source image

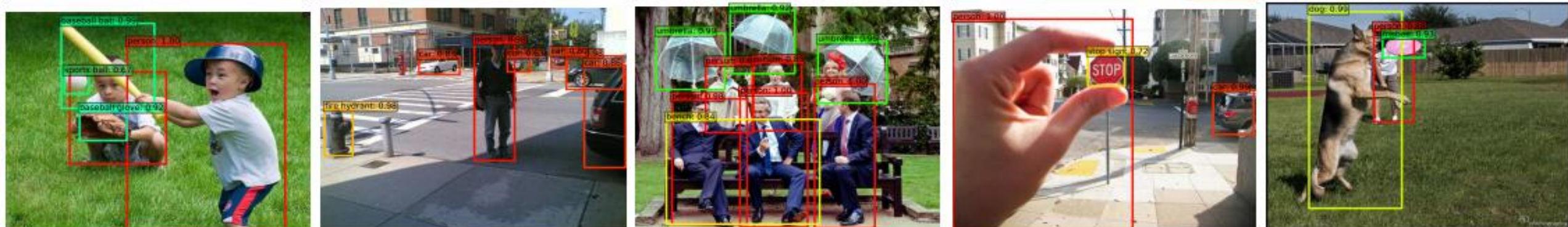
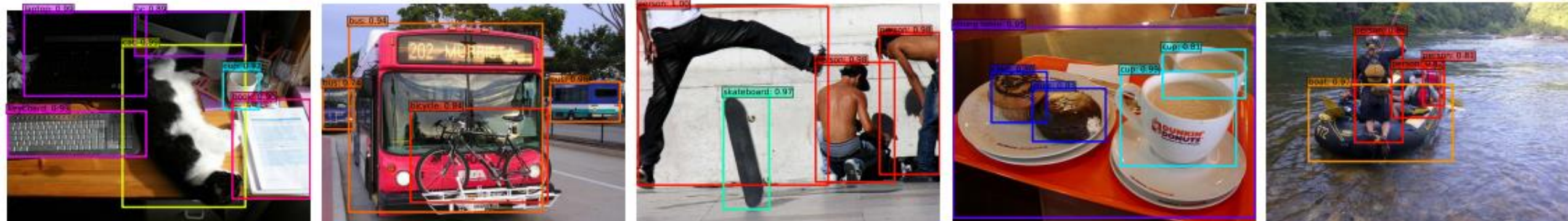
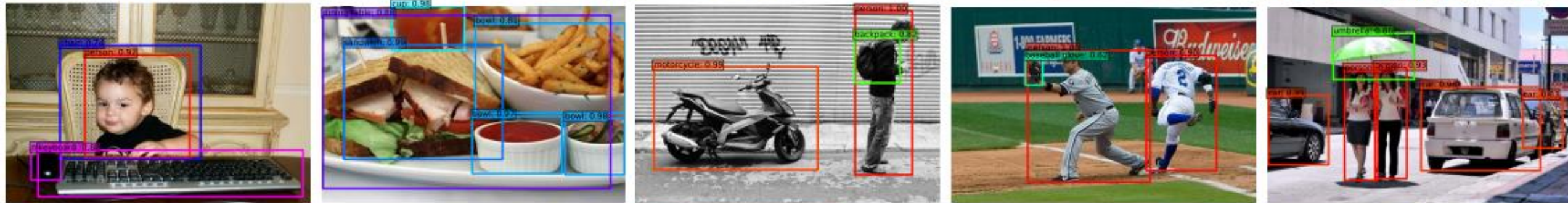
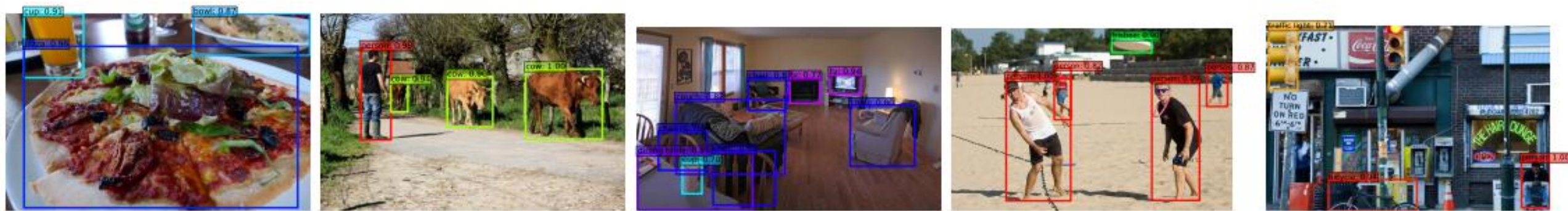


Inference visualization







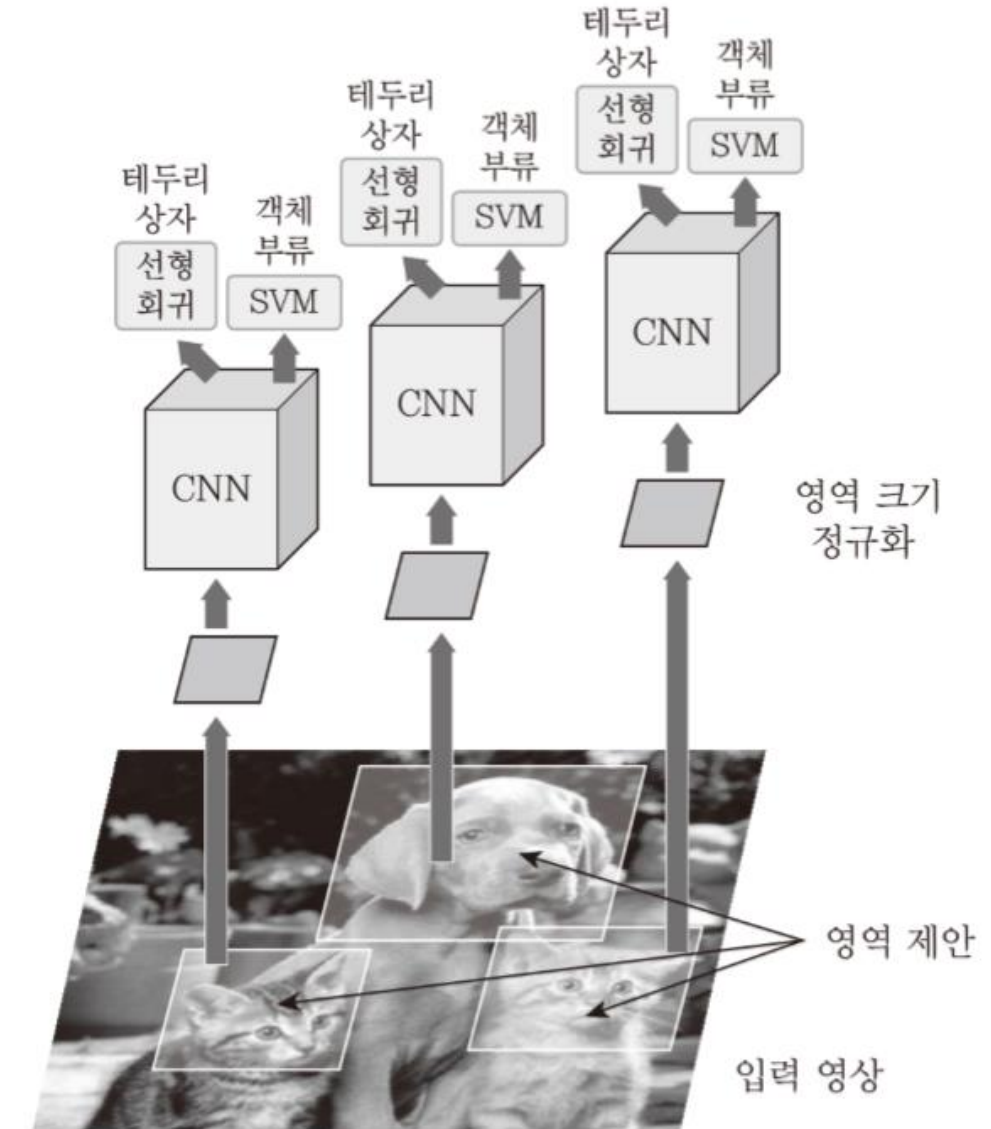


# 객체 위치 검출 및 개체 인식을 위한 딥러닝 모델

- R-CNN 모델
  - R-CNN, Fast R-CNN, Faster R-CNN
- YOLO 모델
- SSD 모델

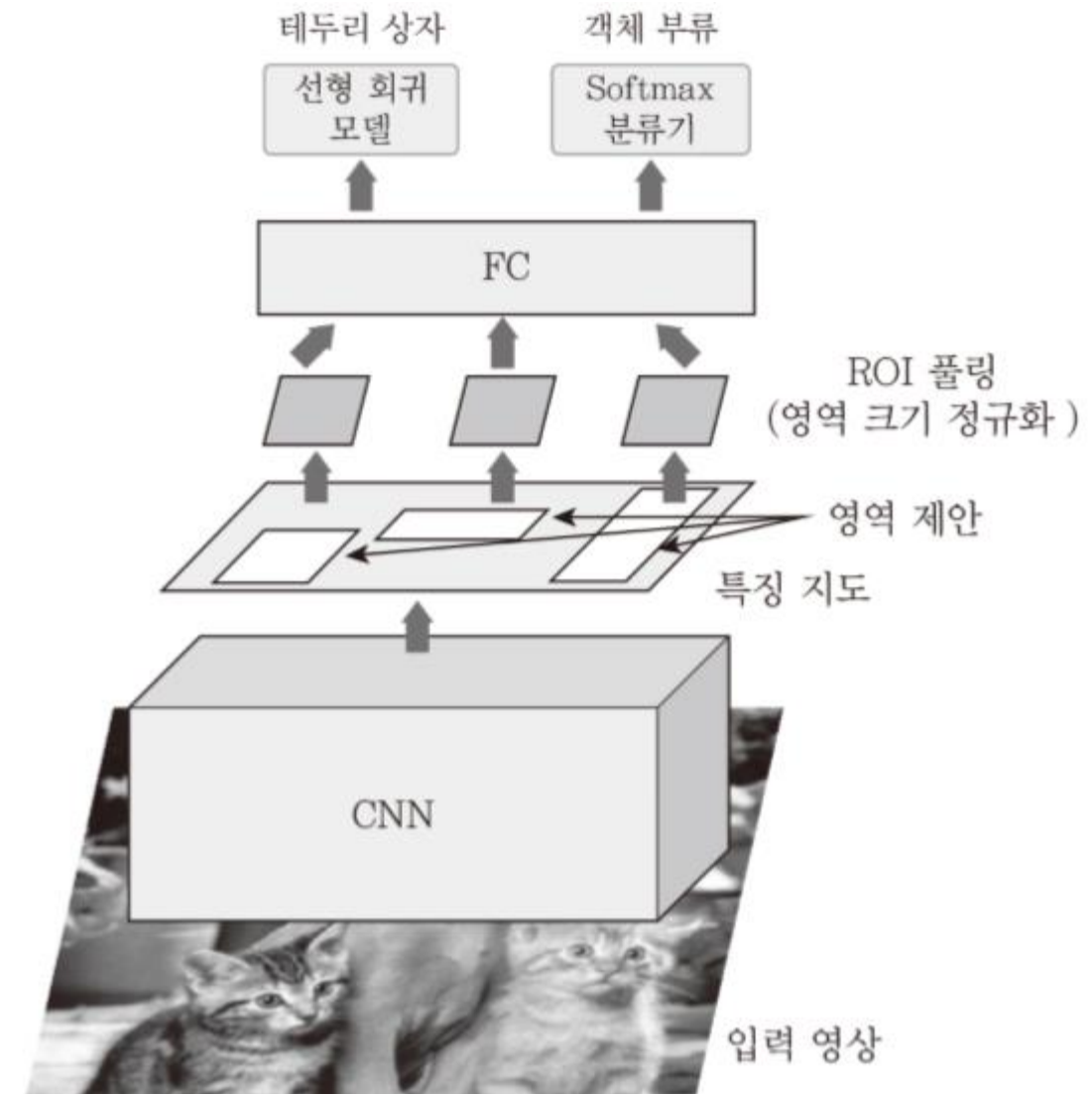
# R-CNN 모델

- 먼저 객체를 포함하고 있을 것 같은 영역을 찾기 위해 기존의 **영역 제안 알고리즘** 적용
- 추천된 각 영역의 특징 추출을 위해, AlexNet의 변형된 형태인 CNN 모델 사용



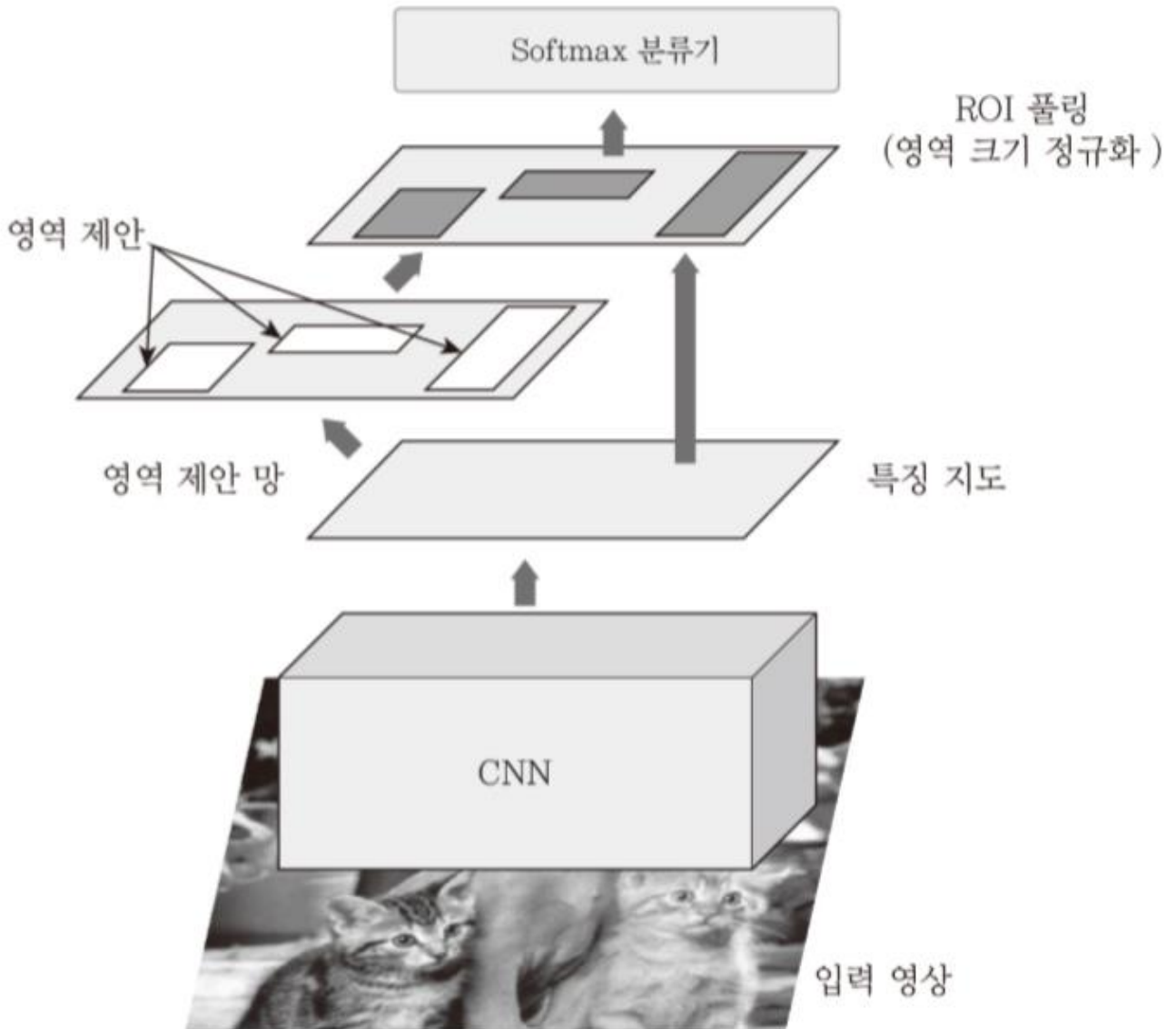
# Fast R-CNN 모델

- 특징 지도에서 영역 제안 알고리즘이 추천한 물체 영역들에 대한 대응 위치를 찾아, 관심 영역으로 선택
- 완전 연결층의 출력은 관심 영역 내의 객체를 분류하는 소프트맥스 분류기와 추천된 객체 영역을 미세 조정하는 선형 회귀 모델로 각각 전달



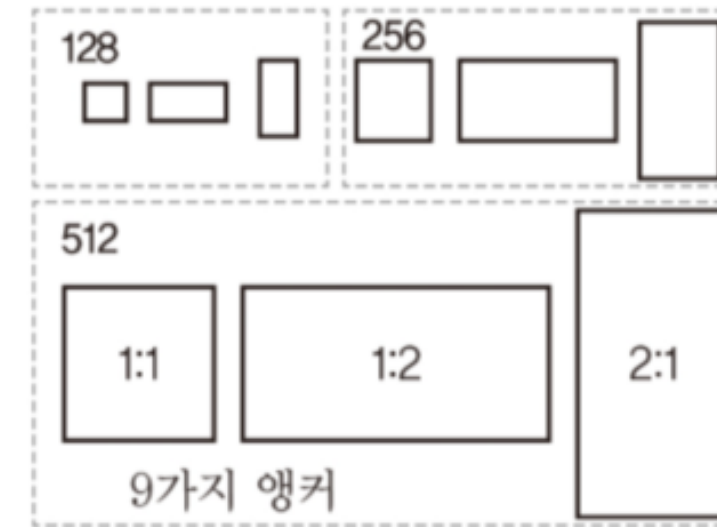
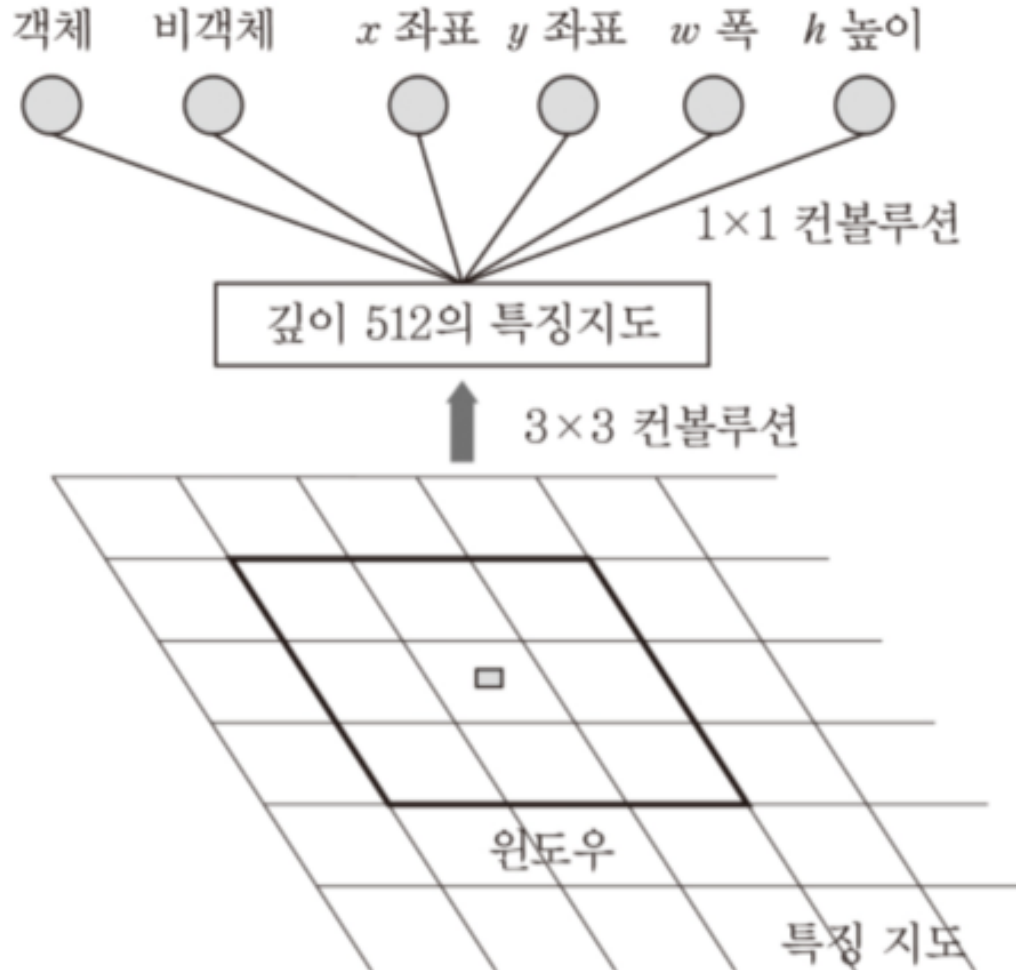
# Fast R-CNN 모델

- 특징 지도로부터 직접 객체 영역을 찾는 영역 제안 망을 내부에 포함



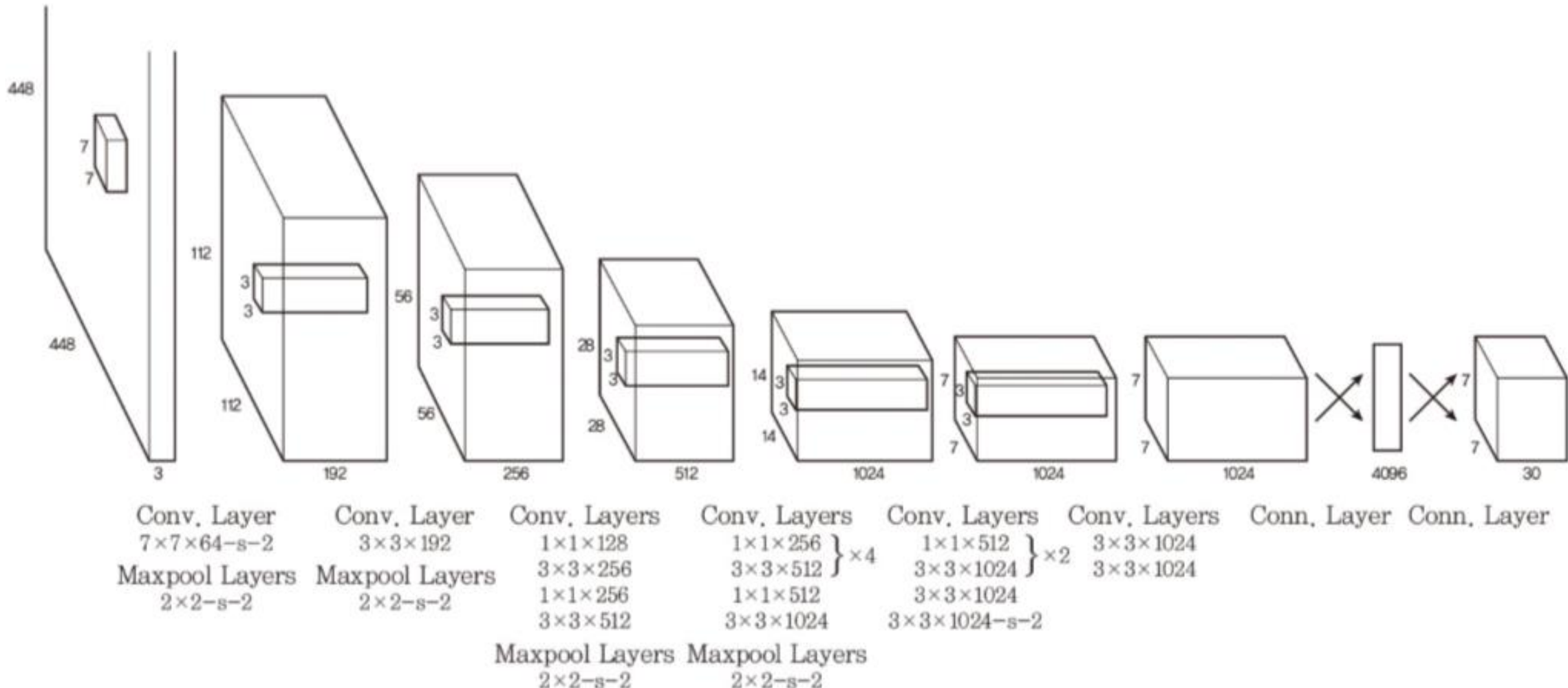
# Faster R-CNN의 영역 제안 망

- 특징 지도에 대해 여러 크기의 앵커에 대해 객체의 유무 평가



# YOLO 모델

- 실시간으로 객체를 감지하고 인식하는 모델



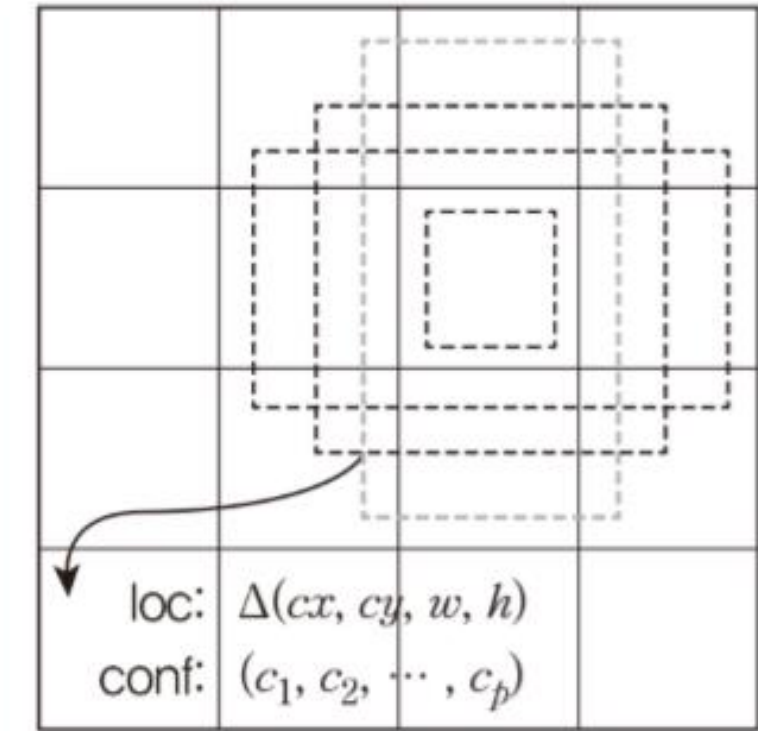
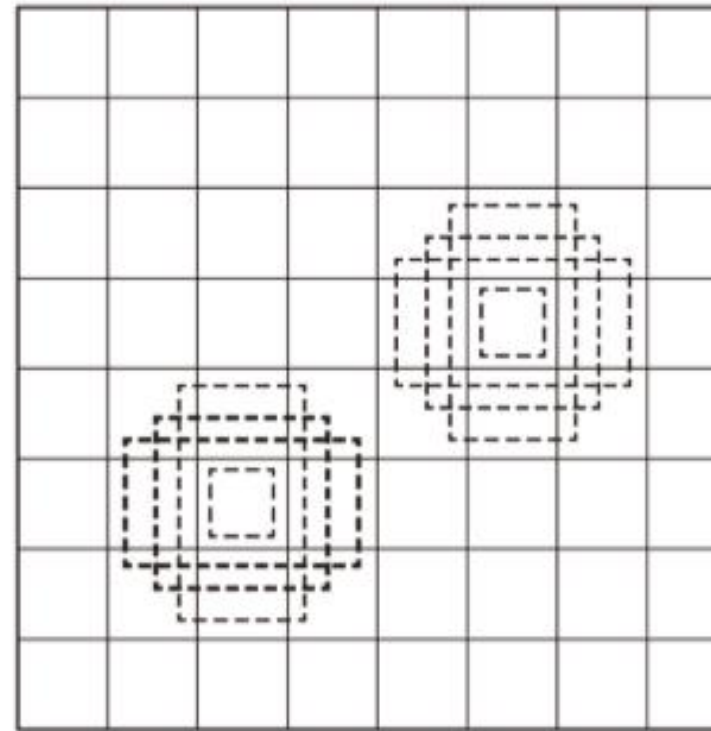
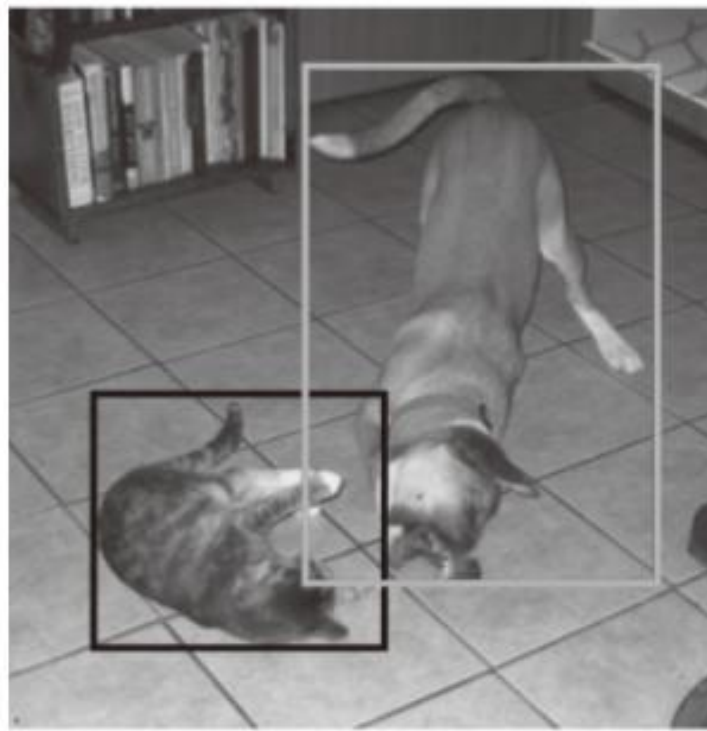
# Object Detection

*starring*

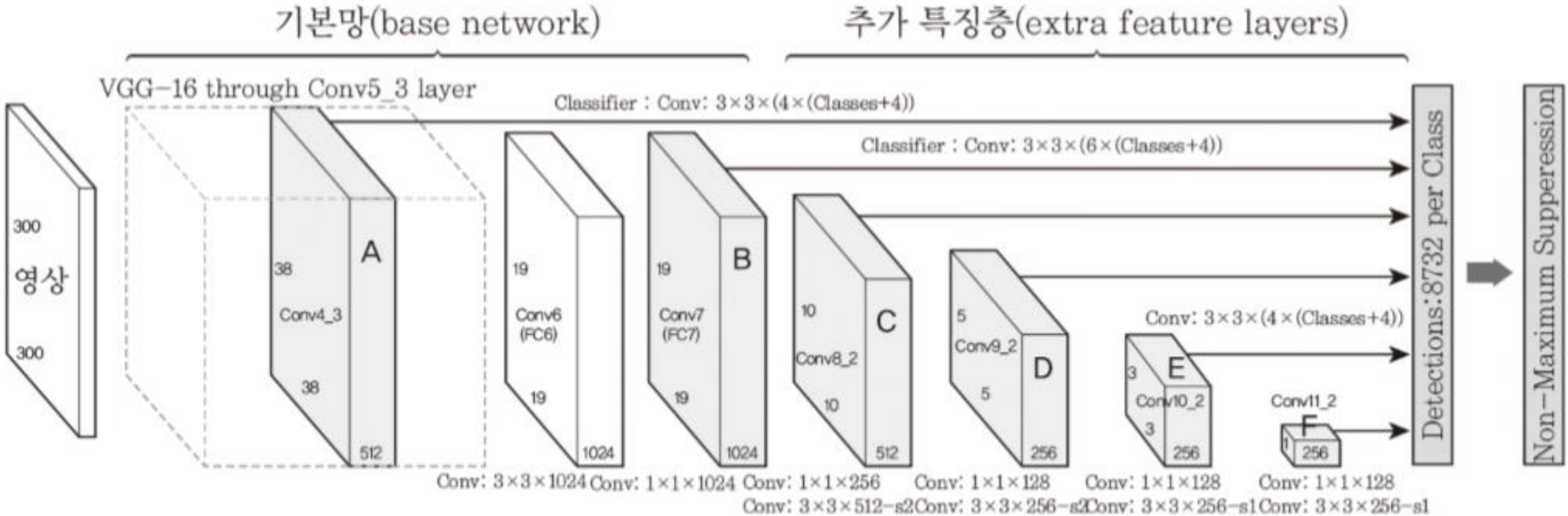
**yolov3**

# SSD 모델

- 각 영상에 해서 고정된 크기의 테두리 상자들을 지정하여 객체에 대응하는 테두리 상자와 해당 상자에서 객체의 부류를 잘 찾을 수 있도록 학습
- 실시간 객체 위치 식별 및 인식

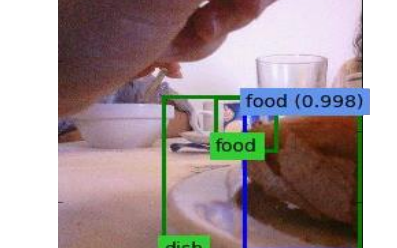
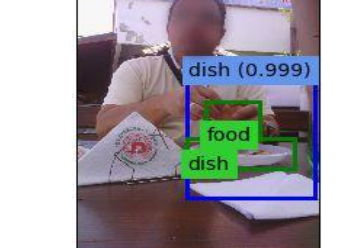
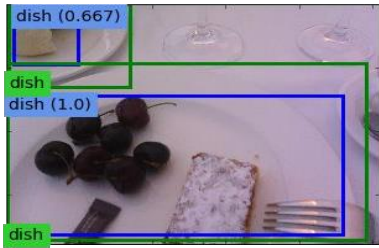
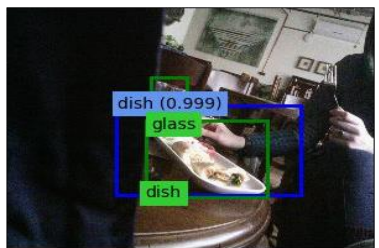
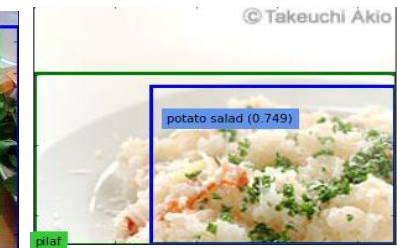
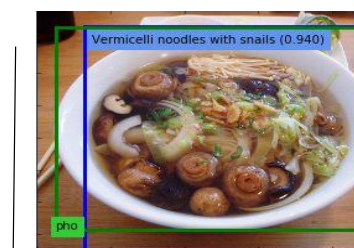
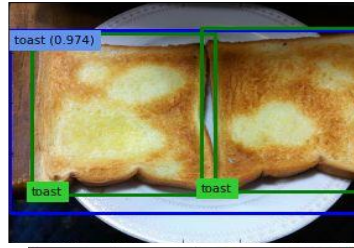
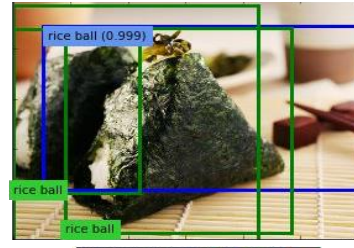
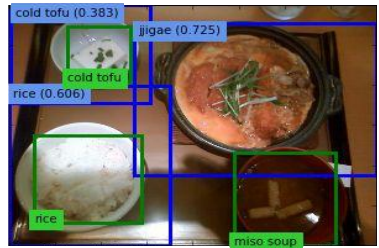
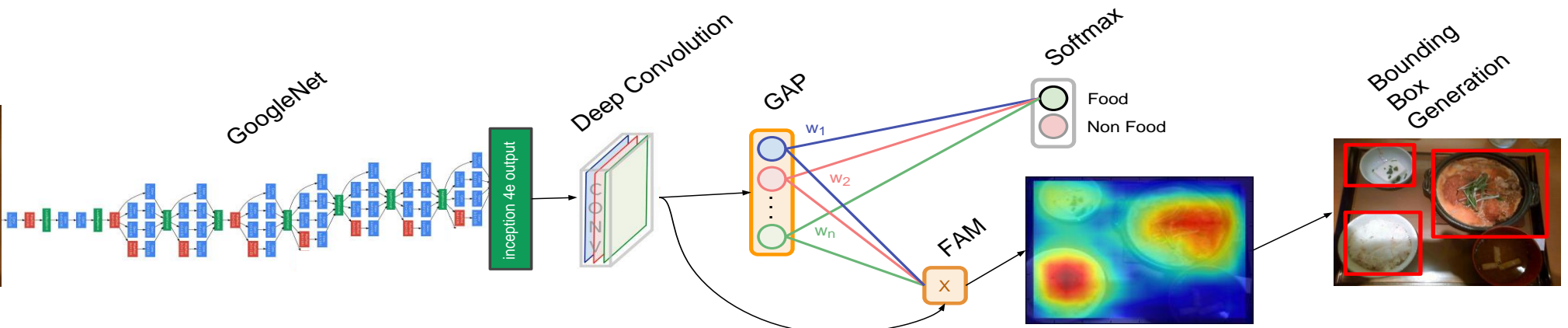


# SSD 모델의 구조



# Food Localization

Marc Bolaños, Petia Radeva, Simultaneous Food Localization and Recognition, <https://arxiv.org/abs/1604.07953>



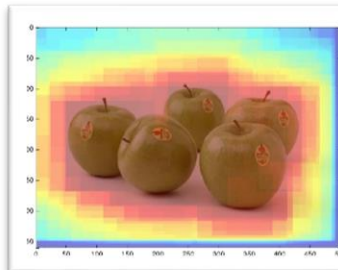
© Takeuchi Akio

# Food Recognition

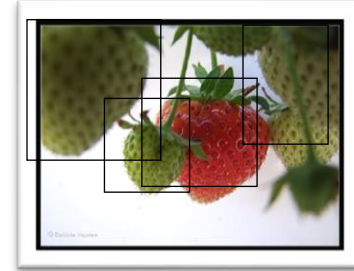
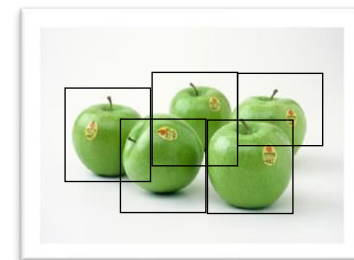
[Marc Bolaños](#), [Petia Radeva](#), Simultaneous Food Localization and Recognition, <https://arxiv.org/abs/1604.07953>



Image Input



Foodness Map Extraction



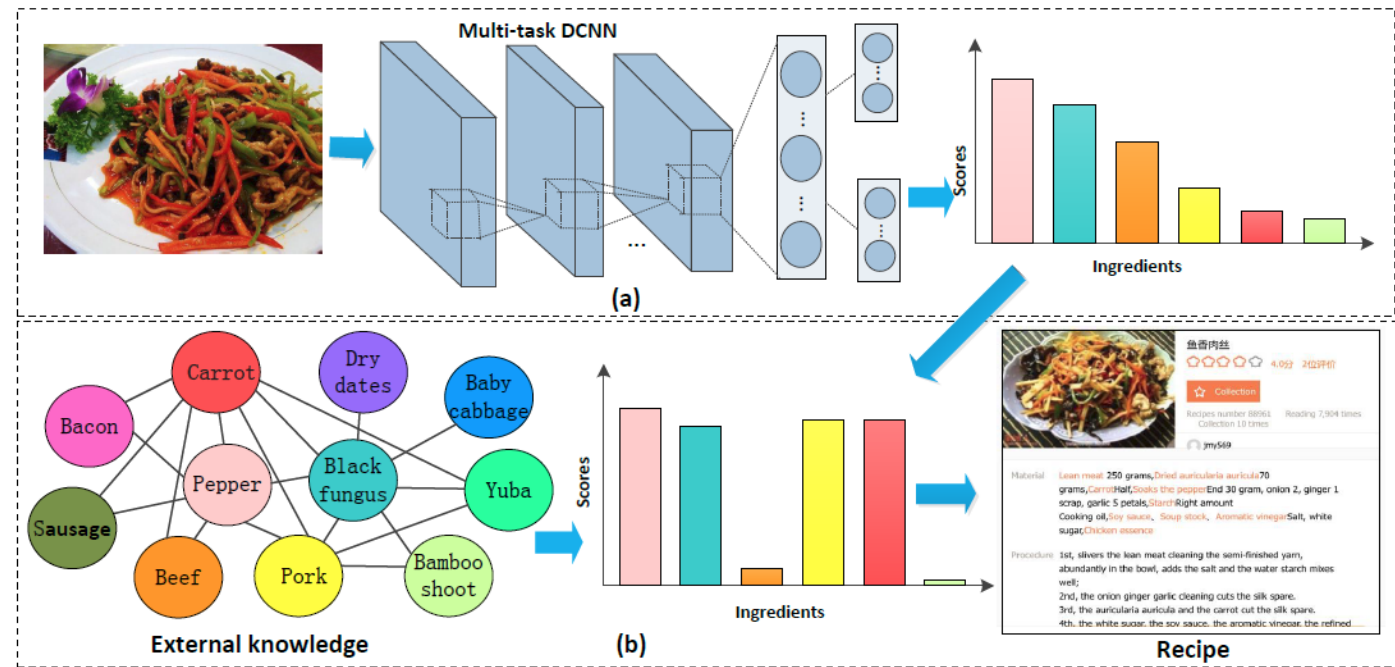
Food Type Recognition



Apple

Strawberry

# Cooking Recipe Retrieval



	Egg	0.99		Sea cucumber	0.94		Thymus vulgaris	0.97		fern root noodles	0.99		Lotus root	0.90		Intestines	0.92
	Chives	0.72		Green onion	0.91		Beef	0.70		Fresh pepper	0.99		Spareribs	0.79		Parsley	0.49
	Fresh pepper	-		Black fungus	-		Pork	-		soybean	!		Green onion	!		Thymus vulgaris	0.51

**(a) Fried egg**    **(b) Braised sea cucumber with scallion**    **(c) Beef seasoned with soy sauce**    **(d) Hot and sour fern root noodles**    **(e) Pork ribs & lotus root soup**    **(f) Braised intestines in brown source**

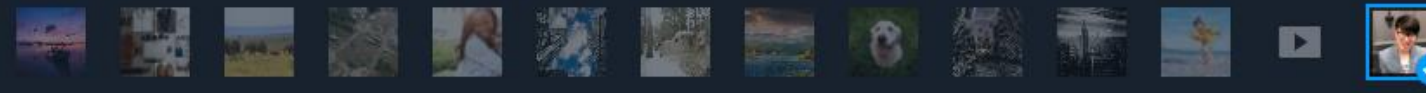
Deep-based Ingredient Recognition for Cooking Recipe Retrieval, [http://vireo.cs.cityu.edu.hk/papers/jjchen\\_mm16\\_cr.pdf](http://vireo.cs.cityu.edu.hk/papers/jjchen_mm16_cr.pdf)

# DeepGlint Haomu Behavior Analysis System

DEEPCGLINT  
格 灵 深 瞳

# 사진 및 영상 분석

<https://www.clarifai.com/models/general-image-recognition-model-aaa03c23b3724a16a56b629203edc62c>



## General

### LANGUAGE

Korean (ko)

### PREDICTED CONCEPT

### PROBABILITY

안경 0.997

안경 0.996

초상화 0.990

사람들 0.987

하나 0.974

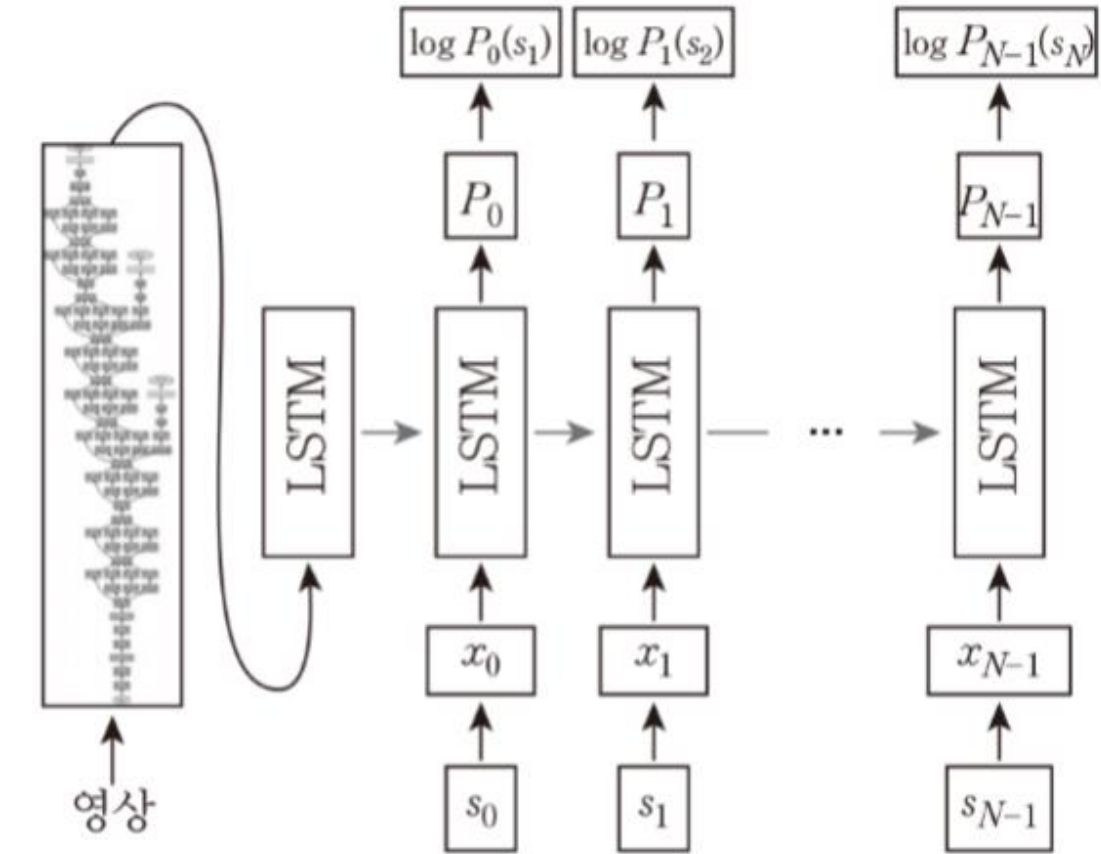
남성 0.965



TRY YOUR OWN IMAGE OR VIDEO

# 영상 주석달기

- 영상이 주어지면 영상의 내용을 묘사하는 문장을 만들어 내는 것
- 입력 영상에 대해 CNN을 적용하여 **맥락 정보**를 추출하고, 이를 초기 정보로 사용하여 LSTM 재귀 신경망이 문장 생성



# 영상 주석달기



"man in black shirt is playing guitar."



"construction worker in orange safety vest is working on road."



"two young girls are playing with lego toy."



"boy is doing backflip on wakeboard."



"girl in pink dress is jumping in air."



"black and white dog jumps over bar."



"young girl in pink shirt is swinging on swing."



"man in blue wetsuit is surfing on wave."

Deep Visual-Semantic Alignments for Generating Image Descriptions, <http://cs.stanford.edu/people/karpathy/deepimagesent/>



CaptionBot

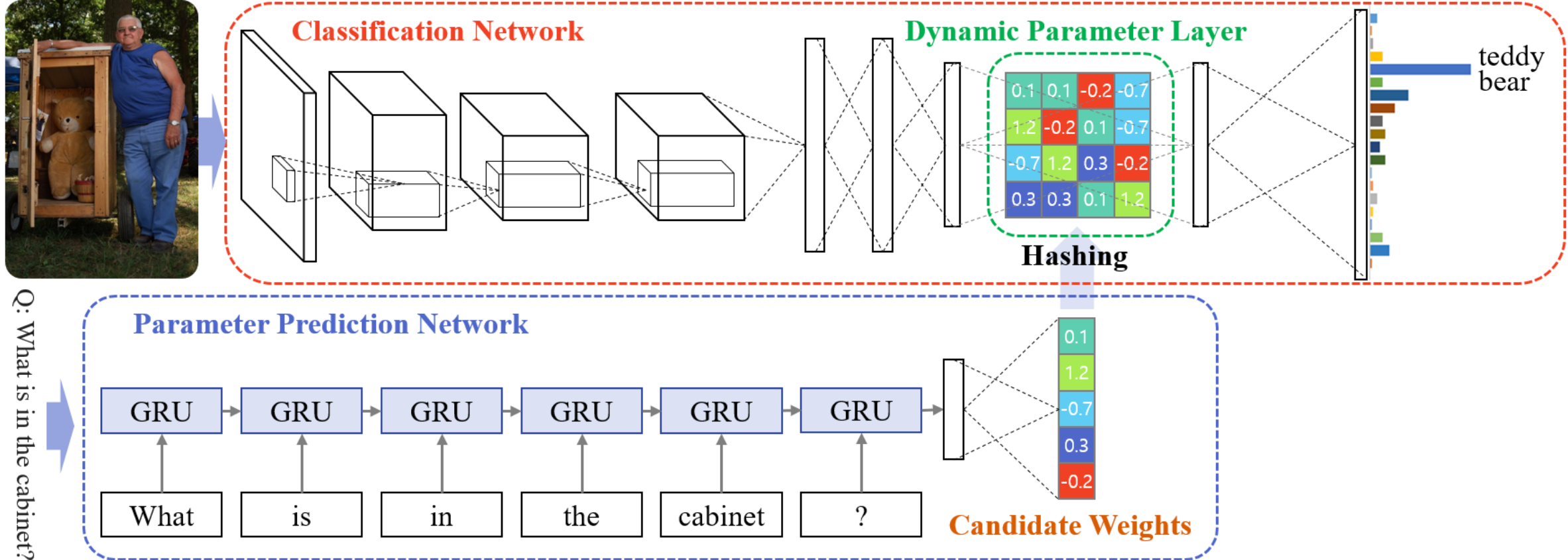


I think it's a baseball player holding a bat on a field.



# Image Question Answering

## DPPnet (Dynamic Parameter Prediction Network)



Hyeonwoo Noh, Paul Hongsuck Seo, Bohyung Han, Image Question Answering using Convolutional Neural Network with Dynamic Parameter Prediction, <https://arxiv.org/abs/1511.05756>

# Image Question Answering

Hyeonwoo Noh, Paul Hongseok Seo, Bohyung Han, Image Question Answering using Convolutional Neural Network with Dynamic Parameter Prediction,  
<https://arxiv.org/abs/1511.05756>, <http://cvlab.postech.ac.kr/research/dppnet/>

## ImageQA using DPPNet



- Q: How does the woman feel?  
DPPnet: happy
- Q: What type of hat is she wearing?  
DPPnet: cowboy

Q: What is the boy holding?



- Q: Is it raining?  
DPPnet: no
- Q: What is he holding?  
DPPnet: umbrella



- Q: What is he doing?  
DPPnet: skateboarding
- Q: Is this person dancing?  
DPPnet: no



- Q: How many cranes are in the image?  
DPPnet: 2(3)
- Q: How many people are on the bench?  
DPPnet: 2(1)



DPPnet: surfboard



DPPnet: bat



DPPnet: giraffe



DPPnet: elephant



DPPnet: living room



DPPnet: kitchen



DPPnet: resting (relaxing)



DPPnet: swimming (fishing)

# Image Question Answering



DAQUAR 1553  
What is there in front of the sofa?  
Ground truth: table  
IMG+BOW: table (0.74)  
2-VIS+BLSTM: table (0.88)  
LSTM: chair (0.47)



COCOQA 5078  
How many leftover donuts is the red bicycle holding?  
Ground truth: three  
IMG+BOW: two (0.51)  
2-VIS+BLSTM: three (0.27)  
BOW: one (0.29)



COCOQA 1238  
What is the color of the tee-shirt?  
Ground truth: blue  
IMG+BOW: blue (0.31)  
2-VIS+BLSTM: orange (0.43)  
BOW: green (0.38)



COCOQA 26088  
Where is the gray cat sitting?  
Ground truth: window  
IMG+BOW: window (0.78)  
2-VIS+BLSTM: window (0.68)  
BOW: suitcase (0.31)



COCOQA 33827  
What is the color of the cat?  
Ground truth: black  
IMG+BOW: black (0.55)  
2-VIS+LSTM: black (0.73)  
BOW: gray (0.40)



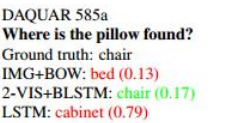
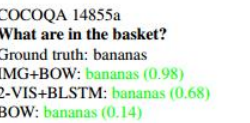
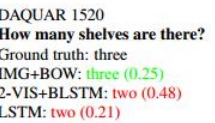
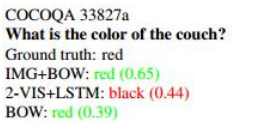
DAQUAR 1522  
How many chairs are there?  
Ground truth: two  
IMG+BOW: four (0.24)  
2-VIS+LSTM: one (0.29)  
LSTM: four (0.19)



COCOQA 14855  
Where are the ripe bananas sitting?  
Ground truth: basket  
IMG+BOW: basket (0.97)  
2-VIS+BLSTM: basket (0.58)  
BOW: bowl (0.48)



DAQUAR 585  
What is the object on the chair?  
Ground truth: pillow  
IMG+BOW: clothes (0.37)  
2-VIS+BLSTM: pillow (0.65)  
LSTM: clothes (0.40)



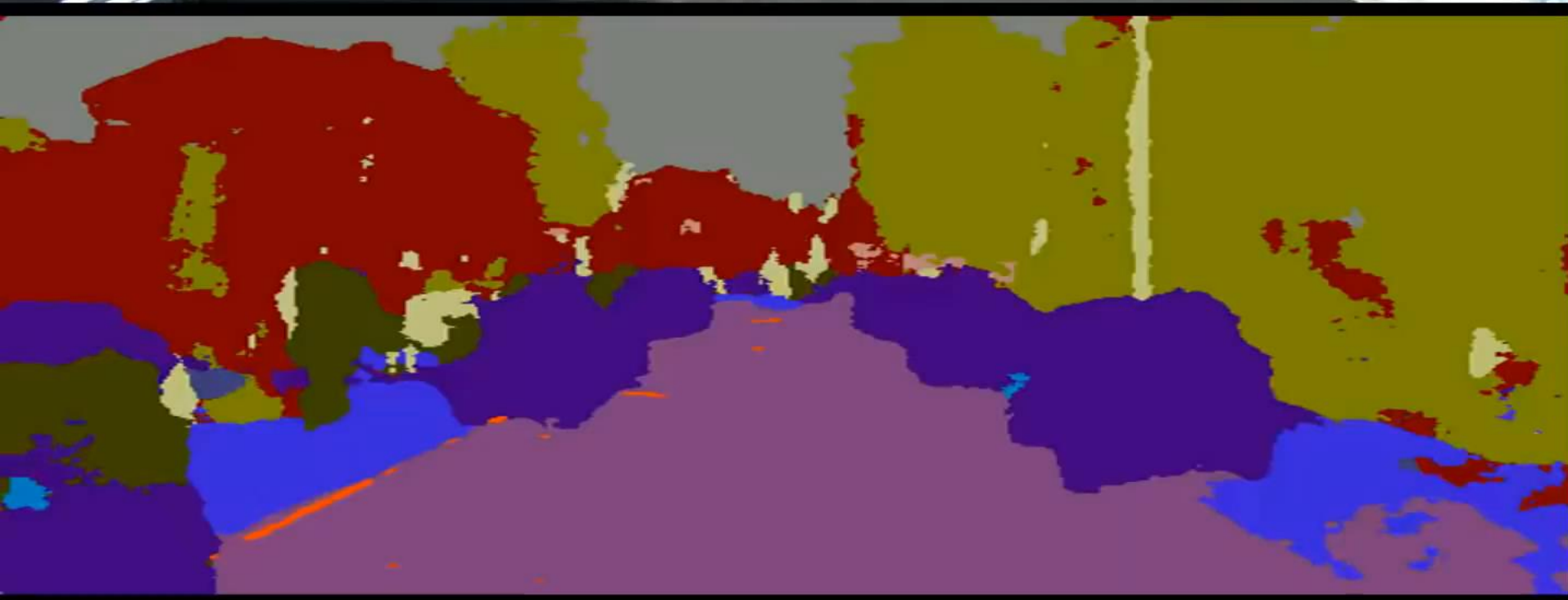
Question

Exploring Models and Data for Image Question Answering,

<https://arxiv.org/abs/1505.02074>

Dataset: <http://www.cs.Toronto.edu/~mren/imageqa/data/cocoqa/>





- Sky
- Building
- Pole
- Road Marking
- Road
- Pavement
- Tree
- Sign Symbol
- Fence
- Vehicle
- Pedestrian
- Bike

# Pyramid Scene Parsing Network

CVPR 2017

Hengshuang Zhao<sup>1</sup> Jianping Shi<sup>2</sup> Xiaojuan Qi<sup>1</sup> Xiaogang Wang<sup>1</sup> Jiaya Jia<sup>1</sup>

<sup>1</sup>The Chinese University of Hong Kong <sup>2</sup>SenseTime Group Limited

# High-Resolution Image Synthesis and Semantic Manipulation with Conditional GANs

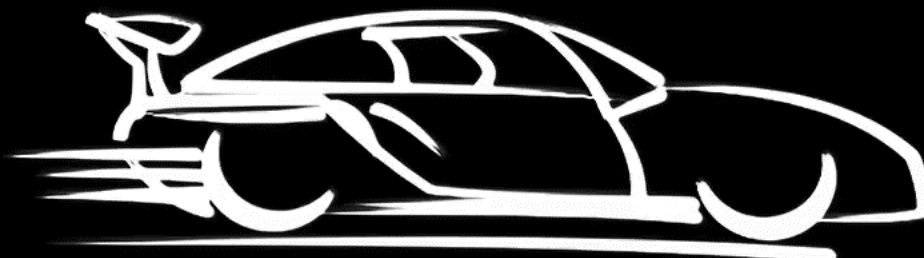
Ting-Chun Wang<sup>1</sup>, Ming-Yu Liu<sup>1</sup>, Jun-Yan Zhu<sup>2</sup>, Andrew Tao<sup>1</sup>,  
Jan Kautz<sup>1</sup>, Bryan Catanzaro<sup>1</sup>

<sup>1</sup>NVIDIA Corporation    <sup>2</sup>University of California, Berkeley





*Ma9mwah*



*Cars*



Fine-tune your information to find out how much you could save.

YOUR AVERAGE MONTHLY ELECTRIC BILL



We use your bill to estimate how much electricity you use based on typical utility rates in your area.

\$90

YOUR RECOMMENDED SOLAR INSTALLATION SIZE



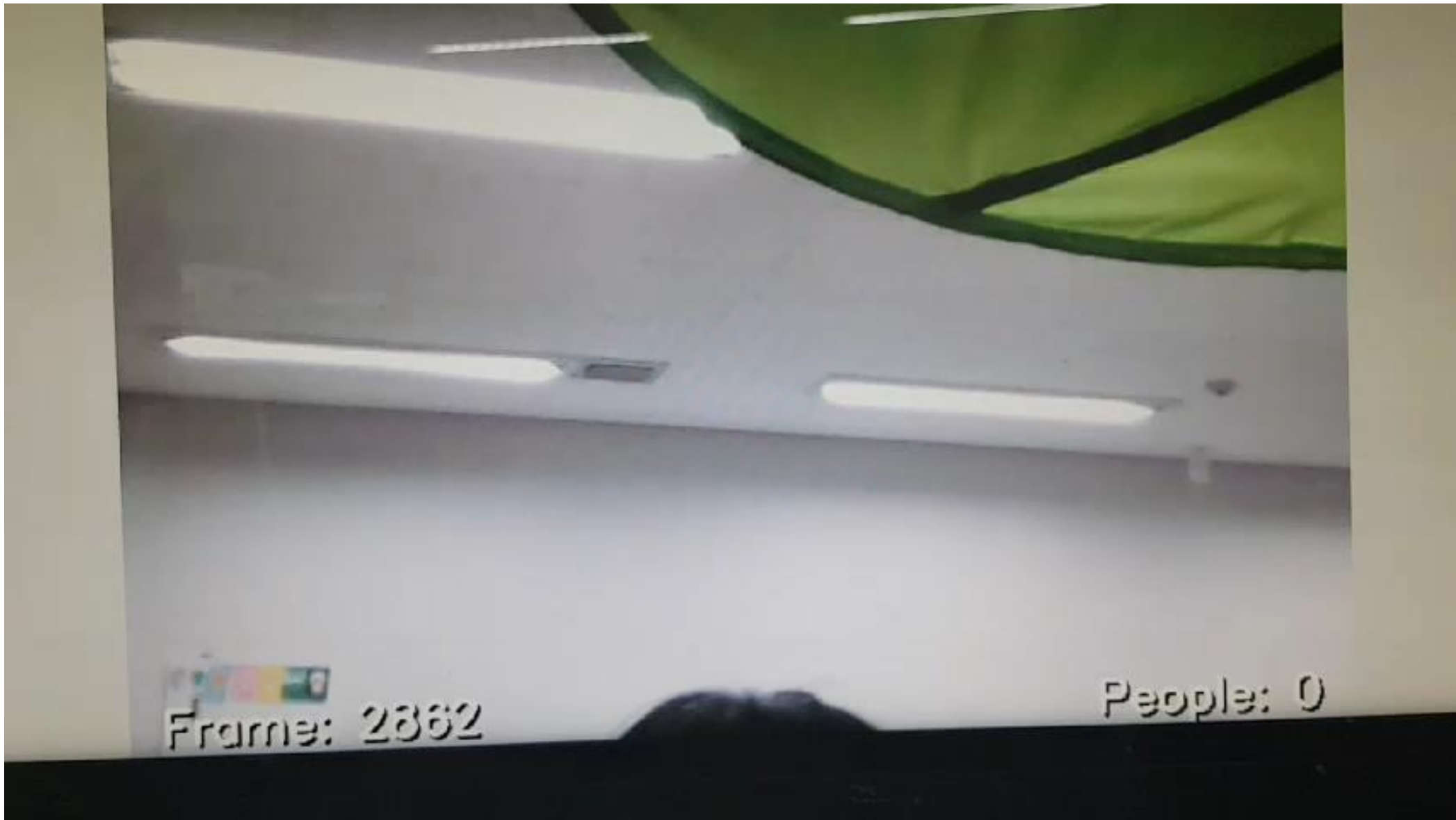
This size will cover about 97% of your electricity usage.  
Solar installations are sized in kilowatts (kW).

3.3 kW  
(229 ft<sup>2</sup>)

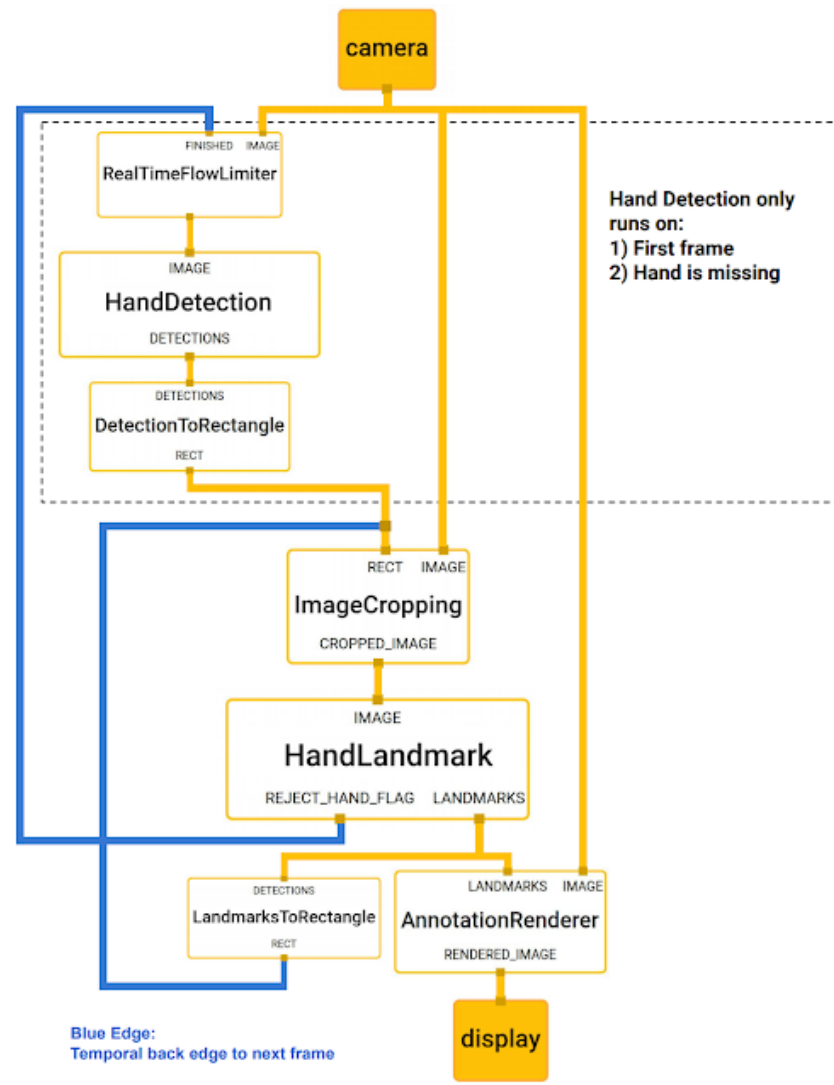
# **Real-time Multi-Person 2D Pose Estimation Using Part Affinity Fields**

Zhe Cao, Tomas Simon, Shih-En Wei, Yaser Sheikh  
Carnegie Mellon University

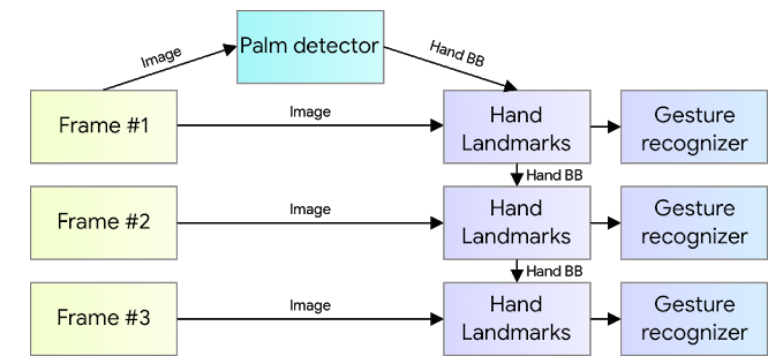
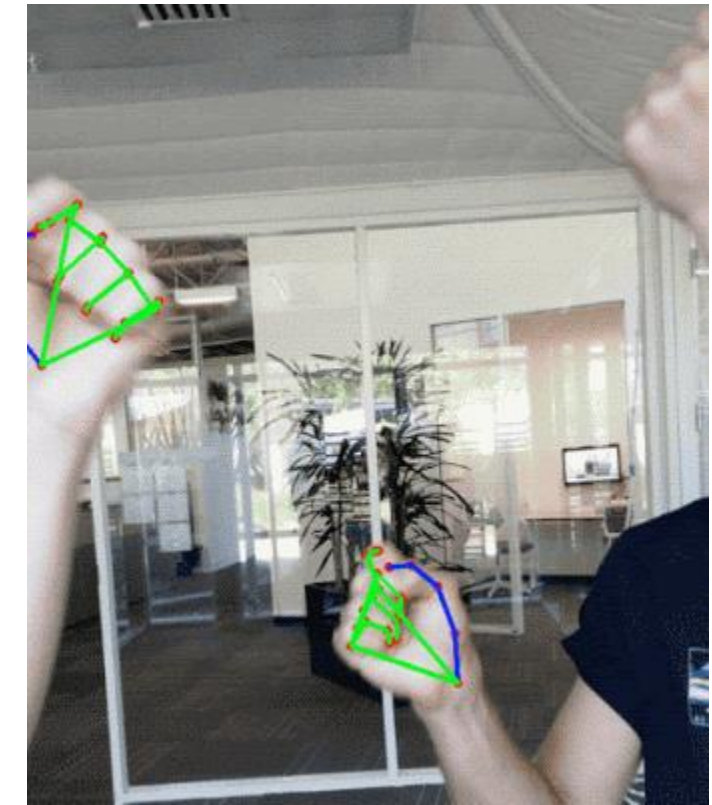
# OpenPose + Face + Hand



# Real-Time Hand Tracking



<https://ai.googleblog.com/2019/08/on-device-real-time-hand-tracking-with.html>







# Keep it SMPL: Automatic Estimation of 3D Human Pose and Shape from a Single Image

MAX-PLANCK-GESELLSCHAFT



Microsoft



Federica Bogo\*

Angjoo Kanazawa\*

Christoph Lassner

Peter Gehler

Javier Romero

Michael J. Black

\* Equal contribution

All the work was performed at MPI

# SFV: Reinforcement Learning of Physical Skills from Videos

(with audio)

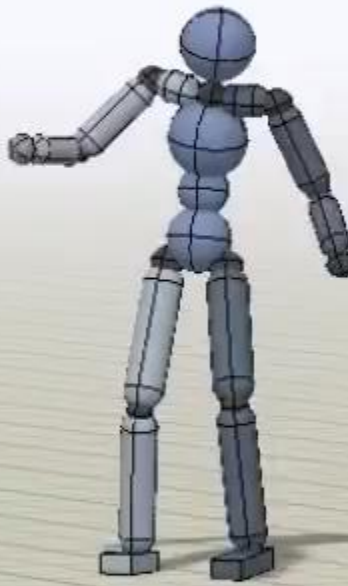


Xue Bin Peng, Angjoo Kanazawa, Jitendra Malik,  
Pieter Abbeel, Sergey Levine

UC Berkeley



# DeepMimic: Example-Guided Deep Reinforcement Learning of Physics-Based Character Skills



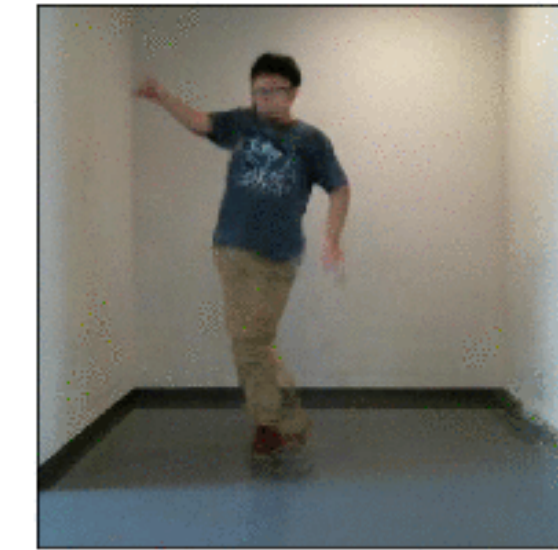
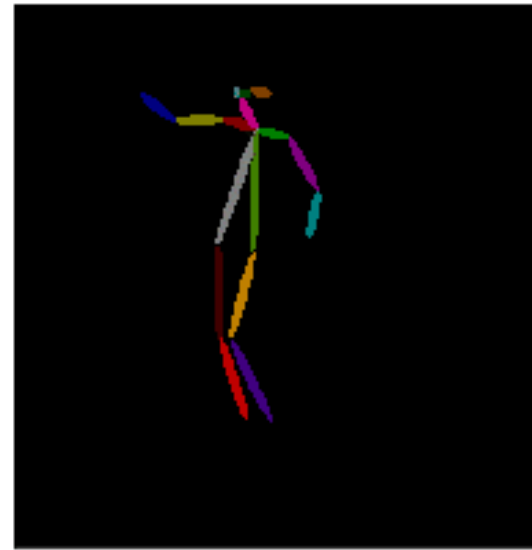
Xue Bin Peng<sup>1</sup>, Pieter Abbeel<sup>1</sup>, Sergey Levine<sup>1</sup>, Michiel van de Panne<sup>2</sup>

<sup>1</sup> University of California  
Berkeley



<sup>2</sup> University of British Columbia







# Fusion4D

## Real-time Performance Capture of Challenging Scenes

Mingsong Dou, Sameh Khamis, Yury Degtyarev, Philip Davidson\*, Sean Ryan Fanello\*,  
Adarsh Kowdle\*, Sergio Orts Ecolano\*, Christoph Rhemann\*, David Kim,  
Jonathan Taylor, Pushmeet Kohli, Vladimir Tankovich, Shahram Izadi

\*equal contribution

**MICROSOFT RESEARCH**  
contact: [shahrami@microsoft.com](mailto:shahrami@microsoft.com)

# holoportation

<http://research.microsoft.com/holoportation>

## Interactive 3D Technologies

<http://research.microsoft.com/groups/i3d>

Microsoft Research

VDSR x2  
(2400x3440)



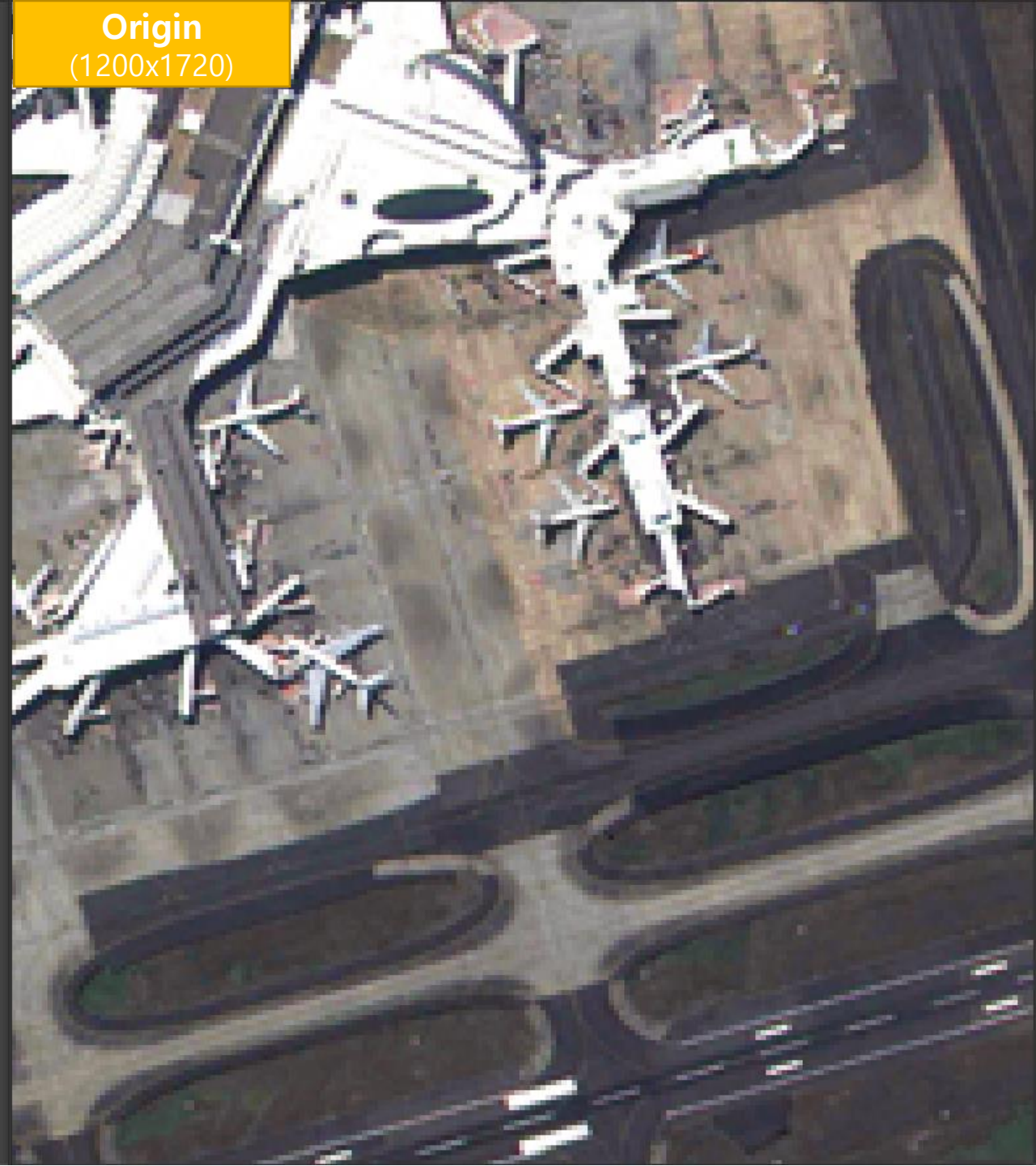
Origin  
(1200x1720)



VDSR x2  
(2400x3440)



Origin  
(1200x1720)



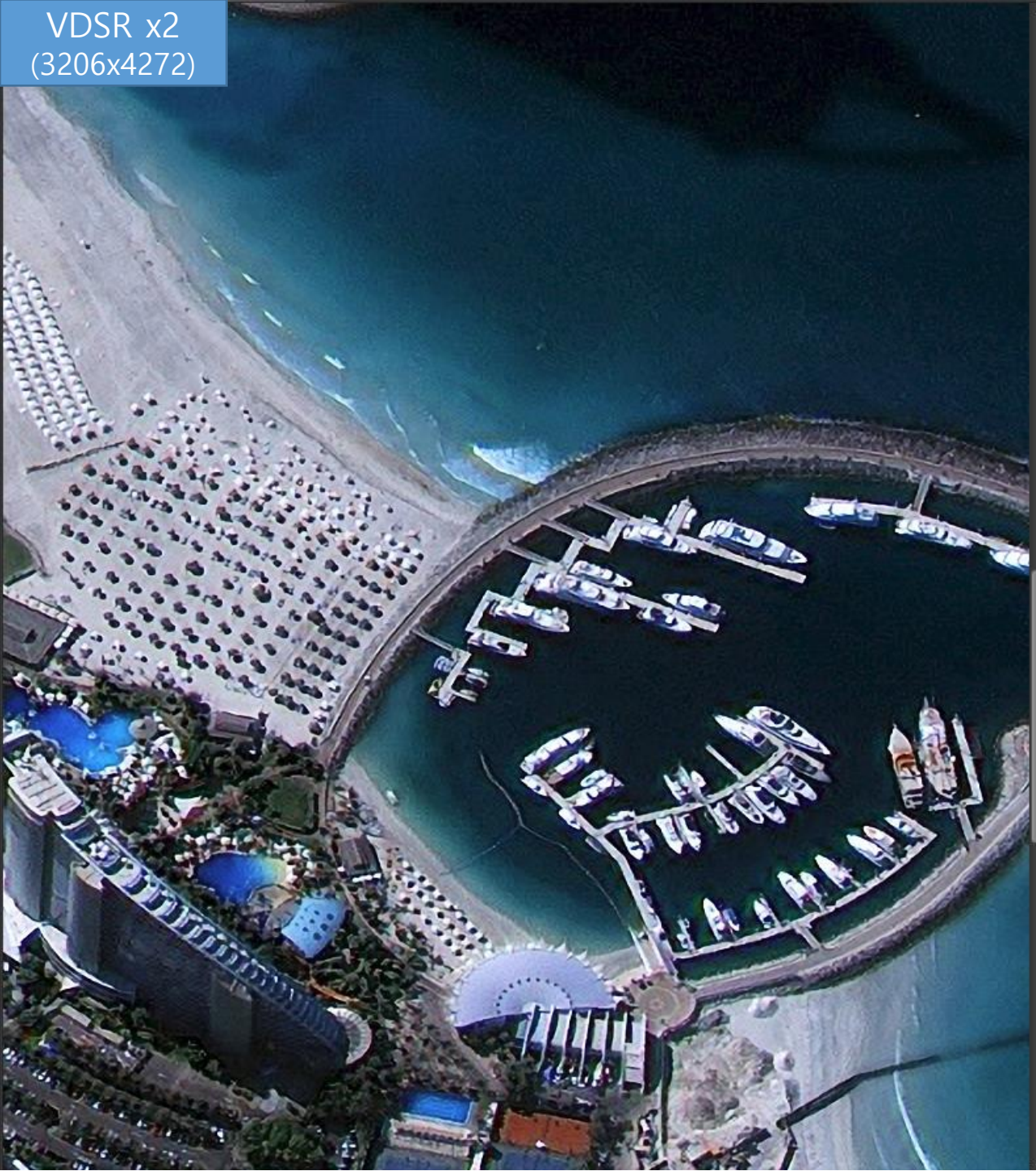
VDSR x2  
(3206x4272)



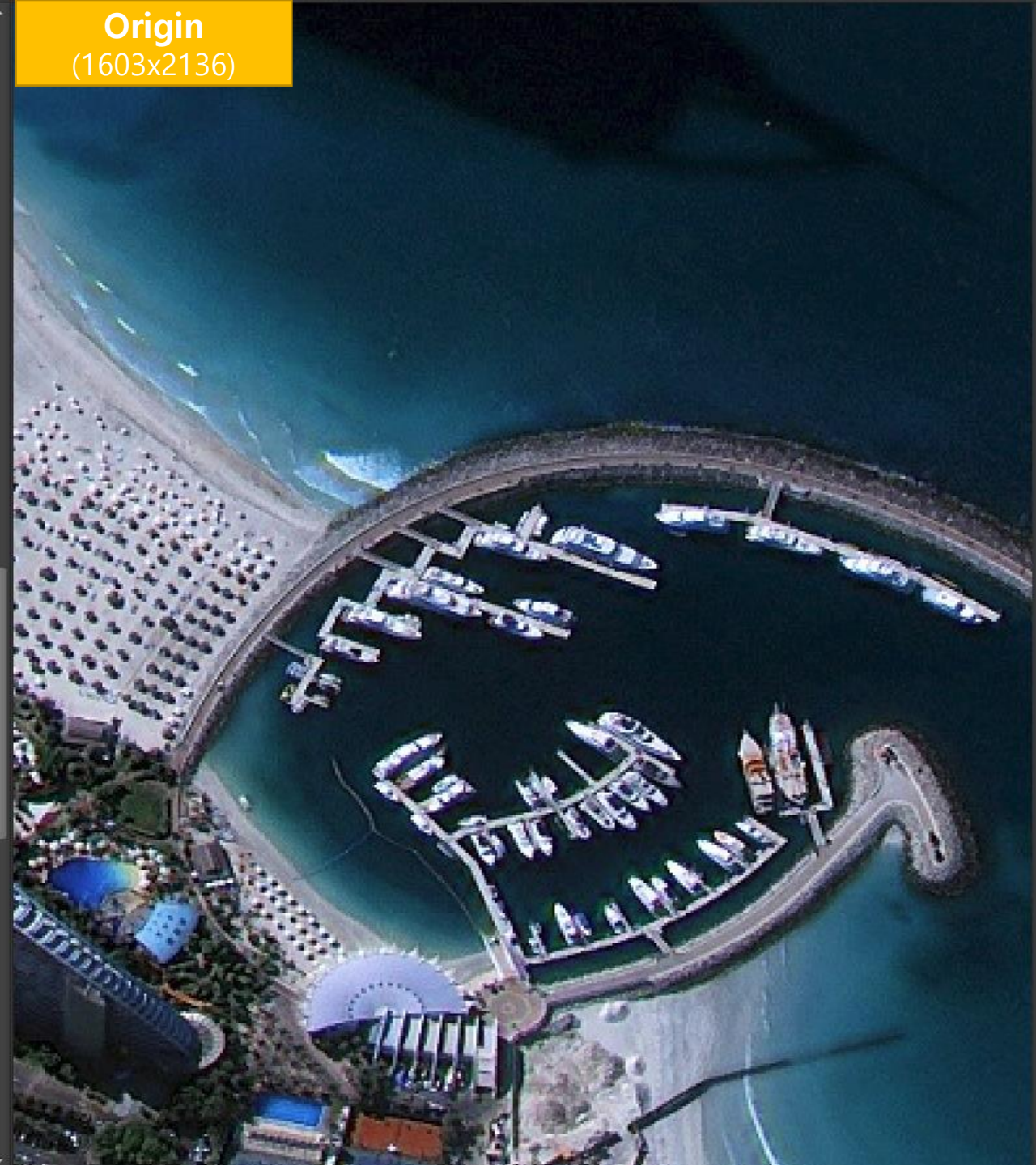
Origin  
(1603x2136)



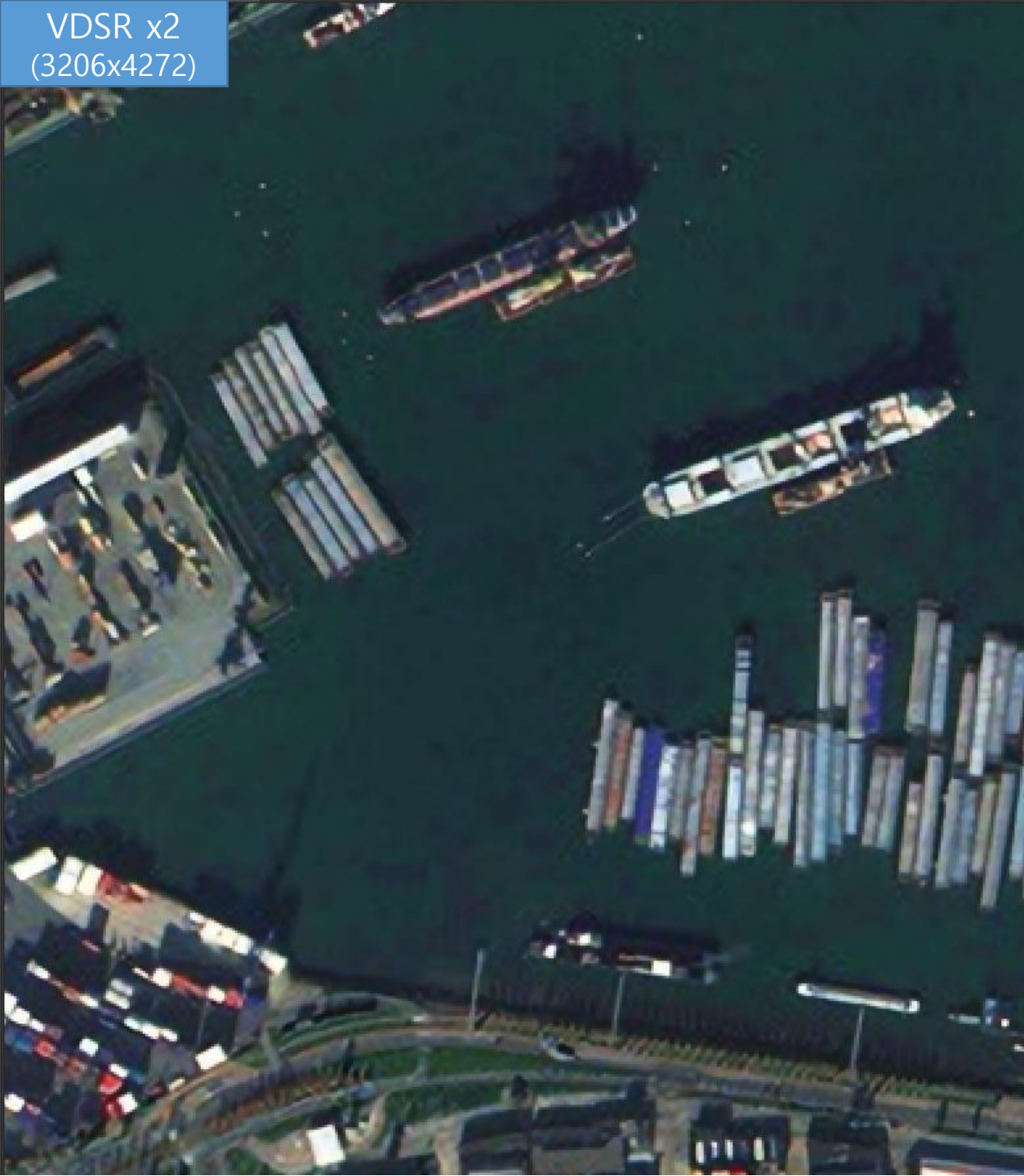
VDSR x2  
(3206x4272)



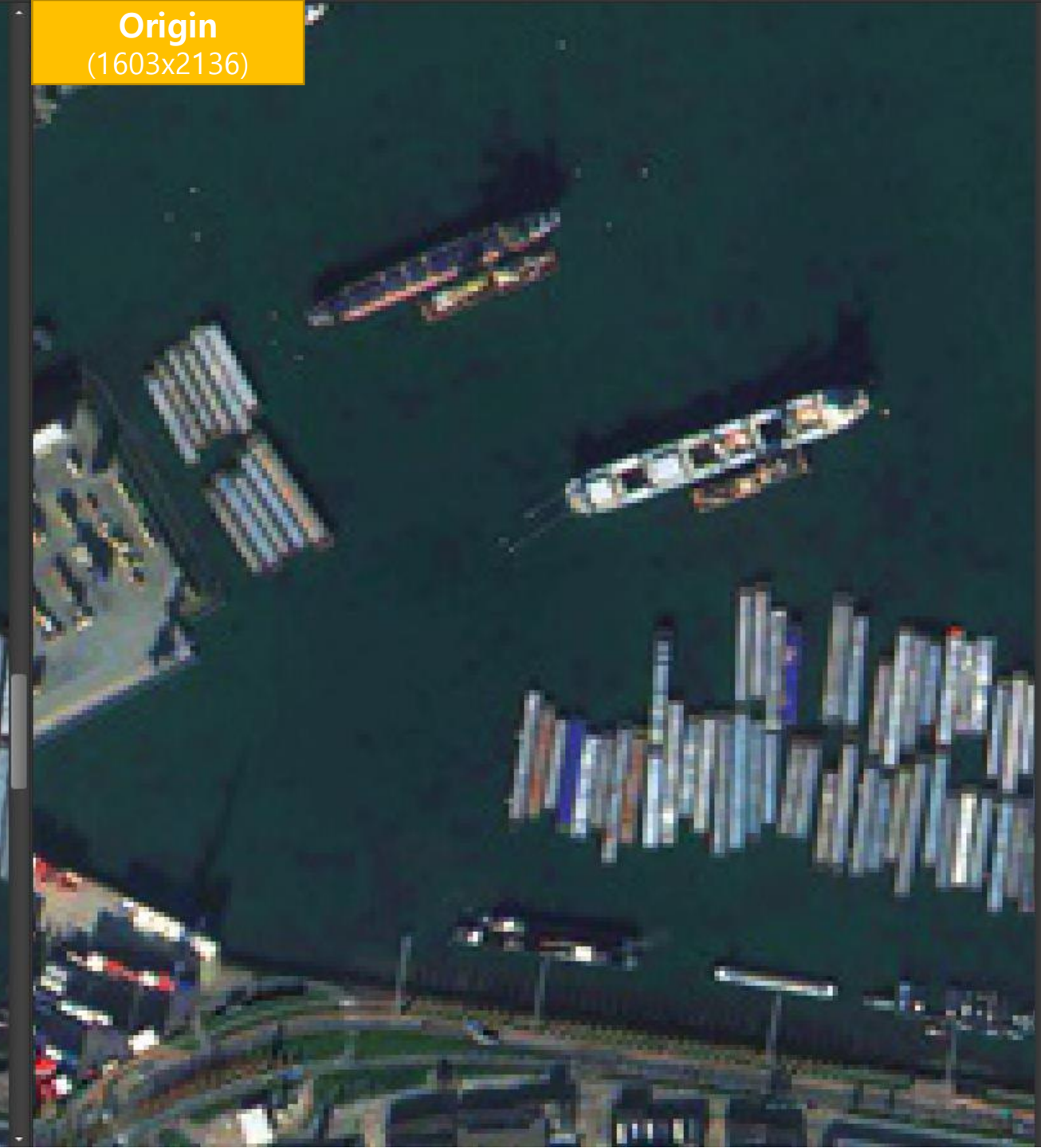
Origin  
(1603x2136)

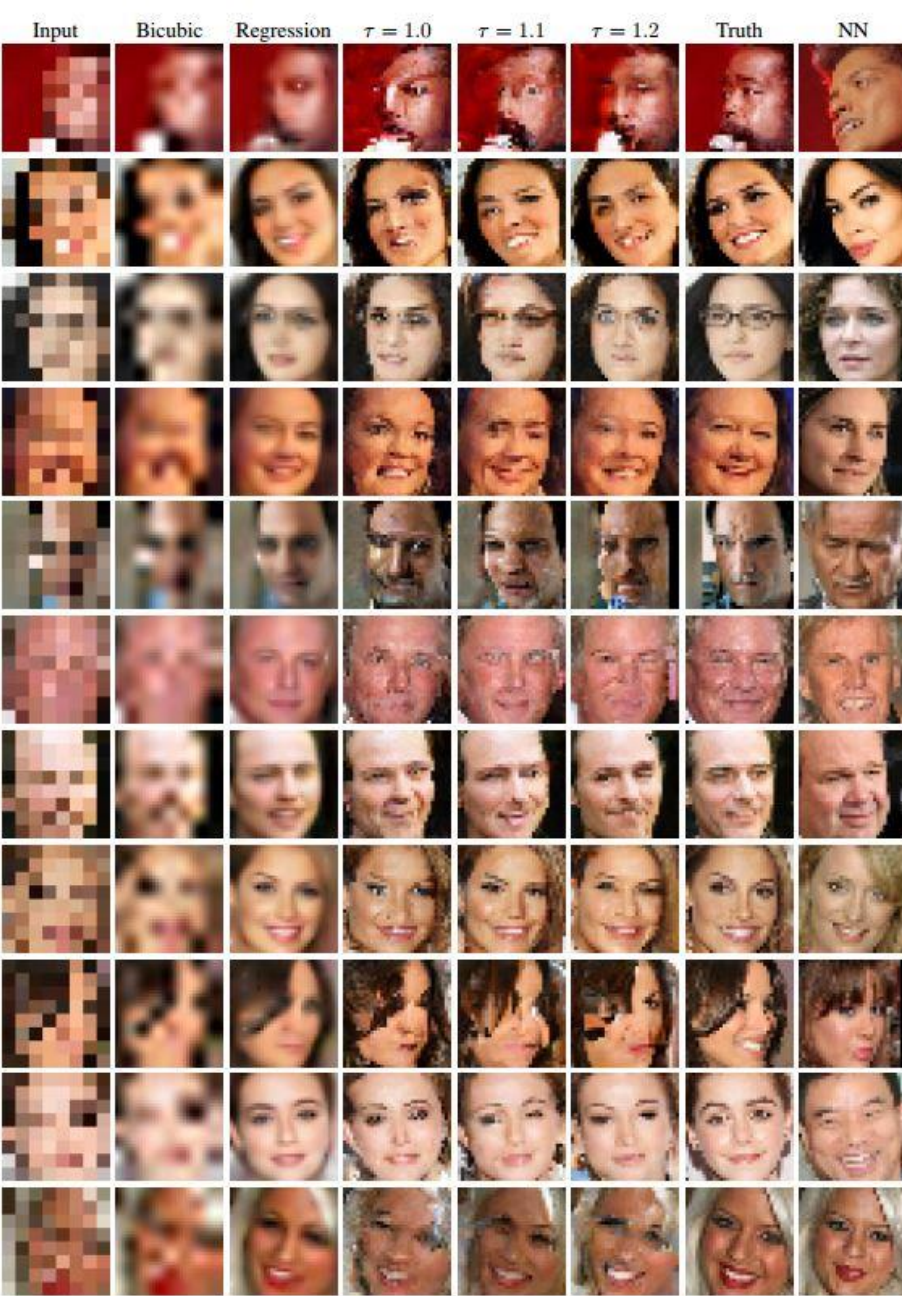
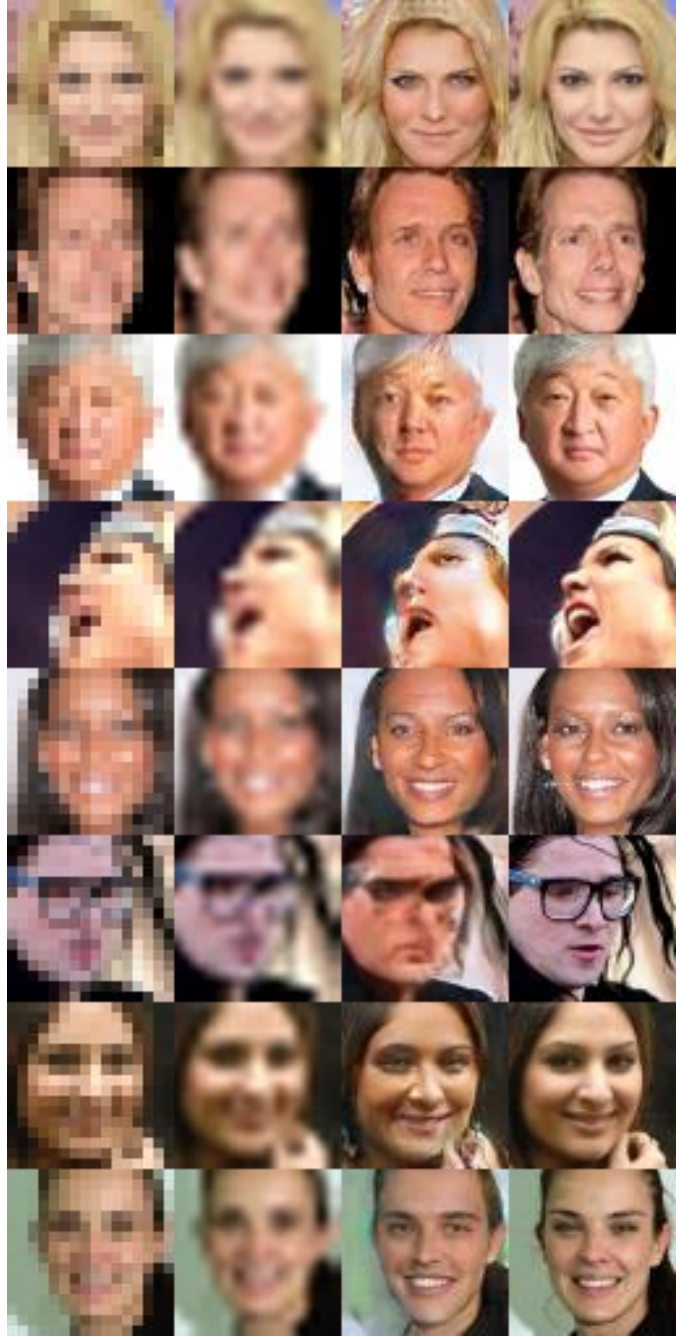


VDSR x2  
(3206x4272)

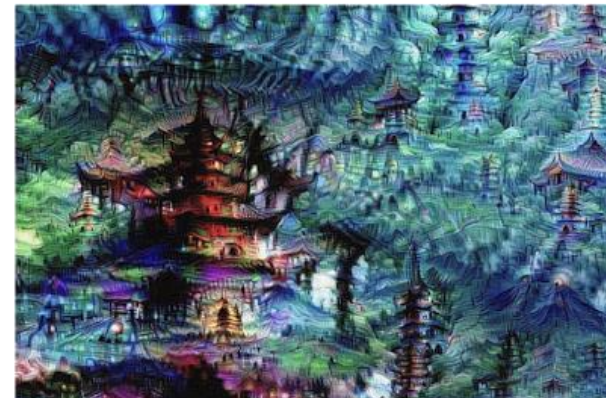
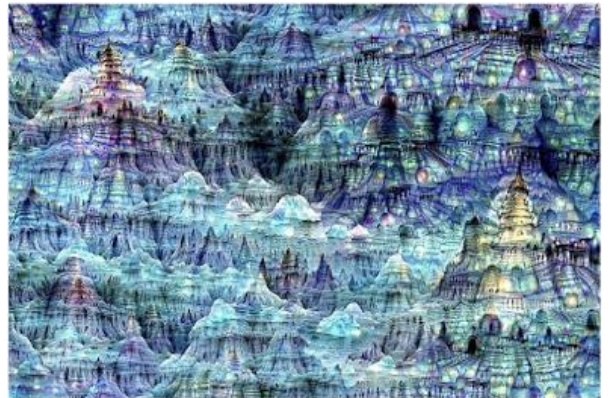
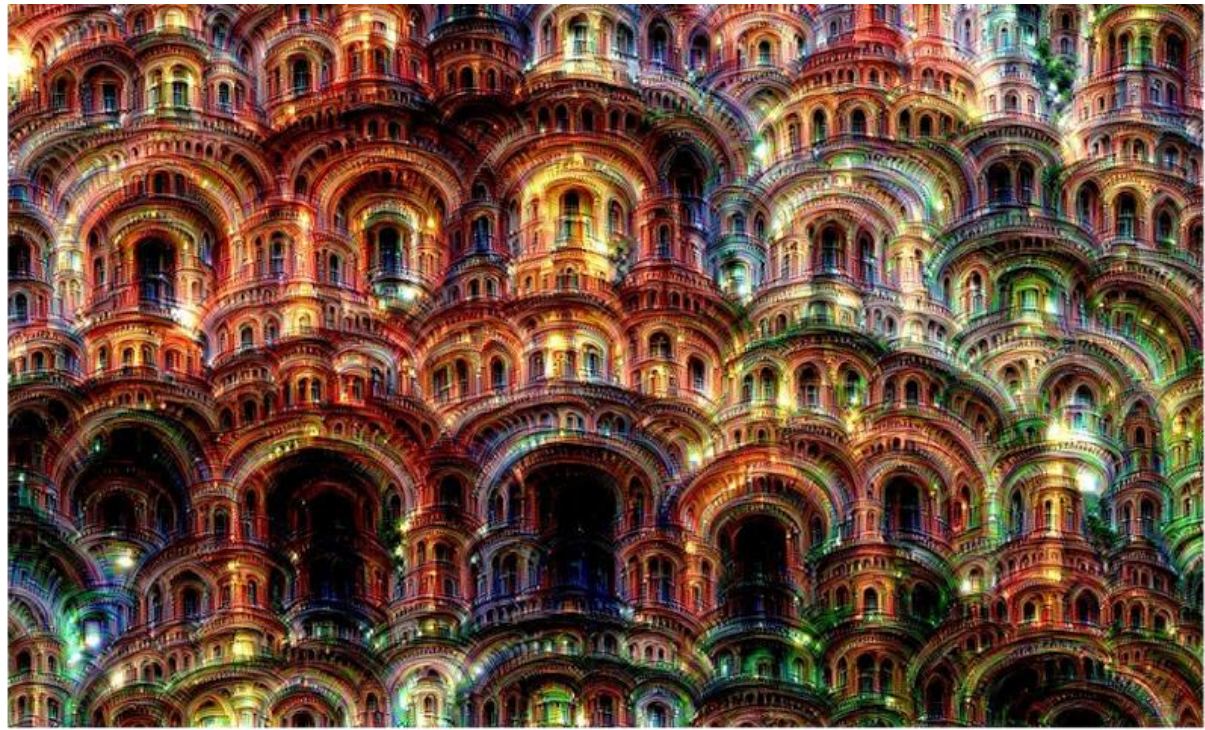
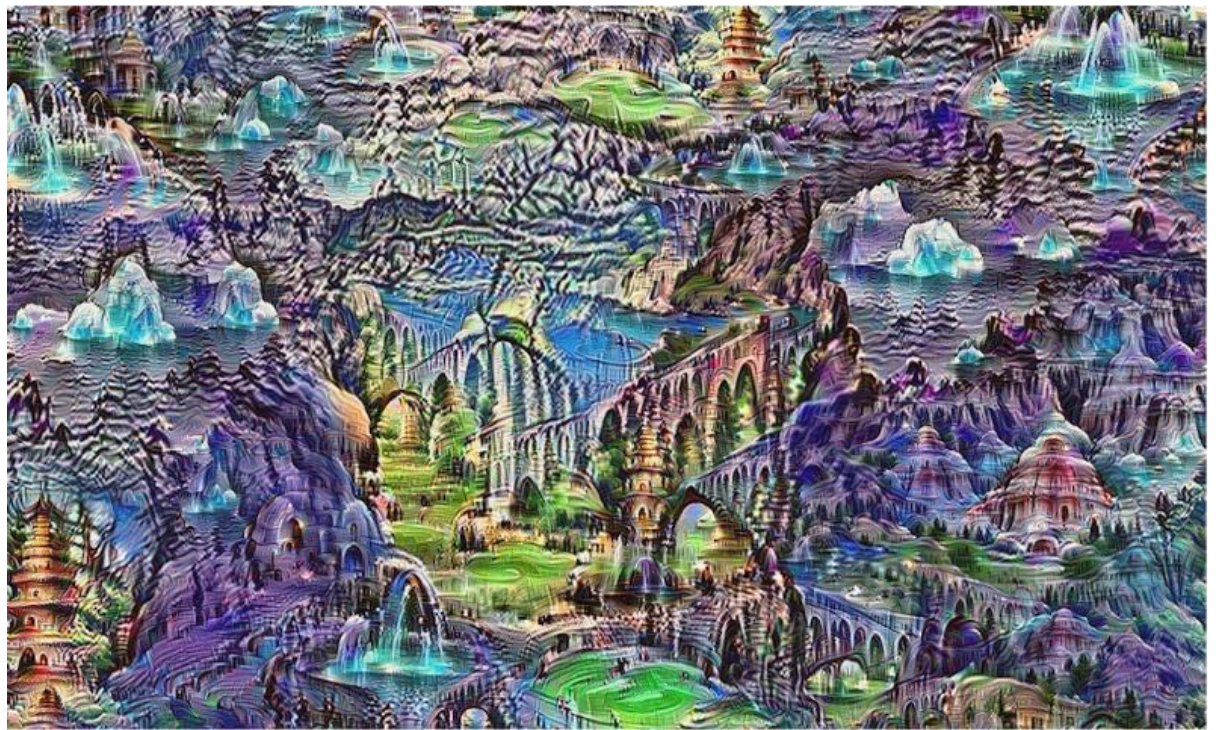


Origin  
(1603x2136)





# DeepDream





# Deep Style

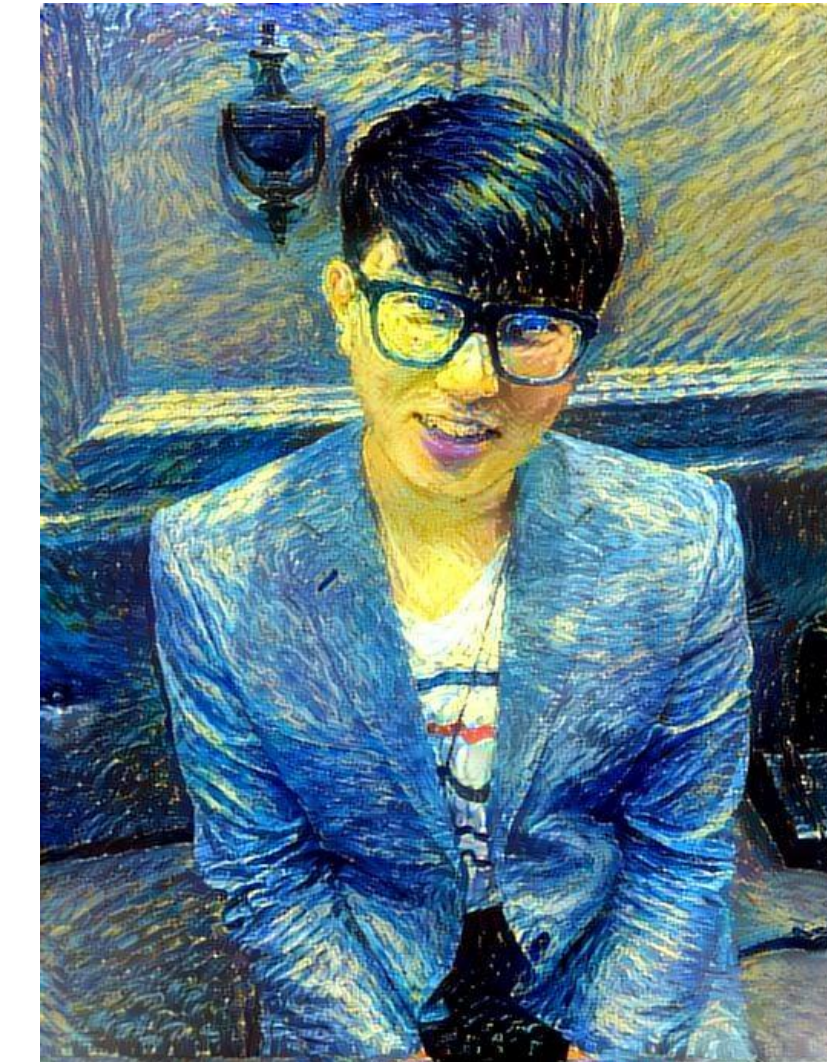
<https://deepdreamgenerator.com/generator>



Choose Style Image

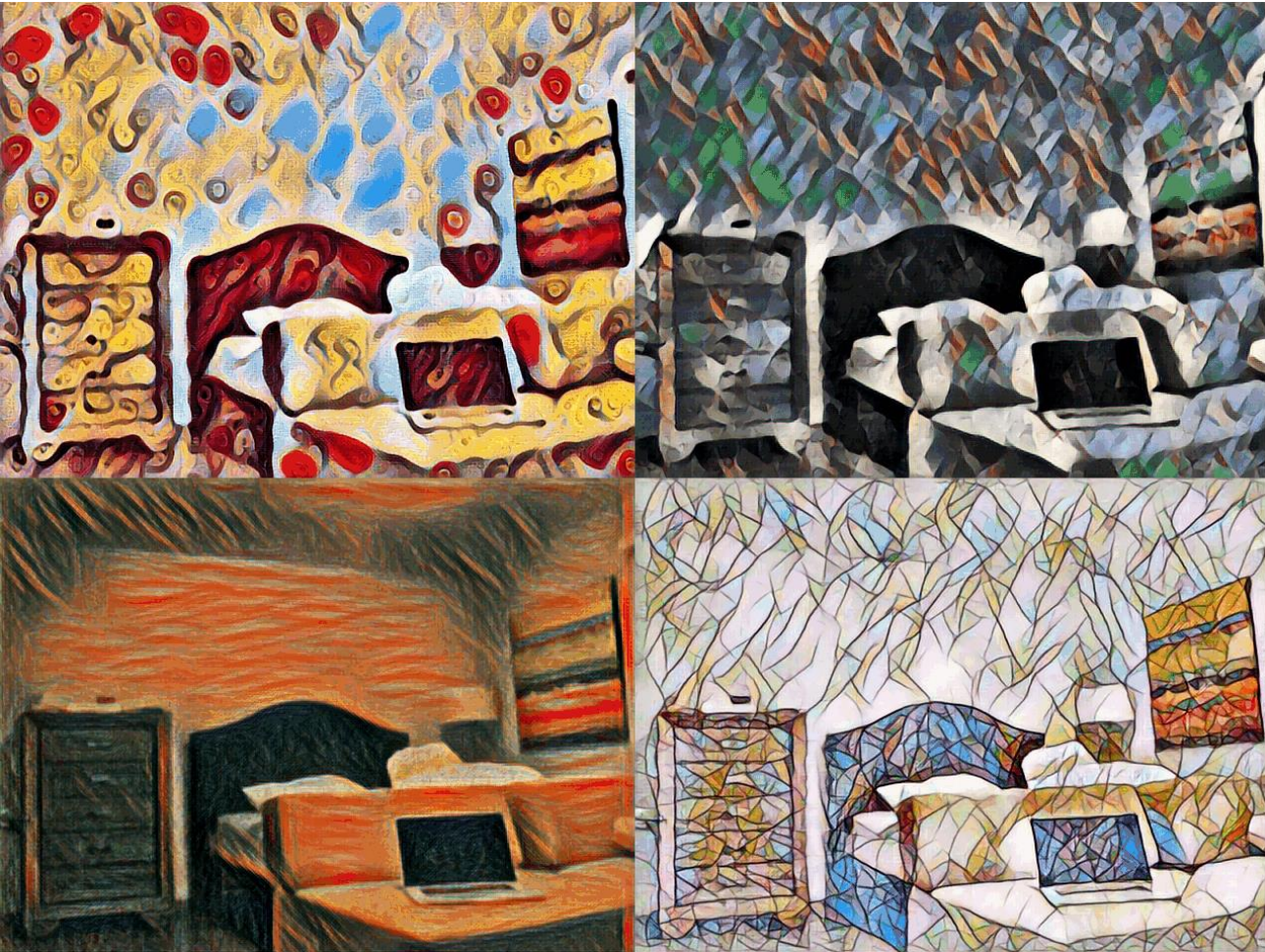
Upload

Starry Night

A grid of 16 small images showing various scenes of houses and landscapes, all styled in the iconic "Starry Night" brushwork and color palette of Vincent van Gogh.

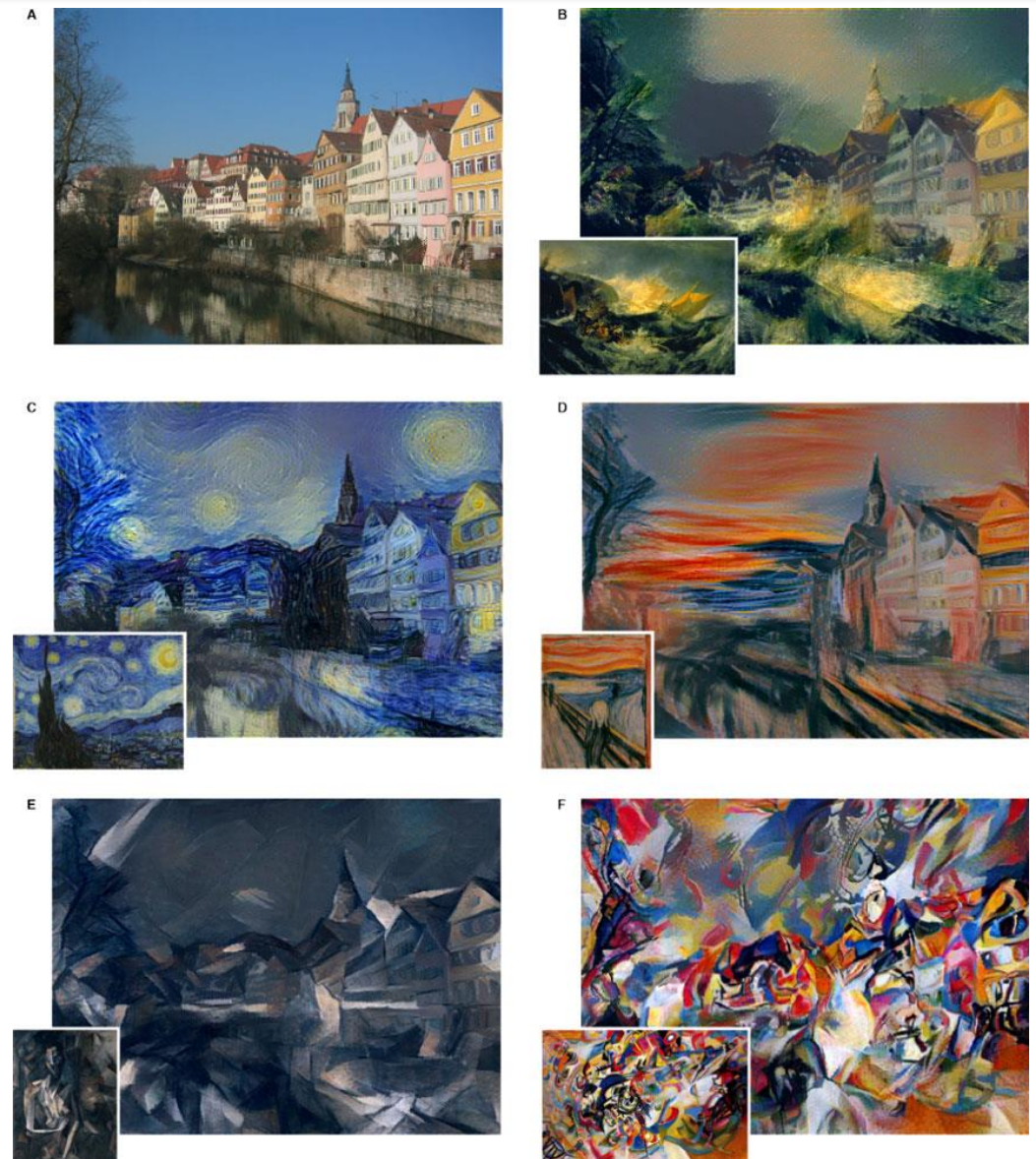
<https://deepdreamgenerator.com/>

# Artistic Style



Justin Johnson, Alexandre Alahi, Li Fei-Fei. ECCV 2016, Perceptual Losses for Real-Time Style Transfer and Super-Resolution

[Leon A. Gatys, Alexander S. Ecker, Matthias Bethge, A Neural Algorithm of Artistic Style](https://arxiv.org/abs/1508.06576), <https://arxiv.org/abs/1508.06576>



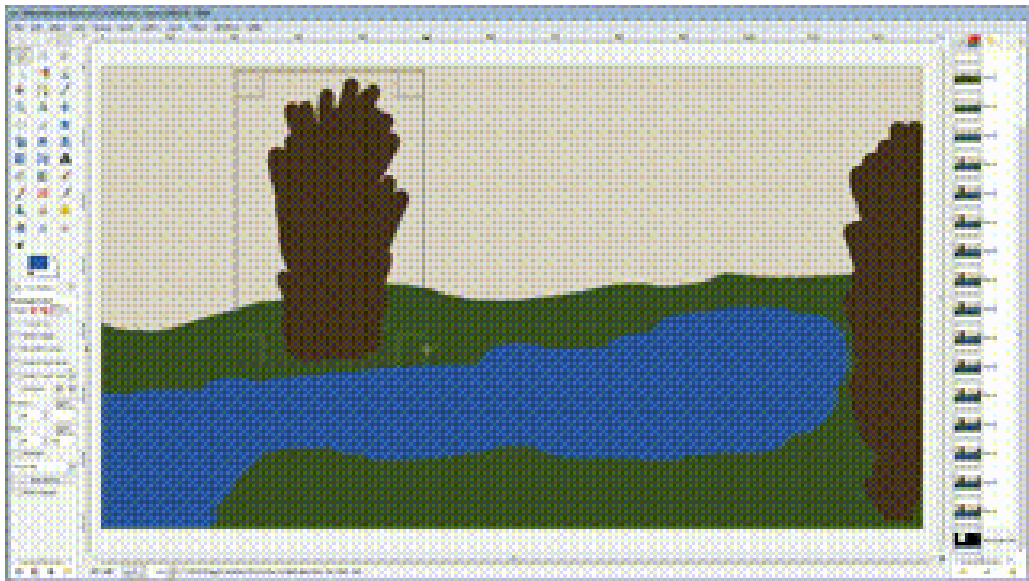


# Artistic style transfer for videos

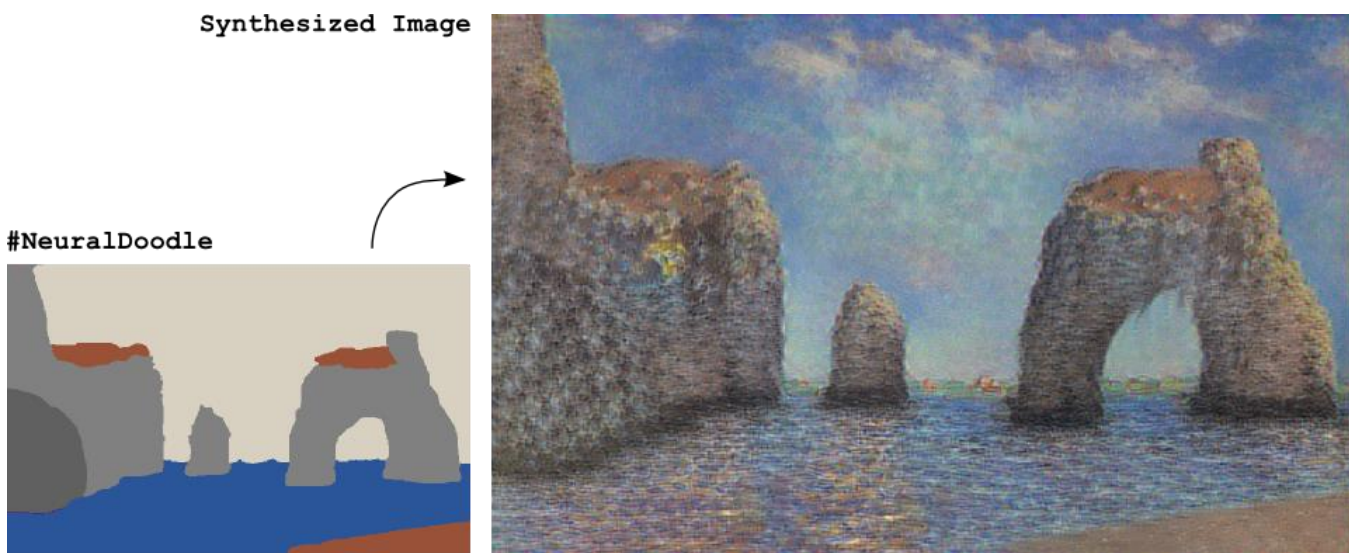
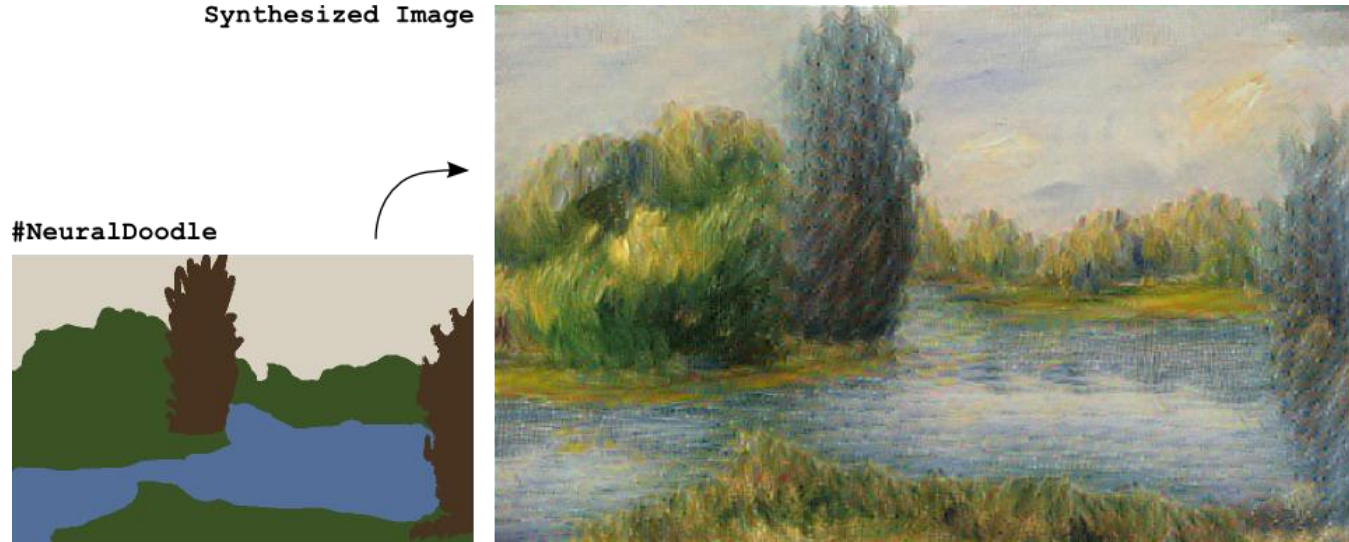
Manuel Ruder  
Alexey Dosovitskiy  
Thomas Brox

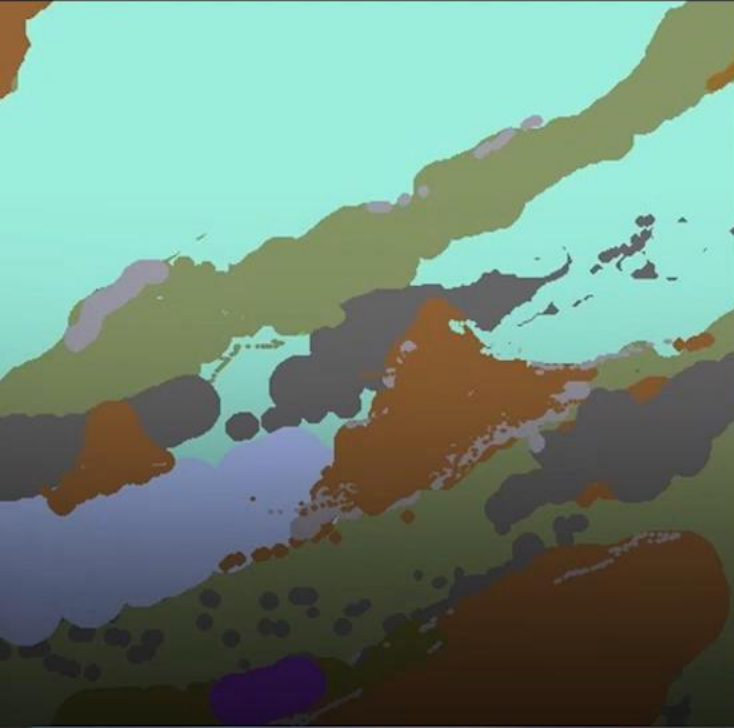
University of Freiburg  
Chair of Pattern Recognition and Image Processing

# Automatically Create Styled Image From Sketch



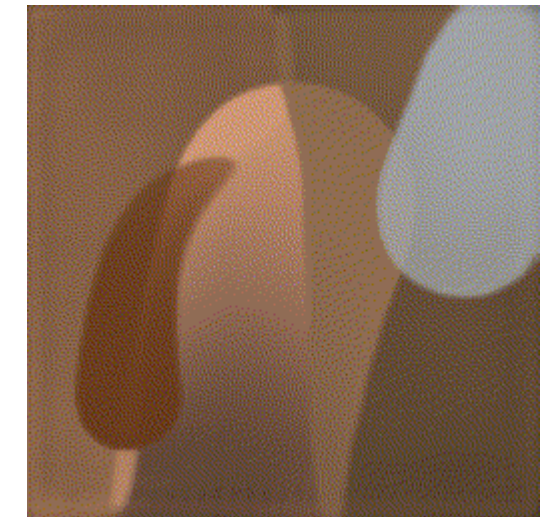
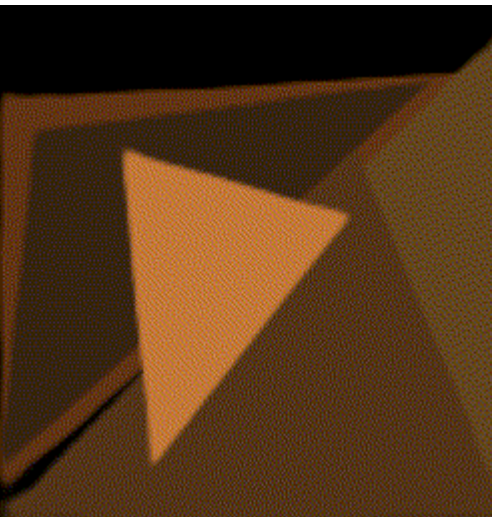
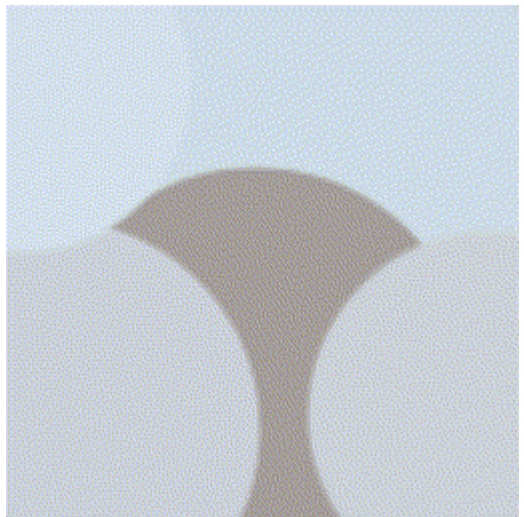
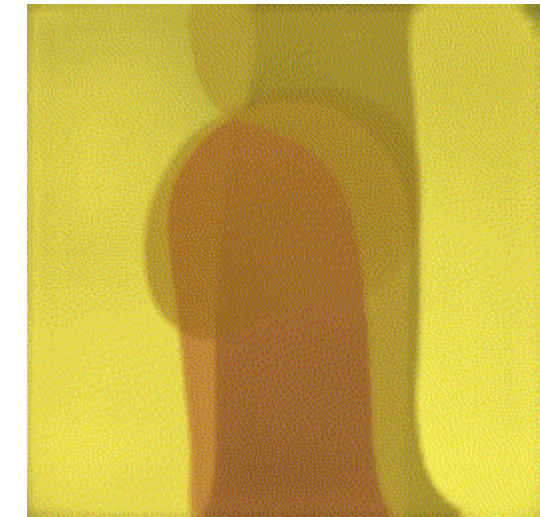
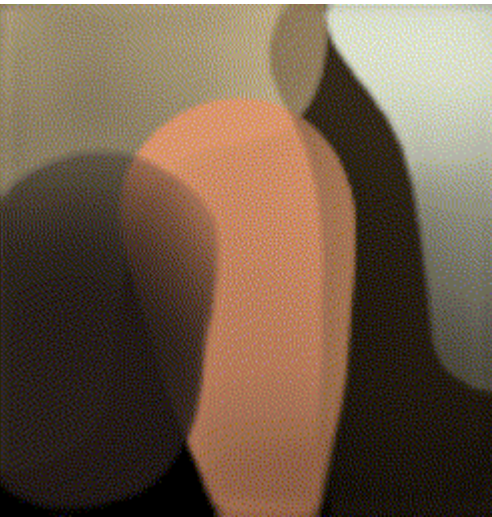
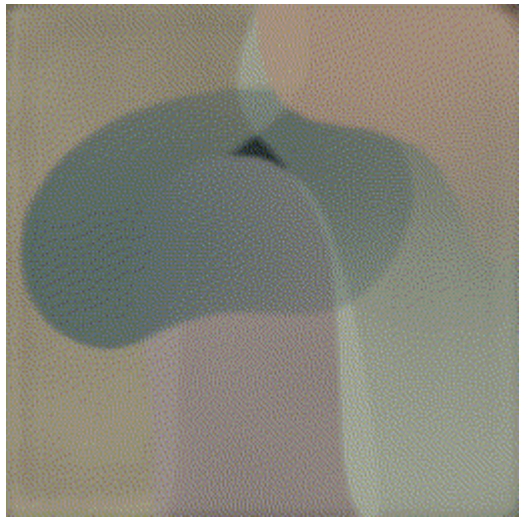
<https://github.com/alexjc/neural-doodle>

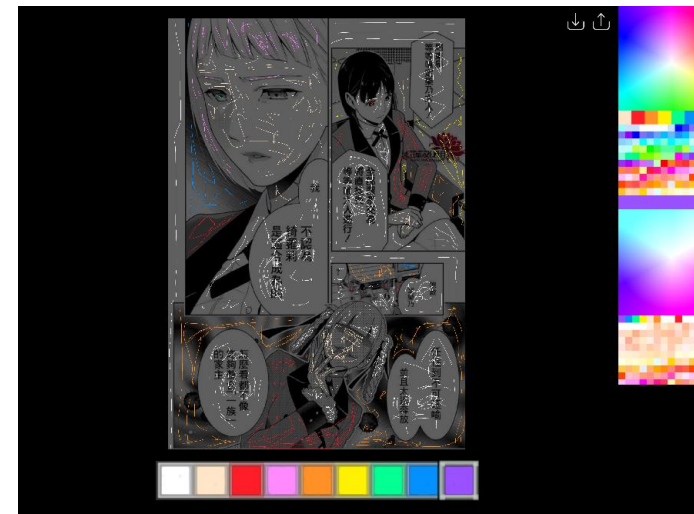
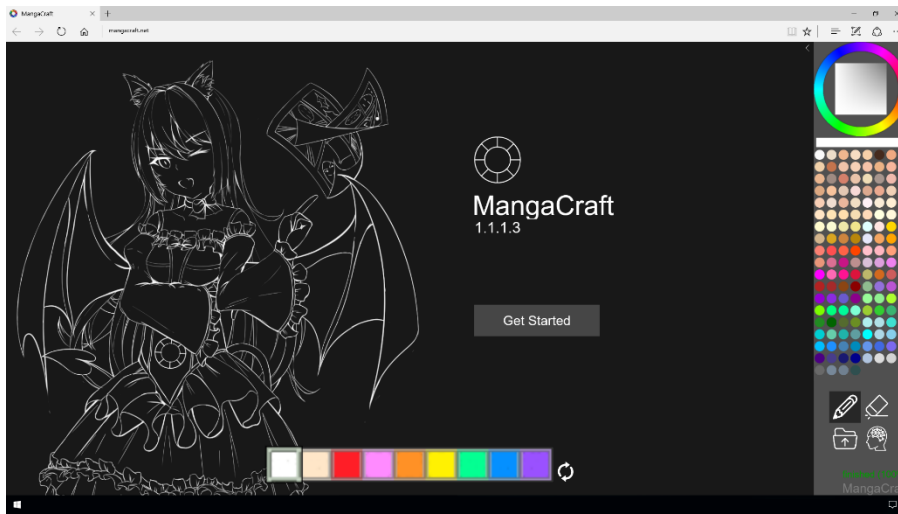


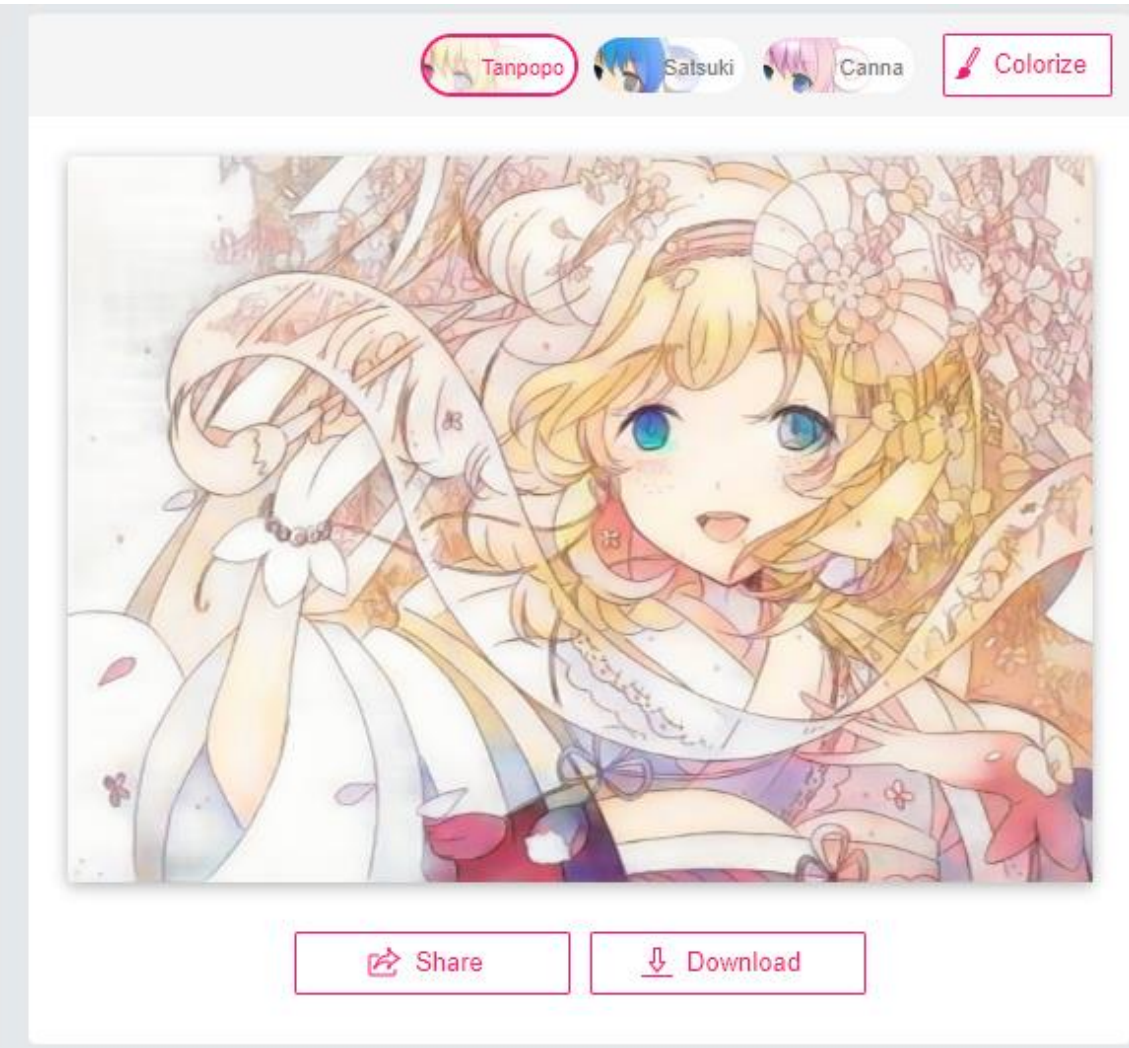
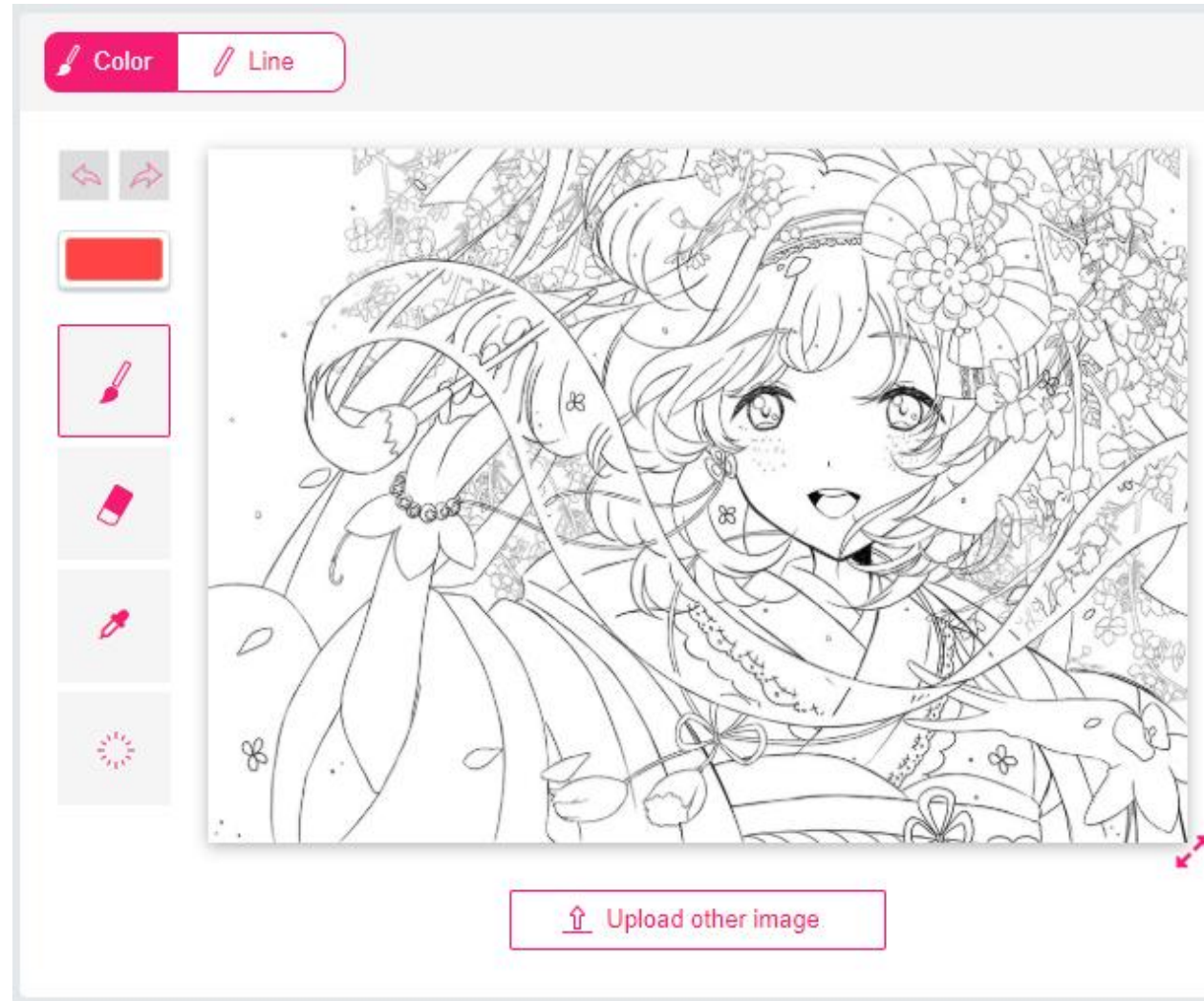


# Learning to Paint

---





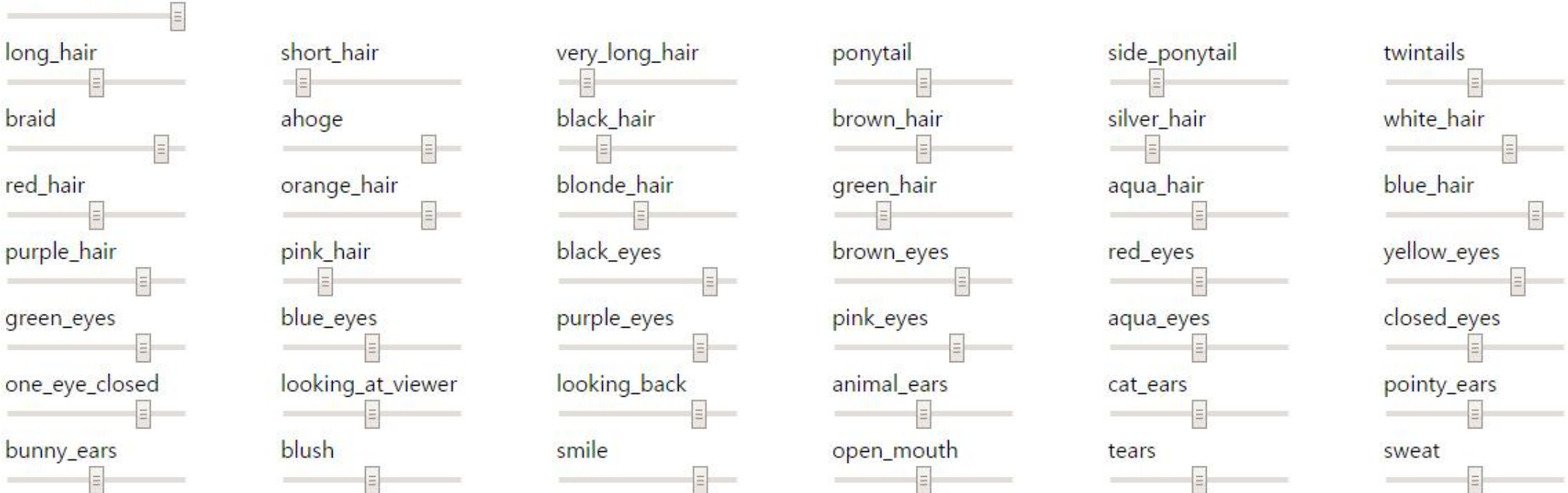


# Image Generation



**draw!**   **shuffle!**   **reset!**

noise\_strength



DCGAN face generator, <http://mattyg.github.io/chainer-DCGAN/>



## Options

Advanced Mode

### Model

Bouvardia 256x256 Ver.171125 (9.9MB)

### Hair Color

Random

### Hair Style

Random

### Eye Color

Random

### Dark Skin

Off

Random

On

### Blush

Off Random On

### Smile

Off Random On

### Open Mouth

Off

Random

On

### Hat

Off Random On

### Ribbon

Off Random On

### Glasses

Off

Random

On

### Style

Random



### Noise

Random

Fixed

### Current Noise



### Noise Import/Export

Import Export

### Operations

Import

Export

Reset

### WebGL Acceleration

Disabled

Enabled

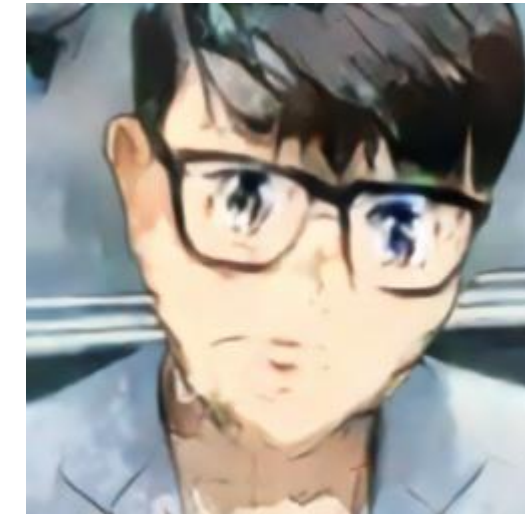
### Current Backend

WebGL



# Selfie 2 Waifu

<https://waifu.lofiu.com/index.html>



# Real-Time Data-Driven Interactive Rough Sketch Inking

Edgar Simo-Serra    Satoshi Iizuka    Hiroshi Ishikawa  
Waseda University



# *Imagine This!*

## Scripts to Compositions to Videos

Tanmay Gupta<sup>1</sup>, Dustin Schwenk<sup>2</sup>, Ali Farhadi<sup>2</sup>, Derek Hoiem<sup>1</sup>, Aniruddha Kembhavi<sup>2</sup>

<sup>1</sup>University of Illinois Urbana-Champaign

<sup>2</sup>Allen Institute for Artificial Intelligence

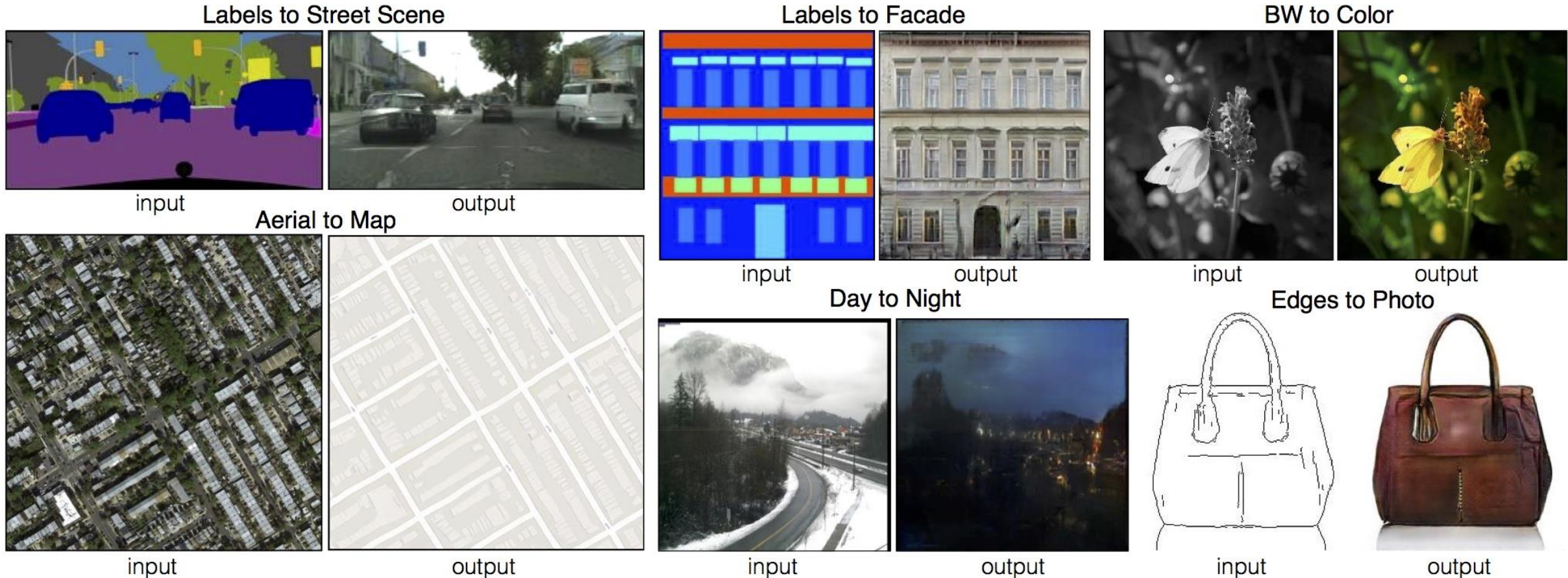


# Neural Image Analogies

<https://github.com/awentzonline/image-analogies>



# pix2pix



<https://github.com/phillipi/pix2pix>

<https://github.com/affinelayer/pix2pix-tensorflow>



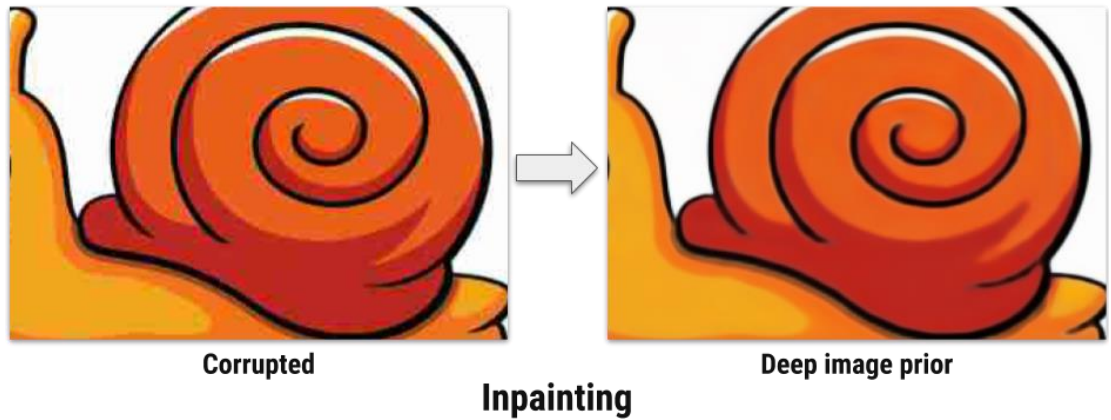
# Image Inpainting

<https://www.nvidia.com/research/inpainting/>

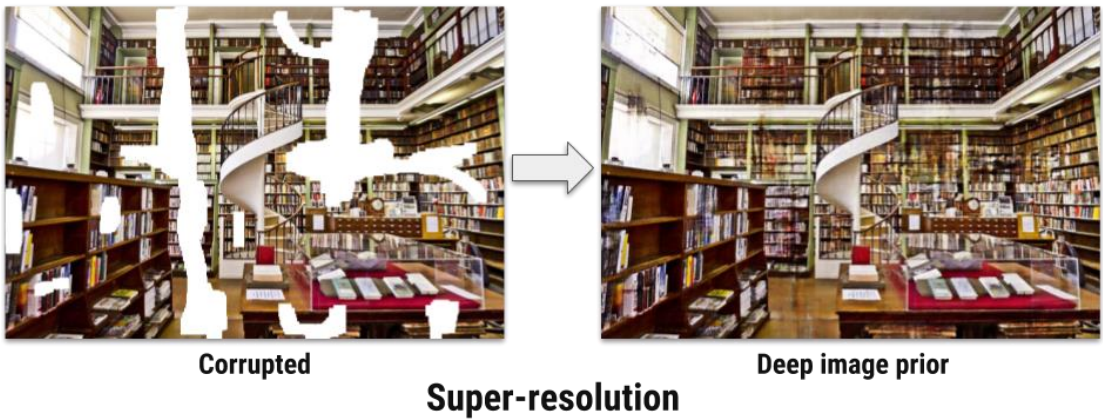




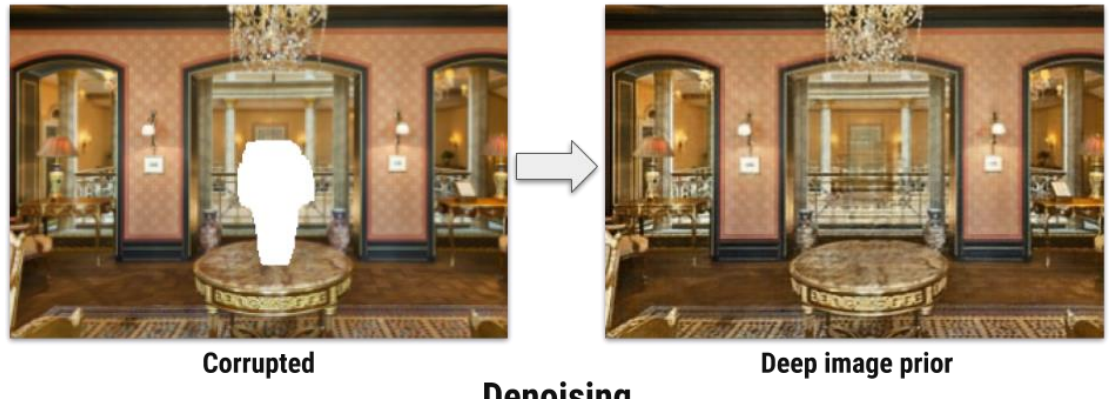
## JPEG Artifacts removal



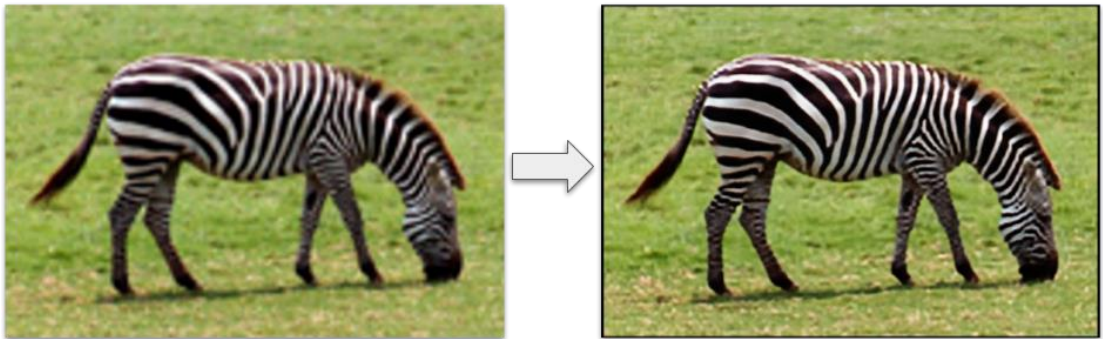
## Inpainting



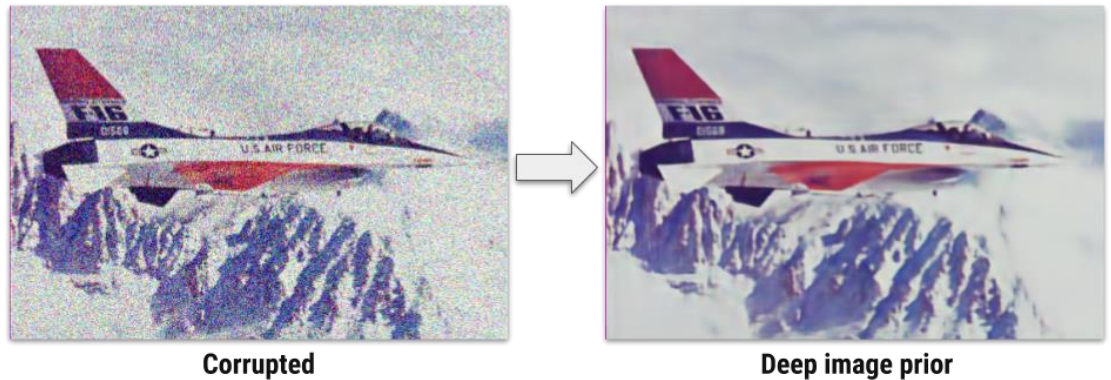
## Inpainting



## Super-resolution



## Denoising



## Inpainting



Deep image prior

[https://dmitryulyanov.github.io/deep\\_image\\_prior](https://dmitryulyanov.github.io/deep_image_prior)

Text  
description

This bird is red and brown in color, with a stubby beak

The bird is short and stubby with yellow on its body

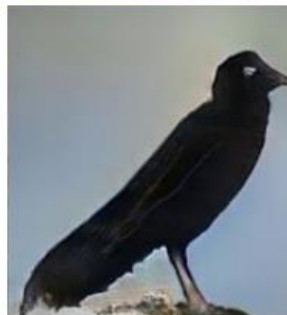
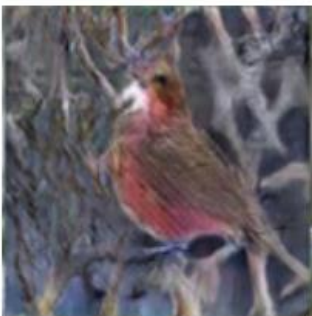
A bird with a medium orange bill white body gray wings and webbed feet

This small black bird has a short, slightly curved bill and long legs

with varying shades of brown with white under the eyes

bird with a black crown and a short black pointed beak

has a white breast, light grey head, and black wings and tail



64x64  
GAN-INT-CLS  
[22]

128x128  
GAWWN  
[20]

256x256  
StackGAN

this flower is white and yellow in color, with a single large petal.

Stage-I



this jail-bound bird resembles a crow, but has an all orange body, a small beak in comparison and a solid black head and solid black wings.

Stage-I



Stage-II



# GANimal Demo of Few-Shot Unsupervised Image-to-Image Translation

<http://nvidia-research-mingyuliu.com/ganimal/>



1. Input
2. Curly-coated Retriever
3. Lakeland Terrier
4. Boxer
5. Pekinese
6. Chihuahua
7. Bedlington Terrier
8. Alaskan Malamute
9. Kit Fox
10. Hyena
11. Snow Leopard
12. Tiger Cat
13. Red Fox
14. Meerkat
15. Cheetah
16. Pomeranian

# StarGAN

<https://github.com/yunjey/StarGAN>

Input

Blond hair

Gender

Aged

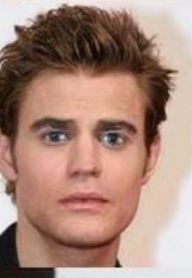
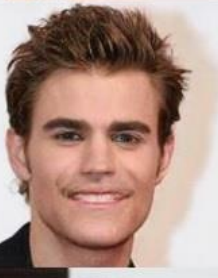
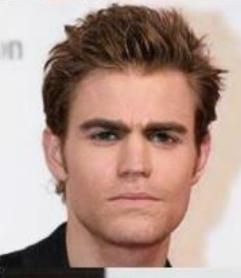
Pale skin

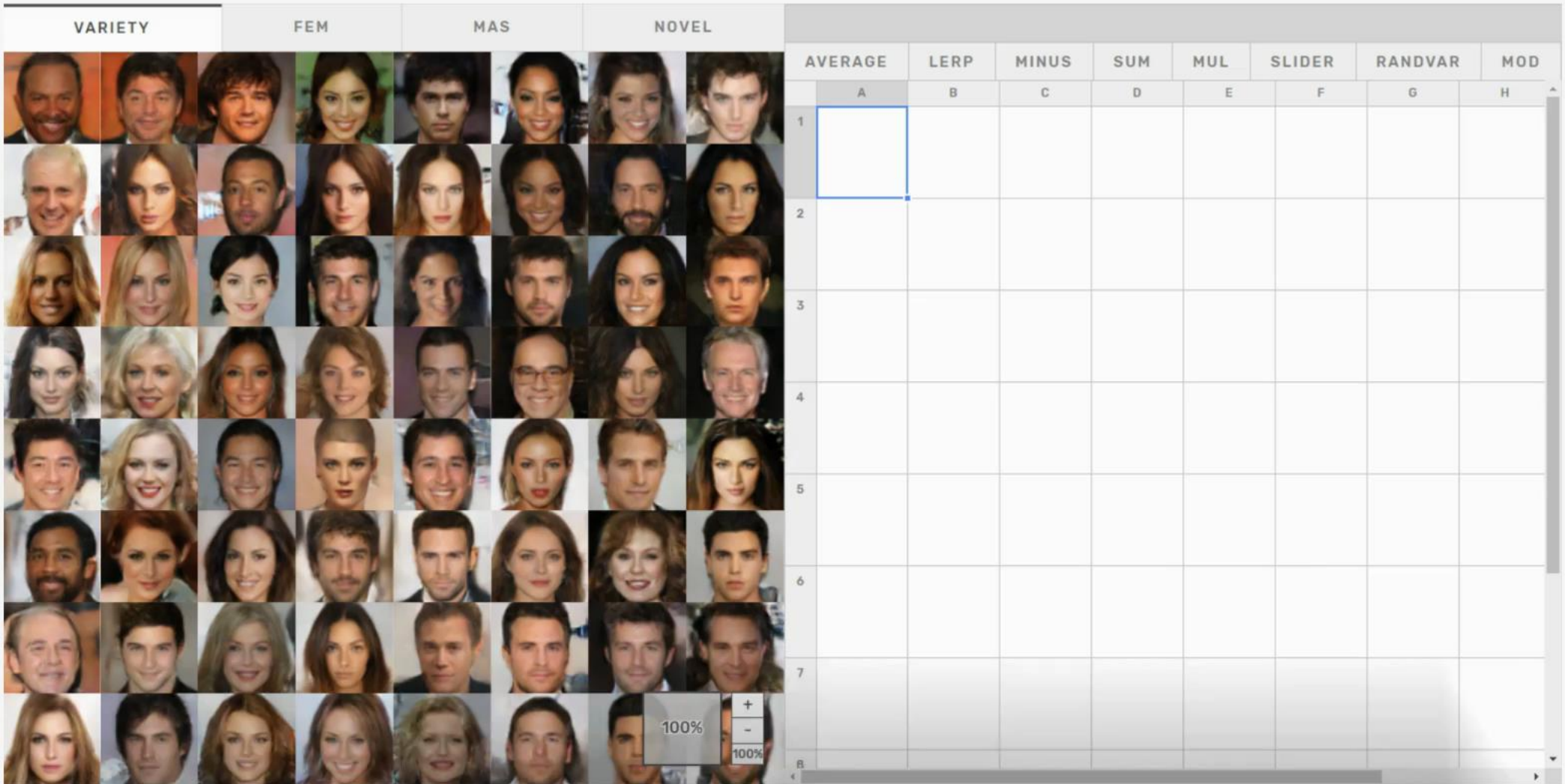
Input

Angry

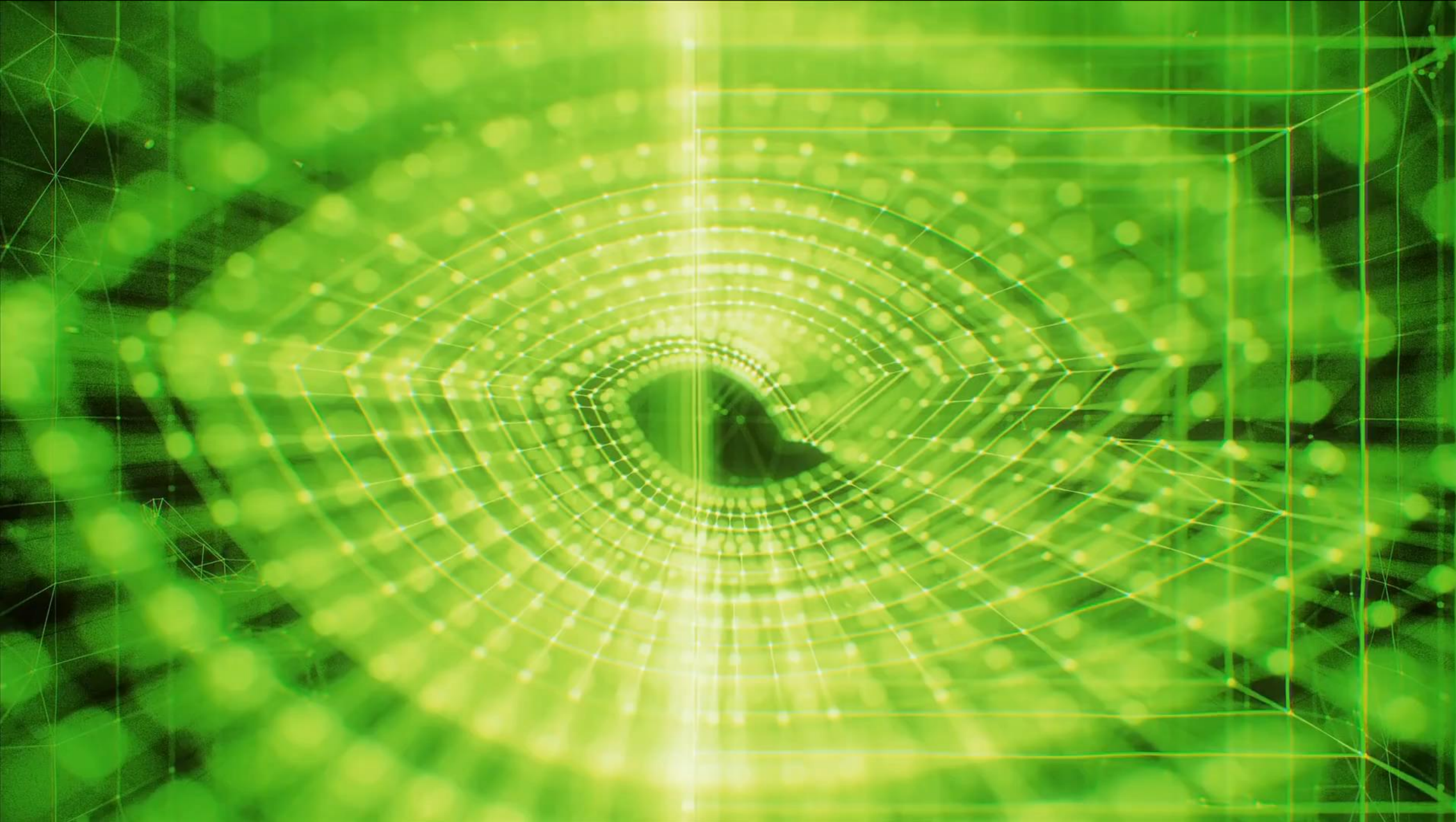
Happy

Fearful











# Face2Face: Real-time Face Capture and Reenactment of RGB Videos

*Justus Thies<sup>1</sup>, Michael Zollhöfer<sup>2</sup>,  
Marc Stamminger<sup>1</sup>, Christian Theobalt<sup>2</sup>,  
Matthias Nießner<sup>3</sup>*

<sup>1</sup>University of Erlangen-Nuremberg

<sup>2</sup>Max-Planck-Institute for Informatics

<sup>3</sup>Stanford University

CVPR 2016 (Oral)



# Deep Video Portraits

Hyeongwoo Kim<sup>1</sup> Pablo Garrido<sup>2</sup> Ayush Tewari<sup>1</sup> Weipeng Xu<sup>1</sup> Justus Thies<sup>3</sup>  
Matthias Nießner<sup>3</sup> Patrick Pérez<sup>2</sup> Christian Richardt<sup>4</sup> Michael Zollhöfer<sup>5</sup> Christian Theobalt<sup>1</sup>

<sup>1</sup> MPI Informatics



<sup>2</sup> Technicolor



<sup>3</sup> Technical University of Munich

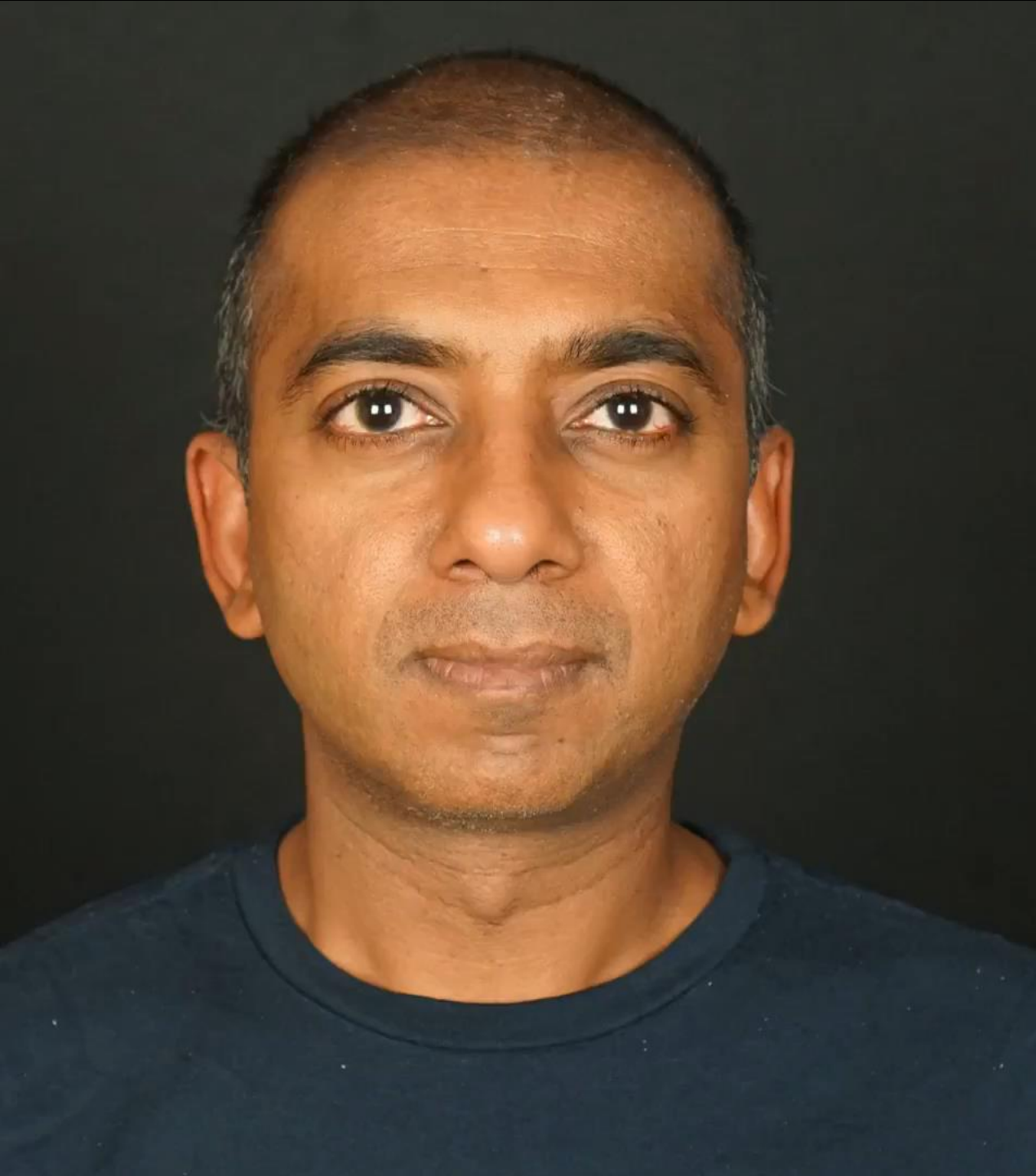


<sup>4</sup> University of Bath



<sup>5</sup> Stanford University









MBN

MBN  
Ai 앵커  
NEWS



# paGAN: Real-time Avatars Using Dynamic Textures

Koki Nagano, Jaewoo Seo, Jun Xing, Lingyu Wei

Zimo Li, Shunsuke Saito, Aviral Agarwal, Jens Fursund, Hao Li



# hyprface X

Deep Learning-Based Facial Tracker  
with Top-of-the-Line Performance





# NEON - Artificial Human



# 이수안 컴퓨터 연구소

suan computer laboratory